

TEZĂ DE DOCTORAT

**MODELAREA NUMERICĂ A
SISTEMELOR COMPLEXE DE
EXPLOATARE
A APELOR SUBTERANE.**

**METODA ELEMENTELOR DE FRONTIERĂ PENTRU
MODELAREA NUMERICĂ A SISTEMELOR DE
EXPLOATARE A APELOR SUBTERANE**

BIBLIOTECA CENTRALĂ
UNIVERSITATEA "POLITEHNICA"
TIMIȘOARA

Conducător științific,
Prof.dr.ing. Ioan David

Autor,
Șef lucr.ing. Gabriel Eleș

- 2000 -

INTRODUCERE

1.1 Considerații generale asupra metodelor de modelare, obiective.

În general în condițiile naturale întâlnite în practică mișcările prin medii poroase sunt tridimensionale. Caracterul tridimensional al mișcării se manifestă și în cazul în care mediul prezintă aceeași configurație geometrică în planuri paralele cu un plan dat, cum este cazul mediilor poroase stratificate. Ținând cont de complexitatea problemelor tridimensionale se caută însă simplificarea mișcărilor prin care problemele tridimensionale se pot reduce la probleme bidimensionale echivalente.

În cazul problemelor bidimensionale (mișcările plane) componentele vitezei și presiunea vor depinde numai de coordonatele x , y față de un sistem de axe luat într-un plan, paralel cu planul mișcării.

Aceste mărimi fizice de bază vor satisface un anumit sistem de relații matematice (diferențiale, integrale etc.) care constituie modelul matematic general al mișcării prin medii poroase.

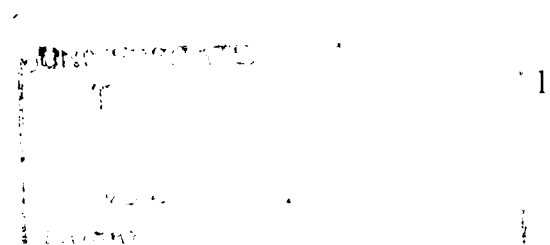
Problemele se reduc la determinarea unei funcții necunoscute, de regulă înălțimea piezometrică, care satisface anumite condiții la limită pe frontiera domeniului în care se studiază mișcarea.

Modelarea matematică a mișcării apei prin medii poroase s-a dezvoltat în trei direcții de formulare [25]: diferențială, integrală și variațională (fig. 1).

Prima formulare și anume cea diferențială necesită rezolvarea unei ecuații cu derivate parțiale de ordinul doi cu două variabile independente, domeniul de definiție și condițiile la limită pe frontiera domeniului fiind date. Aici se încadrează ecuațiile de tip Laplace, Poisson, respectiv ecuațiile de tip eliptic general care reprezintă modelul matematic al mișcării în medii poroase omogene, respectiv neomogene.

A doua formulare este așa numita formularea variațională care se bazează pe găsirea unei funcționale ce se minimizează. Potrivit principiului variațional, rezolvarea unei ecuații diferențiale într-un anumit domeniu și cu anumite condiții la limită este echivalentă cu minimizarea în acel domeniu a unei mărimi funcționale corespunzătoare ecuației diferențiale și condițiilor la limită date.

A treia formulare, formularea integrală, necesită rezolvarea unei ecuații integrale. Aceasta a fost considerată de către Hilbert pentru a ilustra cercetările sale în domeniul ecuațiilor integrale. Ulterior problema a fost tratată pe diferite căi



utilizându-se de exemplu ecuații integrale de tip Fredholm la care se ajunge fie direct fie prin transformări integrale Green și care stau la baza metodei numerice cu elemente de frontieră.

Soluționarea unei probleme de mișcare, indiferent de formulare, presupune în ultimă instanță determinarea funcției necunoscute, în cazul de față înălțimea piezometrică (potențial hidraulic), în domeniul mișcării. Distribuția acestei funcții în domeniu este univoc determinată de condițiile restrictive impuse de ecuațiile fundamentale (diferențiale, integrale etc.) specifice tipului de formulare. Obținerea unei soluții pe cale analitică este posibilă numai în cazuri particulare de mișcări respectiv domenii și condiții la limită simple. În general este necesar deci să se recurgă la metode numerice care permit obținerea unei soluții acceptabile în cele mai complexe condiții. Principalele metode numerice care s-au dezvoltat pe parcursul anilor, în mod deosebit în ultimele două decenii sunt:

- Metoda diferențelor finite (MEDIF)
- Metoda volumelor finite (MEVFIN)
- Metoda elementelor finite (MEFIN)
- Metoda elementelor de frontieră (MEFRO)

Cuplarea acestor metode cu tipurile de formulare a problemei la limită se poate urmări în fig.(1).

În ceea ce privește rezolvarea numerică efectivă, aceasta presupune întotdeauna un anumit tip de discretizare: discretizarea întregului domeniu în primele trei cazuri (MEDIF, MEVFIN și MEFIN), respectiv discretizarea numai a frontierei domeniului în cazul MEFRO.

Pentru fiecare dintre aceste metode există la ora actuală programe performante de largă circulație pe plan mondial cum ar fi: MODFLOW [59] și ASM [41], [42] pentru metoda volumelor finite și AQUA [57] pentru metoda elementelor finite precum și multe altele care pot fi urmărite în Catalogul periodic al Scientific Software group-Washington, Environmental Software Publications)

În ceea ce privește MEFRO lipsesc programe complexe pentru modelarea mișcării apei subterane de anvergura celor de mai sus.

Obiectivul principal al lucrării îl constituie completarea posibilităților de utilizare a MEFRO pentru modelarea mișcării apelor subterane prin noi programe care valorifică avantajele acestei metode mai ales în anumite condiții speciale de mișcare. Pentru a evidenția aceste posibilități cu elemente de noutate este necesar să se reamintească faptul că metodele MEDIF, MEVFIN și MEFIN pe care le vom numi în continuare metode standard, presupun întotdeauna discretizarea domeniului mișcării ceea ce conduce la erori care pot ajunge la valori foarte mari mai ales în zone locale unde relația matematică dintre înălțimea piezometrică și flux are un puternic caracter neliniar, fiind de tip logaritm sau polar (din punct de vedere matematic singular). Asemenea zone se întâlnesc mai ales în vecinătatea diferitelor tipuri de captare subterană (puțuri, drenuri etc.) [27], [28], [29], [30], [31].

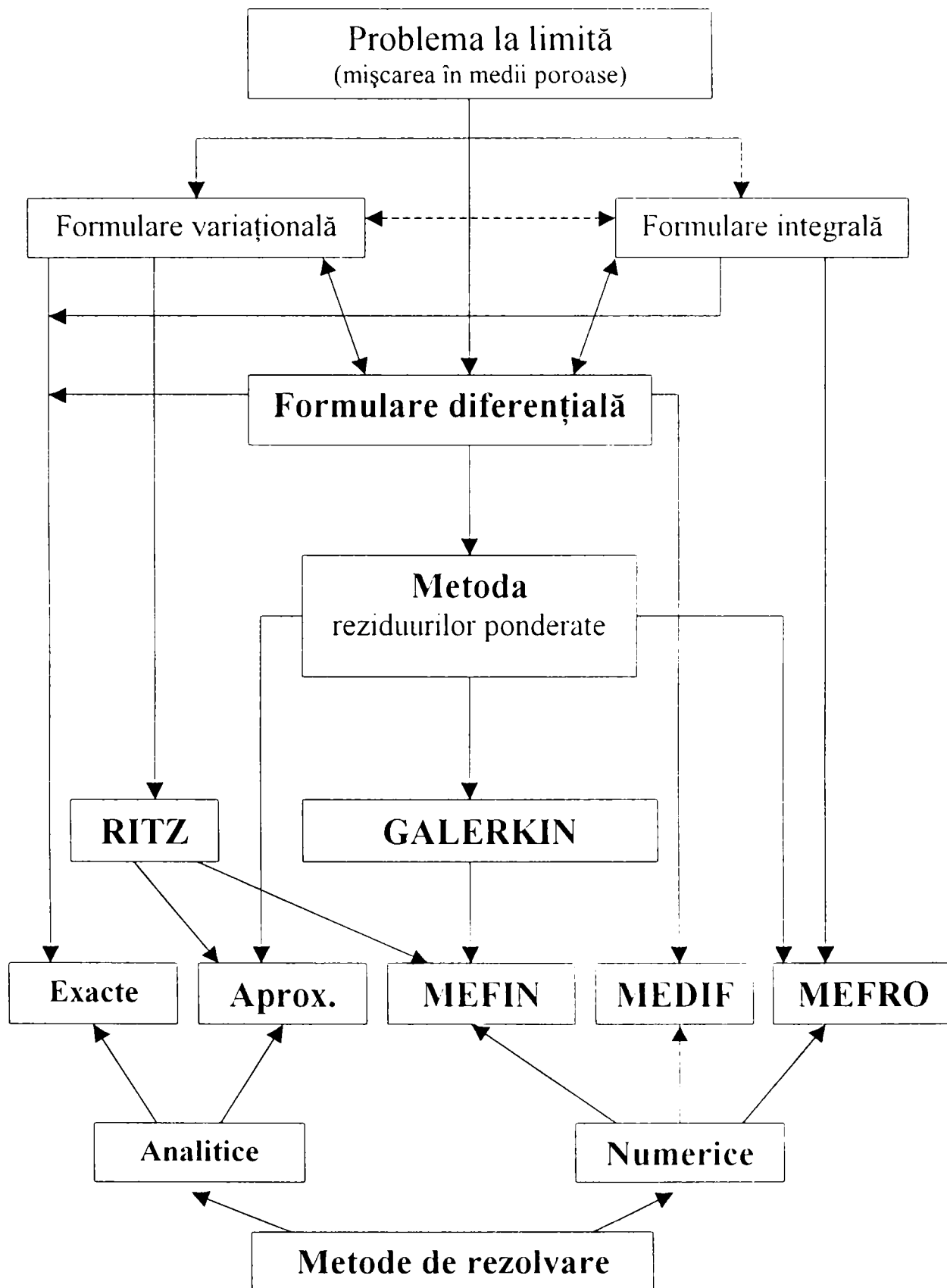


Fig.1 Formulări și metode matematice de rezolvare a mișcării prin medii poroase (după David [25])

În cadrul lucrării în capitolul IV se prezintă o analiză detaliată a erorilor MEDIF, MEFIN cu anumite situații reprezentative de singularități pentru care există posibilitatea comparării rezultatelor cu soluții analitice exacte. În cadrul acestei analize se prezintă și unele rezultate cu MEFRO (paragraful 4.3.1) pentru a avea o imagine completă asupra erorilor comparative a celor patru metode, metodele standard (MEDIF, MEVFIN, MEFIN) și MEFRO.

Această analiză comparativă a diferitelor metode numerice scoate în evidență oportunitatea utilizării metodei elementelor de frontieră (MEFRO) mai ales în zonele unde mișcarea are un caracter singular. Pe această concluzie preliminară, bazată pe o serie de rezultate publicate, inclusiv cu contribuții ale autorului și a conducătorului tezei s-au fixat obiectivele principale ale lucrării.

- Elaborarea unui program complex bazat pe metoda elementelor de frontieră care să conțină principalele obiecte ale unui sistem de captare subterană ce se întâlnesc în practică;
- Verificarea sistematică a programului elaborat prin exemple de tip singularități reprezentative (puțuri, puțuri imperfecte, drenuri, subdomenii);
- Sistematizarea programului într-un software unitar cu posibilități de utilizare relativ ușoară în activitatea de proiectare.

Toate aceste aspecte vor fi prezentate pe larg în capitolele următoare ale lucrării.

PREZENTAREA SINTETICĂ A ECUAȚILOR FUNDAMENTALE ALE MIȘCĂRII PRIN ACVIFERE ȘI A FORMULĂRII MATEMATICE A PROBLEMELOR LA LIMITĂ

În cadrul acestui capitol se va prezenta o scurtă sinteză a principalelor metode de reprezentare și formulare a problemelor de mișcare a apei în acvifere.

2.1. Ecuațiile mișcării apei prin medii poroase.

Forma diferențială (locală) a legii lui Darcy pentru mișcări unidimensionale este:

$$V' = -k \frac{dh}{dl}$$

Pentru cazul mai general al unei mișcări bidimensionale și tridimensionale legea lui Darcy generalizată are forma:

$$\vec{v} = -k \nabla h$$

sau după componente:

$$v_x = -k \frac{\partial h}{\partial x}; \quad v_y = -k \frac{\partial h}{\partial y}; \quad v_z = -k \frac{\partial h}{\partial z}; \quad h = \frac{p}{\rho g}$$

în cazul tridimensional, respectiv cu $V_z = 0$ în cazul bidimensional

semnificația mărimilor care intervin în relațiile de mai sus este următoarea:

$h = h(M)$ - funcția de sarcină hidraulică (înălțime piezometrică sau potențial hidraulic);

$k = k(M)$ - coeficientul de filtrație;

v - viteza de filtrație;

p - presiunea în punctul M;

z - poziția lui M în planul vertical;

M - un punct arbitrar în domeniul mișcării, având coordonatele x, y, z ;

∇ - simbolul nabra.

Mediul poros în care coeficientul de filtrație variază de la un punct la altul se numește **mediu poros neomogen**.

În cazul în care coeficientul de filtrație prezintă variații direcționale, respectiv pentru același gradient hidraulic viteza diferă pentru două direcții diferite, mediul poros poartă denumirea de **mediu anizotrop**. În acest caz coeficientul de filtrație este o mărime tensorială, iar legea lui Darcy devine:

$$\vec{v} = - \vec{k} \cdot \nabla h$$

unde \vec{k} este tensorul coeficientului de filtrație, un tensor simetric de ordinul doi.

În cazul bidimensional (mișcare în planul orizontal) spre exemplu dacă axele Ox și Oy coincid cu axele principale avem relațiile:

$$V_x = k_{xx} \frac{\partial h}{\partial x};$$

$$V_y = k_{yy} \frac{\partial h}{\partial y};$$

Ecuțiile de mișcare se completează cu ecuația de continuitate:

$$\nabla(mV) = \varepsilon \quad \text{respectiv} \quad \nabla(hV) = \varepsilon$$

$$\frac{d}{dx}(mV_x) = \varepsilon \quad ; \quad \frac{d}{dx}(hV_x) = \varepsilon$$

pentru cazul unidimensional al mișcării sub presiune respectiv cu nivel liber și:

$$\frac{\partial}{\partial x}(mV_x) + \frac{\partial}{\partial y}(mV_y) = \varepsilon \quad ; \quad \frac{\partial}{\partial x}(hV_x) + \frac{\partial}{\partial y}(hV_y) = \varepsilon$$

în cazul bidimensional.

ε - reprezintă aportul de debit distribuit care alimentează stratul acvifer.

2.2 Formularea diferențială a problemelor de filtrație.

Formularea diferențială a unei probleme de filtrație are la bază ecuațiile fundamentale prezentate mai sus la care se adaugă :

- definirea domeniului;
- condițiile la limită.

Având în vedere ecuația de continuitate și ecuația lui Darcy generalizată

$$\begin{cases} \vec{v} = -k \cdot \nabla h \\ \nabla \cdot \vec{v} = 0 \end{cases}$$

prin înlocuire se obține ecuația generală a mișcării;

$$\nabla \cdot (k \nabla h) = 0$$

în formă vectorială, respectiv:

$$\frac{\partial}{\partial x} \left(k \frac{\partial h}{\partial x} \right) + \frac{\partial}{\partial y} \left(k \frac{\partial h}{\partial y} \right) + \frac{\partial}{\partial z} \left(k \frac{\partial h}{\partial z} \right) = 0$$

în formă scalară, mișcare tridimensională, ceea ce reprezintă o ecuație diferențială cu derivate parțiale de tip eliptic.

În aplicațiile practice, de mișcări în acvifere extinse în plan orizontal sunt reprezentative mișcările bidimensionale. Aceste mișcări pot fi: mișcări în strat acvifer sub presiune și mișcări în strat acvifer cu nivel liber.

a) Mișcări bidimensionale în strat acvifer sub presiune.

$$\vec{v} = -k \nabla h$$

$$\nabla (T \nabla h) = 0 \quad ; \quad T = km \quad ;$$

$$\frac{\partial}{\partial x} \left(T \frac{\partial h}{\partial x} \right) + \frac{\partial}{\partial y} \left(T \frac{\partial h}{\partial y} \right) = 0 \quad , \quad h = h(x, y), \quad T = T(x, y)$$

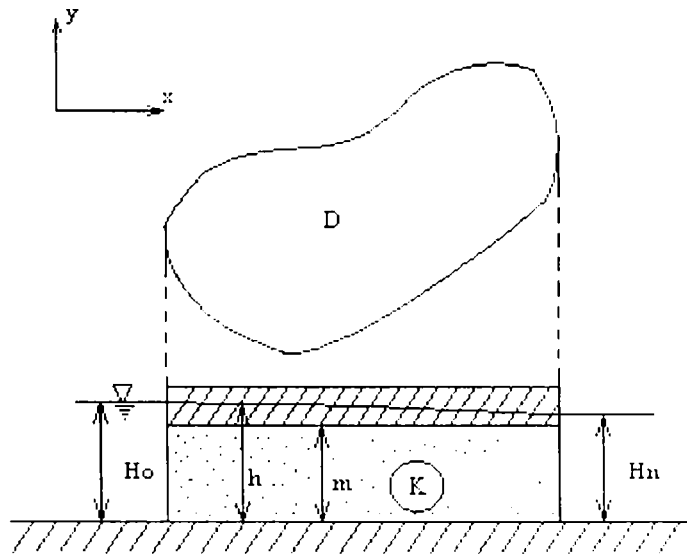


Fig 2.1 Strat acvifer cu nivel limitat

h - înălțimea piezometrică;

T - transmisivitatea domeniului

b) Mișcări bidimensionale cu nivel liber.

În baza ipotezelor Dupuit - Forchheimer și ținând cont de ecuațiile de mai sus avem:

$$v_z \approx 0 ; \quad u = -k\nabla h; \quad \nabla(h\vec{v}) = 0$$

respectiv ecuația generală:

$$\frac{\partial}{\partial x} \left(kh \frac{\partial h}{\partial x} \right) + \frac{\partial}{\partial y} \left(kh \frac{\partial h}{\partial y} \right) = 0$$

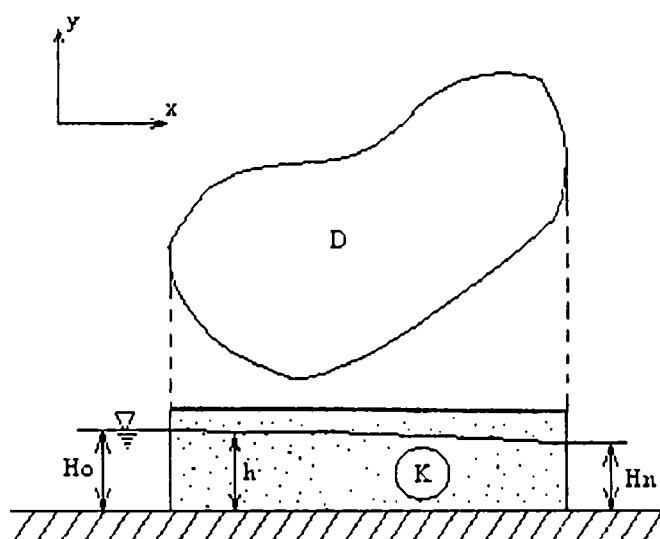


Fig 2.2 Strat acvifer cu nivel liber

Dacă mediul poros este omogen ($k=\text{const}$) atunci se poate introduce potențialul vitezelor.

$$-\varphi = -T \cdot h + C ; \text{ pentru strat acvifer sub presiune;}$$

$$-\varphi = -l' \frac{h^2}{2} + C ; \text{ pentru strat acvifer cu nivel liber.}$$

Cu ajutorul acestor funcții de potențial rezultă:

$$\vec{v} = -T\nabla h = \nabla\varphi \quad ; \quad T = km , \text{ transmisivitatea domeniului}$$

$$\nabla \cdot \vec{v} = \nabla \cdot (\nabla \cdot \varphi) = \Delta\varphi$$

$$\nabla \cdot \vec{v} = 0 \Rightarrow \Delta\varphi = 0 \text{ sau } \frac{\partial^2 \varphi}{\partial x^2} + \frac{\partial^2 \varphi}{\partial y^2} + \frac{\partial^2 \varphi}{\partial z^2} = 0$$

Unicitatea soluției, adică funcția $h(x,y,z)$ respectiv $\varphi(x,y,z)$ corespunzătoare unei anumite probleme de filtrație presupune cunoașterea domeniului precum și a condițiilor la limită pentru funcțiile h sau φ căutate.

2.2.1 Condiții la limită formularea diferențială a problemelor de filtrație.

Cele mai uzuale condiții la limită sunt:

a) Condiții de tip Dirichlet, caz în care este dată funcția pe frontiera C a domeniului

$$h = h_s|_C \quad (h: D \rightarrow R)$$

$$\varphi = \varphi_s|_C \quad (\varphi: D \rightarrow R) \quad \text{în cazul mediilor omogene}$$

C = frontiera domeniului

b) Condiții de tip Neumann, caz în care este dată derivata normală a funcției de-a lungul frontierei C

$$-T \frac{\partial h}{\partial n} = q|_C \quad (h: D \rightarrow R) \quad ; \quad T = km$$

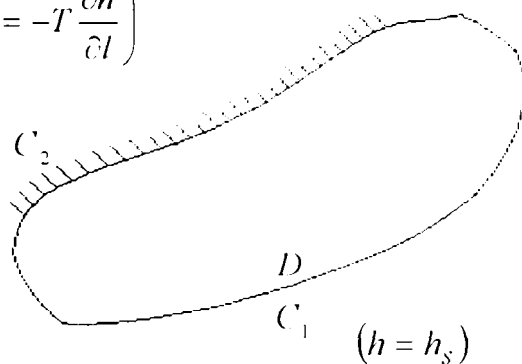
$$\frac{\partial \varphi}{\partial n} = q|_C \quad (\varphi: D \rightarrow R) \quad \text{în cazul mediilor omogene.} \quad C = \text{frontiera domeniului}$$

$$q|_C = 0 \quad \text{în cazul frontierei impermeabile}$$

c) Condiții de tip mixt

În acest caz frontiera domeniului cuprinde porțiuni pe care este cunoscută fie valoarea funcției h , fie valoarea funcției q .

$$\left(q = -T \frac{\partial h}{\partial n} \right)$$



$C_1 \cup C_2 =$ Frontiera domeniului

$D =$ Domeniul miscarii

Fig. 2.3 Condiții de tip mixt

$$h = h_s|_{C_1} \quad ; \quad -T \frac{\partial h}{\partial n} = q|_{C_2} \quad T = km, \text{ transmisivitatea domeniului}$$

$(h: D \rightarrow R)$ și $C_1 \cup C_2 = C = \text{frontiera domeniului}$

respectiv:

$$\varphi = \varphi_s|_{C_1}$$

$$\frac{\partial \varphi}{\partial n} = q|_{C_2}$$

$\varphi: D \rightarrow R$ și $C_1 \cup C_2 = C = \text{frontiera domeniului}$

2.3 Formularea variațională

Se va considera mișcarea plană bidimensională într-un strat acvifer cu nivel sub presiune problema la limită de tip mixt.

În formulare diferențială avem:

$$\frac{\partial}{\partial x} \left(T \frac{\partial h}{\partial x} \right) + \frac{\partial}{\partial y} \left(T \frac{\partial h}{\partial y} \right) = -\varepsilon$$

$$h|_{C_1} = h_0$$

$$-T \frac{\partial h}{\partial n} \Big|_{C_2} = q \quad ; \quad T = km$$

unde cu T s-a notat transmisivitatea mediului, ε reprezintă aport din exterior iar $C_1 \cup C_2 = C = \text{frontiera domeniului}$

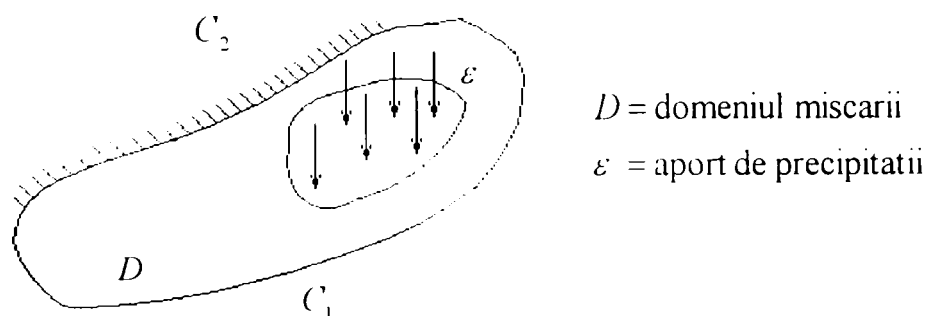


Fig. 2.4 Formularea variațională

Pentru formularea variațională echivalentă cu cea diferențială prezentată mai sus se consideră funcționala U definită prin:

$$U = \frac{1}{2} \iint_D \left[T \left(\frac{\partial h}{\partial x} \right)^2 + T \left(\frac{\partial h}{\partial y} \right)^2 \right] dx dy - \iint_D \varepsilon h dx dy + \int_{C_1} q h dl =$$

$$\frac{1}{2} \iint_D T \nabla h \cdot \nabla h ds - \iint_D \varepsilon h dx dy + \int_{C_1} q h dl \quad ; \quad T = km$$

Variațiile admisibile ale funcției h sunt determinate de condițiile pe frontiera domeniului adică, $\delta h = 0$ pe porțiunea de frontieră C_1 unde h este cunoscut (dat).

Variația funcționalei se poate exprima sub forma:

$$\delta U = \iint_D T \nabla h \cdot \nabla \delta h dx dy - \iint_D \varepsilon \delta h dx dy + \int_{C_1} q \delta h dl \quad ; \quad T = km$$

Rezolvarea problemei la limită în formulare diferențială este echivalentă cu rezolvarea unei probleme variaționale care constă în determinarea funcției admisibile $h(x,y)$ care să minimizeze funcționala U , adică $\delta U = 0$ în domeniu.

Soluția h în formularea variațională se caută sub forma unei aproximări (metoda Ritz). Aplicarea acestei formulări va fi prezentată ceva mai detaliat în cazul prezentării metodei elementelor finite în cadrul capitolului III.

2.4 Formularea cu ajutorul ecuațiilor integrale.

Această formulare care stă la baza metodei elementelor de frontieră se poate aplica în special în cazul mediilor omogene. Aplicarea ei este posibilă însă și în cazul mediilor omogene pe porțiuni. În principiu se pornește și în acest caz de la formularea diferențială a problemelor de filtrație. Luând exemplul mișcării bidimensionale, se are în vedere ecuația de tip Laplace sau Poisson:

$$\frac{\partial^2 h}{\partial x^2} + \frac{\partial^2 h}{\partial y^2} = 0 \quad ; \quad \text{ecuația de tip Laplace}$$

$$\frac{\partial^2 h}{\partial x^2} + \frac{\partial^2 h}{\partial y^2} = -\frac{\varepsilon}{T} \quad ; \quad \text{ecuația de tip Poisson} \quad ; \quad T = km$$

unde condițiile de pe frontiera domeniului sunt următoarele:

$$h|_{C_H} = h_0 \quad ; \quad \left. \frac{\partial h}{\partial n} \right|_{C_V} = 0 \quad ; \quad C = C_H \cup C_V = \text{frontiera domeniului}$$

Cu C_H , respectiv C_Σ s-au notat porțiunile de frontieră cu h dat, respectiv q_d dat care în cazul de față se consideră $q_\Sigma = 0$, adică C' porțiune impermeabilă.

În continuare se folosește soluția fundamentală a ecuației de tip Laplace care este de forma:

$$h(z_1) = -\frac{1}{2\pi} \ln r(z_1, z_2)$$

soluție în care $h(z_1)$ reprezintă potențialul generat în punctul $z_1 \in D$ (D = domeniul mișcării) de către o sursă având intensitatea unitară amplasată în punctul $z_2 \in D$. Se observă că pentru simplificare un punct $M(x, y)$ al domeniului D s-a notat cu " z ", $z \in D$

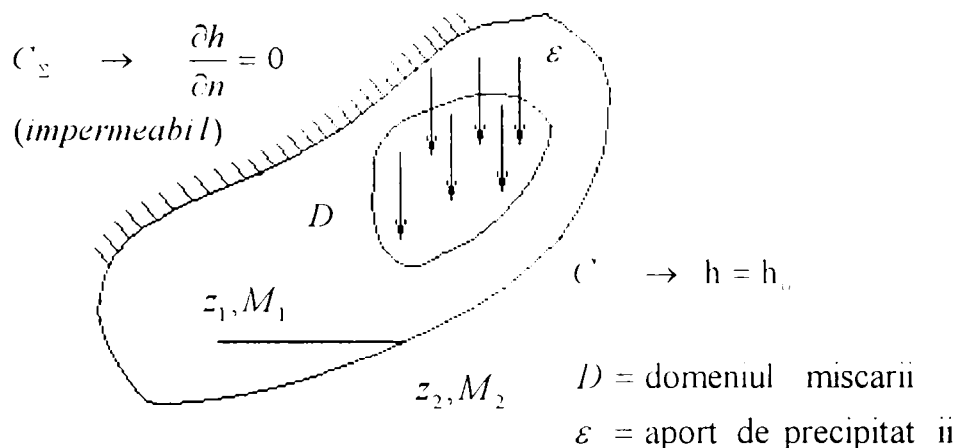


Fig. 2.5 Schema valabilă pentru formularea integrală

Cu ajutorul soluției fundamentale se poate exprima soluția generală a problemei sub formă integrală care în reprezentarea integrală indirectă este [3], [23], [25]:

$$h(z) = -\frac{1}{2\pi T} \int_C \psi(\zeta) \ln r(z, \zeta) dl - \frac{1}{2\pi T} \int_D \varepsilon(z^*) \ln r(z, z^*) d\Omega + c$$

unde:

$z, z^* \in D$ și $\zeta \in C$, $h(z)$ reprezintă înălțimea piezometrică în punctul $z \in D$ exprimată cu ajutorul unor surse fictive de distribuție pe conturul C având densitatea $\psi(\zeta)$, c fiind o constantă nedeterminată.

Prin derivarea expresiei înălțimii piezometrice $h(z)$ se poate exprima viteza de filtrație într-un punct z din domeniul mișcării după direcția normalei "n".

$$v(z) = -k \frac{\partial h}{\partial n} = \frac{k}{2\pi T} \int_C \psi(\zeta) \frac{\partial \ln r(z, \zeta)}{\partial n_z} dl + \frac{k}{2\pi T} \int_D \varepsilon(z^*) \frac{\partial \ln r(z, z^*)}{\partial n_z}$$

În cazul formulării directe expresia înălțimii piezometrice într-un punct din interiorul domeniului mișcării este de forma:

$$h(z) = -\frac{1}{2\pi T} \int_D \varepsilon(z^*) \ln r(z, z^*) d\Omega + \frac{1}{2\pi T} \int_C \left(\frac{\partial h}{\partial n} \ln r(z, \zeta) - h \frac{\partial \ln(z, \zeta)}{\partial n} \right) dl$$

Utilizând condițiile la limită, h -dat de C_H și $q = 0$ pe C_S se ajunge în ambele cazuri la ecuații integrale din care se determină necunoscutele problemei[30] și[31].

În cadrul formulării directe din ecuațiile integrale se determină valoarea lui h pe conturul C_S și $\frac{\partial h}{\partial n}$ pe conturul C_H . Astfel în final se cunosc valorile înălțimii piezometrice și ale fluxului pe întreg conturul domeniului cu ajutorul cărora se poate calcula din reprezentarea de mai sus $h(z)$ într-un punct oarecare (z) al domeniului D .

În cazul formulării indirecte, pentru determinarea înălțimii piezometrice respectiv a vitezei de filtrație într-un punct din interiorul domeniului este necesară cunoașterea distribuției surselor fictive ψ (densități ale surselor) de pe frontiera domeniului care se determină cu ajutorul condițiilor la limită, prin trecerea la limita reprezentărilor integrale pentru h respectiv v , rezultând un sistem de ecuații integrale care se rezolvă de regulă numeric. Trecerea la limită împreună cu sistemul de ecuații rezultat vor fi prezentate în cadrul metodei elementelor de frontieră.

PREZENTAREA SINTETICĂ A METODELOR NUMERICE FOLOSITE ÎN HIDRAULICA SUBTERANĂ

În cazul în care rezolvarea problemelor de hidraulică subterană prin metode analitice devine dificilă din cauza complexității problemelor cum ar fi domenii cu geometrie complicată, medii neomogene sau dificultăți care intervin în cazul integrării ecuațiilor diferențiale ale problemei se recurge la metode numerice de rezolvare a problemelor.

Dintre metodele numerice cele mai des folosite și răspândite se pot enumera următoarele [23], [25]: metoda diferențelor finite și volumelor finite, metoda elementelor finite și metoda elementelor de frontieră, fiecare din ele având specificul său.

3.1 Metoda diferențelor finite.

În cazul unui acvifer omogen rezolvarea unei probleme de filtrație constă în determinarea valorilor funcției h , respectiv φ , în nodurile sau ochiurile rețelei astfel încât aceste valori să satisfacă în orice nod interior relații echivalente cu ecuația generală a problemei respective, iar pe frontieră să fie respectate condițiile la limită specifice problemei considerate.

Bazele metodei [23], [25] constau în discretizarea domeniului (de regulă dreptunghiular) și exprimarea derivatelor în funcție de valorile nodale. Metoda se bazează pe formularea diferențială:

- ecuația cu derivate parțiale

$$\frac{\partial^2 h}{\partial x^2} + \frac{\partial^2 h}{\partial y^2} = -\frac{\varepsilon}{T} \quad ; \quad T = km$$

- condițiile la limită fiind următoarele:

$$h|_{c_1} = g \quad \text{și} \quad \left. \frac{\partial h}{\partial n} \right|_{c_2} = -f$$

unde: $h: D \rightarrow R$, este funcția potențial căutată, $C_1 \cup C_2 =$ frontiera domeniului, g și f sunt funcții date pe porțiunile de frontieră respective.

Rezolvarea problemei constă așa cum s-a menționat mai sus în discretizarea domeniului de regulă într-o rețea de elemente rectangulare și echidistante.

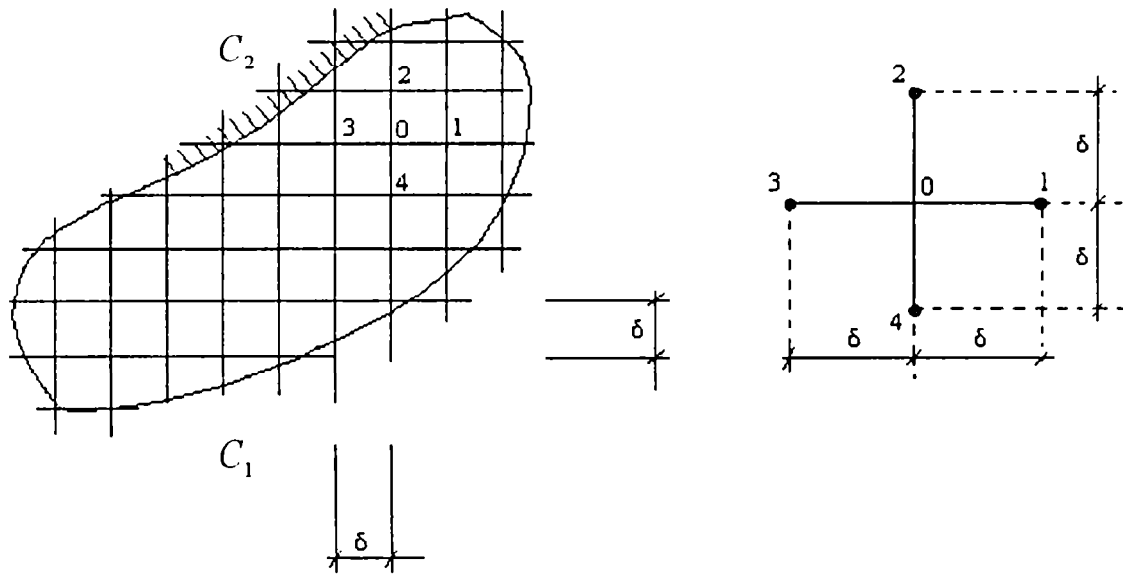


Fig. 3.1 Discretizarea domeniului(MEDIF)

Valorile funcției h în noduri punctele 1,...4 se pot exprima cu ajutorul valorilor și a derivatelor calculate în punctul 0 prin dezvoltări în serie Taylor după direcțiile Ox și Oy

$$\begin{aligned}
 h_1 &= h_0 + \frac{\partial h}{\partial x} \delta + \frac{\partial^2 h}{\partial x^2} \frac{\delta^2}{2!} + \dots \\
 h_2 &= h_0 + \frac{\partial h}{\partial y} \delta + \frac{\partial^2 h}{\partial y^2} \frac{\delta^2}{2!} + \dots \\
 h_3 &= h_0 - \frac{\partial h}{\partial x} \delta + \frac{\partial^2 h}{\partial x^2} \frac{\delta^2}{2!} - \dots \\
 h_4 &= h_0 - \frac{\partial h}{\partial y} \delta + \frac{\partial^2 h}{\partial y^2} \frac{\delta^2}{2!} - \dots
 \end{aligned}$$

Prin sumare și ținându-se cont de ecuația generală, când $\varepsilon = 0$ se obține o relație echivalentă între valorile nodale ale înălțimii piezometrice h

$$h_0 = \frac{1}{4}(h_1 + h_2 + h_3 + h_4) + O(\delta^2) \cong \frac{1}{4}(h_1 + h_2 + h_3 + h_4)$$

relație care se scrie pentru toate nodurile interioare ale domeniului.

Ultima egalitate aproximativă " \cong " este o aproximație care s-a obținut din prima prin neglijarea termenilor proporționali cu " δ^2 " care deci tind spre zero odată cu acesta.

În cazul acviferelor neomogene pentru obținerea relațiilor dintre valorile funcțiilor h sau φ se consideră cazul general al unui nod central, când în ochiurile învecinate coeficienții de filtrație au valori diferite $k^{(1)}, k^{(2)}, k^{(3)}, k^{(4)}$.

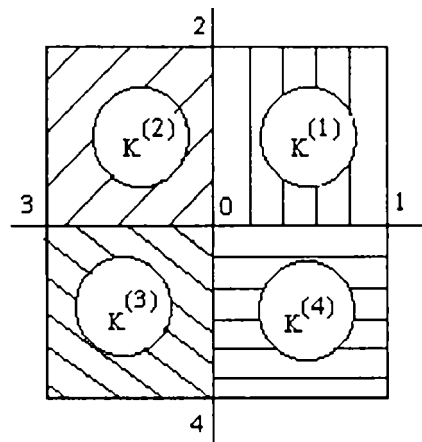


Fig 3.2 Schița nodurilor învecinate în cazul unui mediu neomogen

Conform semnificației fizice a funcției h , ea are valoare unică în fiecare nod al rețelei: h_0, h_1, h_2, h_3, h_4 . Pe de altă parte funcția φ definită prin relația $\varphi = kh$ poate avea valori diferite în același nod, aceasta datorită discontinuității coeficientului de filtrație din ochiuri.

Astfel pentru punctul 1 se poate scrie:

$$\varphi_1^{(1)} = T_1^{(1)} h_1 \neq T_4^{(4)} h_1 = \varphi_1^{(4)}$$

$$\frac{\varphi_1^{(1)}}{T^{(1)}} = \frac{\varphi_1^{(4)}}{T^{(4)}} ; \frac{\varphi_2^{(1)}}{T^{(1)}} = \frac{\varphi_2^{(2)}}{T^{(2)}} ; \frac{\varphi_3^{(1)}}{T^{(2)}} = \frac{\varphi_3^{(3)}}{T^{(3)}} ; \frac{\varphi_4^{(3)}}{T^{(3)}} = \frac{\varphi_4^{(4)}}{T^{(4)}}$$

$$\frac{\partial \varphi^{(1)}}{\partial x} = \frac{\partial \varphi^{(2)}}{\partial x} ; \frac{\partial \varphi^{(2)}}{\partial y} = \frac{\partial \varphi^{(3)}}{\partial y} ; \frac{\partial \varphi^{(3)}}{\partial x} = \frac{\partial \varphi^{(4)}}{\partial x} ; \frac{\partial \varphi^{(4)}}{\partial y} = \frac{\partial \varphi^{(1)}}{\partial y}$$

unde indicele superior indică cadranul.

Exprimând valorile funcției φ în nodurile 1-4 cu ajutorul valorilor și a derivatelor calculate în nodul 0 prin dezvoltare în serie se obține:

după axa Ox:

$$\varphi_1^{(1)} = \varphi_0^{(1)} + \delta \left(\frac{\partial \varphi^{(1)}}{\partial x} \right)_0 + \frac{\delta^2}{2!} \left(\frac{\partial^2 \varphi^{(1)}}{\partial x^2} \right)_0 + \dots$$

$$\varphi_1^{(4)} = \varphi_0^{(4)} + \delta \left(\frac{\partial \varphi^{(4)}}{\partial x} \right)_0 + \frac{\delta^2}{2!} \left(\frac{\partial^2 \varphi^{(4)}}{\partial x^2} \right)_0 + \dots$$

$$\varphi_3^{(2)} = \varphi_0^{(2)} - \delta \left(\frac{\partial \varphi^{(2)}}{\partial x} \right)_0 + \frac{\delta^2}{2!} \left(\frac{\partial^2 \varphi^{(2)}}{\partial x^2} \right)_0 + \dots$$

$$\varphi_3^{(3)} = \varphi_0^{(3)} - \delta \left(\frac{\partial \varphi^{(3)}}{\partial x} \right)_0 + \frac{\delta^2}{2!} \left(\frac{\partial^2 \varphi^{(3)}}{\partial x^2} \right)_0 + \dots$$

după axa Oy:

$$\varphi_2^{(1)} = \varphi_0^{(1)} + \delta \left(\frac{\partial \varphi^{(1)}}{\partial y} \right)_0 + \frac{\delta^2}{2!} \left(\frac{\partial^2 \varphi^{(1)}}{\partial y^2} \right)_0 + \dots$$

$$\varphi_2^{(2)} = \varphi_0^{(2)} + \delta \left(\frac{\partial \varphi^{(2)}}{\partial y} \right)_0 + \frac{\delta^2}{2!} \left(\frac{\partial^2 \varphi^{(2)}}{\partial y^2} \right)_0 + \dots$$

$$\varphi_4^{(3)} = \varphi_0^{(3)} - \delta \left(\frac{\partial \varphi^{(3)}}{\partial y} \right)_0 + \frac{\delta^2}{2!} \left(\frac{\partial^2 \varphi^{(3)}}{\partial y^2} \right)_0 + \dots$$

$$\varphi_4^{(4)} = \varphi_0^{(4)} - \delta \left(\frac{\partial \varphi^{(4)}}{\partial y} \right)_0 + \frac{\delta^2}{2!} \left(\frac{\partial^2 \varphi^{(4)}}{\partial y^2} \right)_0 + \dots$$

Prin sumare și neglijând termenii proporționali cu δ^3 se obține:

$$h_0 = \frac{1}{2 \sum_{i=1}^4 k^{(i)}} \left[(k^{(1)} + k^{(2)}) h_1 + (k^{(1)} + k^{(2)}) h_2 + (k^{(2)} + k^{(3)}) h_3 + (k^{(3)} + k^{(4)}) h_4 \right]$$

În cazul omogen $k^{(i)} = k$ se obține relația corespunzătoare mediilor omogene prezentată mai sus

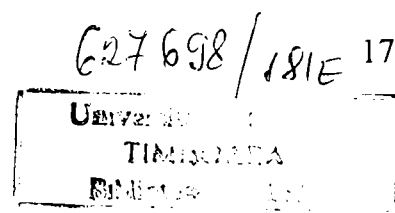
Pentru nodurile marginale se deduc relații de formă adecvată condițiilor la limită și formei conturului. În final toate relațiile formează un sistem liniar de ecuații de forma:

$$[k]\{h\} = \{R\}$$

unde:

$[k]$ = matricea coeficienților, matrice de ordinul $n \times n$;

$\{h\}$ = matricea coloană a valorilor nodale a funcțiilor căutate;



$\{R\}$ = matricea coloană a termenilor liberi care se determină din condițiile la limită.

Metoda volumelor finite (celulelor finite) conține ecuații relativ similare, deosebirea constând în faptul că valorile " h_i " reprezintă înălțimile piezometrice calculate în centrul celulei (volumului).

3.2 Metoda elementelor finite.

Bazele metodei în varianta Ritz sunt oferite de formularea variațională echivalentă a problemei la limită [23], [25]. Soluția $h = h(x, y)$ se caută sub forma

$$h(x, y) = \sum_{i=1}^n c_i \cdot \phi_i(x, y)$$

unde:

- c_i sunt constante nedeterminate;
- $\phi_i(x, y)$ sunt funcții de interpolare date care satisfac condițiile la limită

esențiale (Dirichlet):

$$h|_{c_1} = h_0$$

Soluția aproximativă înlocuită în expresia funcționalei variaționale definită în paragraful 1.4 devine:

$$U(h) = \frac{1}{2} \int_D \left[T \left(\sum c_i \frac{\partial \phi_i}{\partial x} \right) \cdot \left(\sum c_j \frac{\partial \phi_j}{\partial x} \right) + T \left(\sum c_i \frac{\partial \phi_i}{\partial y} \right) \cdot \left(\sum c_j \frac{\partial \phi_j}{\partial y} \right) \right] - \int_D \varepsilon \cdot \sum c_i \phi_i dx dy + \int_{c_2} q \sum c_i \phi_i dl$$

În baza principiului variațional

$$\delta U = 0 \Rightarrow \frac{\partial U}{\partial c_i} = 0$$

se obține un sistem liniar de ecuații:

$$[A] \cdot [C] = [B]$$

unde:

A - reprezintă matricea coeficienților sistemului:

$$A_{j,i} = \int_D \left(T \frac{\partial \phi_i}{\partial x} \cdot \frac{\partial \phi_j}{\partial x} + T \frac{\partial \phi_i}{\partial y} \cdot \frac{\partial \phi_j}{\partial y} \right) dx dy$$

B - reprezintă matricea coloană a termenilor liberi având componentele:

$$B = \int_D \varepsilon \cdot \phi_i dx dy - \int_{C_2} q \phi_i^* dl$$

C- reprezintă matricea coloană a coeficienților nedeterminați

ϕ_i^* - sunt funcții de interpolare globale pe porțiunea C_2 a frontierei domeniului.

Metoda elementului finit constă în aplicarea procedurii de mai sus (Ritz), pentru o discretizare dată, pentru fiecare element în parte. În acest sens domeniul mișcării se împarte în elemente finite $\Delta^{(e)} (e = 1, 2, 3, \dots, m)$ deci un număr m de elemente. Pe fiecare element în parte se poate considera valabilă o aproximare similară obținută mai sus pe domeniul D . Astfel pentru fiecare element finit în parte se obține un sistem local de ecuații având coeficienții:

$$A_{NM}^{(e)} = \int_{D^e} \left[T_x^e \frac{\partial \phi_N^e}{\partial x} \frac{\partial \phi_M^e}{\partial x} + T_y^e \frac{\partial \phi_N^e}{\partial y} \frac{\partial \phi_M^e}{\partial y} \right] ds^e$$

$$B_N^e = \int_{D^e} \varepsilon \cdot \phi_N^e ds^e + \int_{C^e} q^e \phi_n^e dl$$

În matricea coloană „C” locul constantelor c_i va lua valorile nodale „ h_i^e ” (fig. 3.3)

Aceste ecuații reprezintă ecuațiile standard pentru elementele finite.

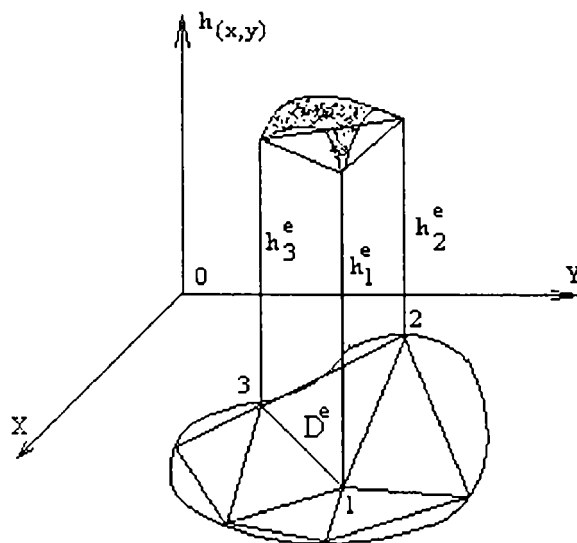


Fig. 3.3 Discretizarea domeniului (MEFIN)

Prin asamblarea sistemelor locale de tipul de mai sus se obține un sistem global de forma:

$$A_{j,i} \cdot h_i = B_j ; \quad i = \overline{1, n}, \quad j = \overline{1, n}$$

unde se sumează în raport cu i după regula lui Einstein;

$$A_{j,i} = \sum_{e=1}^m A_{N,M}^{(e)} \Delta_{N,i}^{(e)} \Delta_{M,j}^{(e)}$$

$$B_i = \sum_{e=1}^m B_N^{(e)} \Delta_{N,i}^{(e)}$$

unde $\Delta_{N,i}^{(e)}$ sunt matricile Booleene;

$$\Delta_{N,i}^{(e)} = \begin{cases} 1 & \text{pentru } N = i \\ 0 & \text{pentru } N \neq i \end{cases}$$

i este indicele nodului global iar N este indicele elementului "e"

3.3 Metoda elementelor de frontieră

Această metodă în variantă indirectă [23], [25] se bazează pe reprezentarea integrală a soluției cu ajutorul soluției fundamentale:

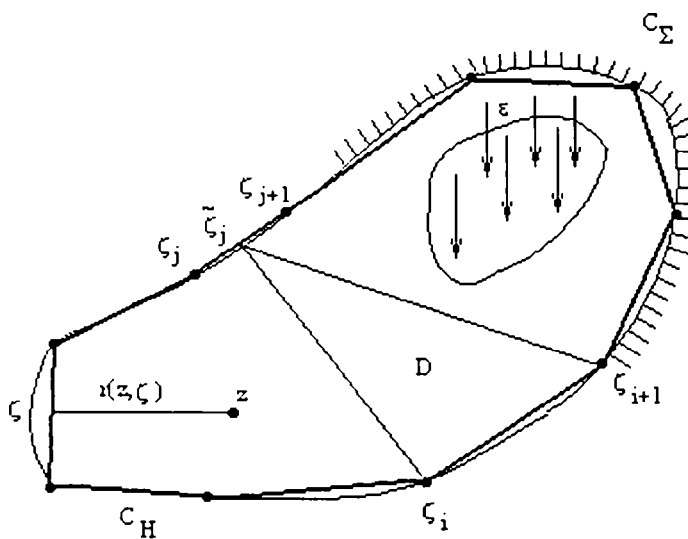
$$h(z) = -\frac{1}{2\pi T} \int_C \psi(\zeta) \ln r(z, \zeta) dl - \frac{1}{2\pi T} \int_D \varepsilon(\bar{z}) \ln r(z, \bar{z}) ds + C$$

pentru potențialul hidraulic (înălțime piezometrică), respectiv

$$U(z) = \frac{1}{2\pi} \int_D \psi(\zeta) \frac{\partial}{\partial n} \ln r(z, \zeta) dl + \frac{1}{2\pi} \int_D \varepsilon(\bar{z}) \frac{\partial}{\partial n} \ln r(z, \bar{z}) ds$$

pentru fluxul după direcția normală „n” în punctul $z \in D$

Pentru aplicarea practică a metodei se trece la limită $z \rightarrow \zeta_0 \in C_0$ obținându-se astfel ecuații integrale cu necunoscutele $\psi(\zeta)$. Pentru aceasta, se discretizează frontiera domeniului printr-un contur poligonal format din elementele de frontieră (fig.3.4.). Pe fiecare element se consideră o aproximare a distribuției ψ . Pe baza acestor aproximări va rezulta din ecuațiile integrale un sistem de ecuații liniare pentru determinarea distribuțiilor ψ , și a constantei C .



$C_\Sigma \cup C_H =$ frontiera domeniului

$D =$ domeniul miscarii

Fig 3.4 Discretizarea domeniului (MEFRO)

În cazul mai simplu când $\varepsilon = 0$ adică nu există aport de debit pe suprafața domeniului se obține un sistem liniar de forma:

$$\begin{cases} \sum_{i=1}^n a_{j,i} \frac{\psi_i}{T} + C = h_{o,j} \\ \sum_{\substack{i=1 \\ i \neq j}}^n b_{j,i} \frac{\psi_i}{T} - \frac{1}{2} \frac{\psi_j}{T} = 0 \\ \sum_{i=1}^n l_{i,j+1} \frac{\psi_i}{T} + \frac{\varepsilon}{T} S = 0 \end{cases}$$

existența unor obiecte interioare puțuri, drenuri, etc. va complica și mai mult ecuațiile. Reprezentarea lor se va face în capitolul V.

Coeficienții $a_{j,i}$ se calculează pe baza expresiilor:

$$a_{j,i} = \frac{1}{2\pi} \int_{\xi_i}^{\xi_{i+1}} \ln r(\tilde{\zeta}_j, \zeta) dl$$

$$b_{j,i} = \frac{1}{2\pi} \int_{\xi_i}^{\xi_{i+1}} \frac{\partial \ln r(\tilde{\zeta}_j, \zeta)}{\partial n} dl$$

unde $\tilde{\zeta}_j$ este punctul mijlociu al elementului $e_{j,j+1}$.

În urma rezolvării sistemului se determină valorile lui ψ_i , care introduse în relații h , respectiv u permit obținerea înălțimii piezometrice h și a fluxului după direcția „ n ” într-un punct M din interiorul domeniului ($M \in D$).

$$h(M) = \sum_{i=1}^n a_{M,i} \frac{\psi_i}{T} + \frac{\varepsilon}{T} \sum_{v=1}^m c_{(M,v)} + C$$

$$u(M) = \sum_{i=1}^n b_{M,i} \frac{\psi_i}{T} - \frac{\varepsilon}{T} \sum_{v=1}^m d_{(M,v)}$$

Dacă $\varepsilon \neq 0$, adică există un aport de debit, atunci este necesară discretizarea subdomeniului pe care $\varepsilon \neq 0$.

Dacă $\varepsilon = const$ atunci este suficientă discretizarea numai a frontierei. În acest caz sistemul de ecuații liniare este similar cu cel de mai sus cu mențiunea că mai apare termenul corespunzător lui ε .

Existența unor obiecte interioare puțuri, drenuri etc. va complica și mai mult ecuațiile. Reprezentarea lor se va face în capitolul V.

ANALIZA ERORILOR METODELOR NUMERICE ÎN REPREZENTAREA SINGULARITĂȚILOR SPECIFICE CAPTĂRILOR SUBTERANE

Reprezentarea corectă a puțurilor și drenurilor de lungime finită, adică introducerea comportamentelor singulare specifice în general captărilor subterane, constituie problema importantă în elaborarea modelelor numerice în domeniul hidraulicii subterane.

În cazul în care rezolvarea problemelor de hidraulică subterană prin metode analitice devine dificilă din cauza complexității problemelor, de exemplu cazul domeniilor cu o geometrie complicată, cazul mediilor neomogene etc. se recurge la modelarea numerică a mișcării apelor subterane.

4.1 Metoda diferențelor finite.

Metoda diferențelor finite reprezintă o metodă de modelare numerică bazată pe discretizarea întregului domeniu al mișcării. Această metodă elimină dificultățile legate de geometria complexă a domeniului, inclusiv cele legate de modul de dispunere al puțurilor sau al drenurilor.

Principalele probleme care apar la modelele numerice cu discretizarea domeniului constau în dificultatea reprezentării corecte a dependenței dintre denivelări și debite sau distribuții de debite aceasta mai ales în zone sau vecinătăți apropiate puțurilor sau drenurilor unde expresia înălțimii piezometrice are din punct de vedere matematic un caracter singular (ex. logaritm).

Pentru analizarea și studiul acestor efecte în cazul bidimensional s-a utilizat programul A.S.M. (Aquifer Simulation Modell) [41], [42] care are ca bază de calcul metoda diferențelor finite (variantele celulare). A.S.M. a fost dezvoltat ca și mijloc de studiu în domeniul hidraulicii subterane și al ingineriei mediului. Programul modelează mișcarea apei subterane precum și fenomene de transport luând în

considerare domeniului bidimensional al mișcării. Pentru discretizarea domeniului se folosește o rețea de celule dreptunghiulare. Reprezentarea puțului se realizează prin introducerea unui debit concentrat în acele celule (mijlocul celulei) în care sunt plasate puțurile. În urma rulării programului rezultatele sunt: câmpul hidroizohipselor și denivelarea în puț. Ceea ce este important de menționat este faptul că denivelarea astfel calculată, este afectată de erori considerabile și acesta deoarece metoda nu permite luarea în considerare a razei puțului ca parametru. Exceptând vecinătatea singularităților (puțuri, linii de drenaj, etc.) metoda de calcul oferă în general rezultate foarte bune.

În literatura de specialitate sunt prezentate diferite posibilități pentru rezolvarea problemelor menționate mai sus, adică reprezentarea cât mai corectă a potențialelor în vecinătatea singularităților.

În principal aceste soluții propun următoarele metode:

- îndesirea rețelei de discretizare a domeniului în zonele în care se urmărește obținerea de rezultate cu o acuratețe cât mai mare;
- folosirea unor funcții de interpolare de grad superior în cadrul algoritmului de calcul;
- amplasarea singularităților în interiorul unui element și folosirea suprapunerii efectelor.

O lucrare semnificativă din punct de vedere al tratării problemelor legate de erorile care apar în cadrul metodelor numerice cu diferențe finite aparține lui Klenke [43]. Ea tratează doar cazul unui puț singular cu debit dat, evaluând deci eroarea denivelării.

David I. [24] a continuat aceste cercetări referitoare la evaluarea erorilor care apar în cazul modelelor numerice de simulare pentru puțuri și drenuri de lungime finită în ambele variante de funcționare (Q, H).

4.1.1 Evaluarea erorilor metodei diferențelor finite pentru puțuri perfecte, drenuri de lungime finită și puțuri parțial penetrate.

Cazul puțurilor perfecte.

Se prezintă câteva rezultate care generalizează pe cele stabilite de Klenke[43]. Pentru evaluarea erorilor respectiv calculul erorii “ ϵ_h ” al denivelării în puț în cazul când debitul este dat s-a stabilit următoarea relație de calcul (I. David [24]);

$$\epsilon_h = \frac{|\Delta H_A - \Delta H_N|}{\Delta H_A} = \left| 1 - \frac{2 \sum_{i=1}^n \frac{1}{2(r/\Delta r + 2i - 1)}}{\ln \frac{R}{r}} \right|$$

$$n = (R - r) / \Delta r$$

unde semnificația mărimilor este următoarea:

- ΔH_A reprezintă denivelarea calculată analitic;
- ΔH_N reprezintă denivelarea calculată numeric;
- Δr reprezintă pasul de discretizare al rețelei;
- R raza de influență;
- r distanța la care se calculează denivelarea.

Valorile calculate ale erorii pentru denivelarea generată de puț la diferite distanțe de acesta este prezentată în tabelul 1.

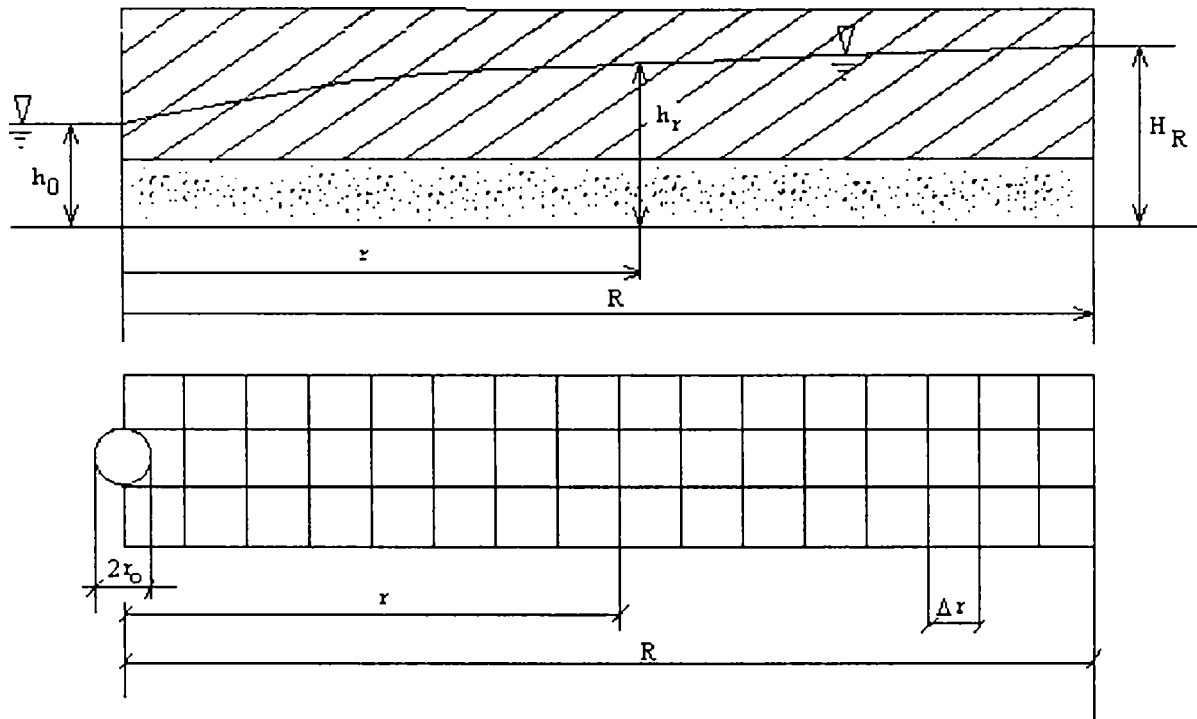


Fig.4.1 Rețeaua de discretizare în cazul puțului.

Valorile erorii de calcul a denivelării “ ϵ_h ”

Tabelul 1

		Distanța față de puț $r(m)$					
		0.1	1	10	100	200	500
Pasul rețelei $\Delta r (m)$	50	46.20	28.20	8.20			
	100	53.70	38.20	16.30	1.52		
	200	61.20	48.30	27.10		2.16	
	500	71.10	61.50	44.00			3.82

Observație:

Coloanele tabelului reprezintă eroarea exprimată în procente a denivelării totale, în cazul unui puț cu raza $r_0 = 0,1m$ și raza de influență $R = 1000m$.

Pentru calculul erorii debitului unui puț “ ε_Q ” în cazul unei denivelări date s-a stabilit relația (I. David [24]):

$$\varepsilon_Q = \frac{|\Delta Q_A - \Delta Q_N|}{\Delta Q_A} = 1 - \frac{\ln \frac{R}{r_0}}{2 \sum_{i=1}^n \frac{1}{2 \frac{r_0}{\Delta r} + 2i - 1}}$$

unde semnificația mărimilor este următoarea:

- Q_A reprezintă debitul puțului calculat analitic;
- Q_N reprezintă debitul puțului calculat numeric;
- R raza de influență;
- r_0 raza puțului;
- r raza la care se calculează valoarea debitului.

Rezultatele obținute în urma calculelor pentru 3 valori ale razei puțului și aceeași rază de influență $R = 1000m$ sunt prezentate în tabelul 2.

Eroarea relativă a debitului unui puț “ ε_Q ” Tabelul 2

		Pasul de discretizare al rețelei (m)					
		10	25	50	100	200	500
Raza puțului (m)	0.10	44.60	64.80	87.00	115.00	157.00	245.00
	0.25	30.20	48.50	68.40	94.10	131.40	211.00
	1.00	8.50	23.60	40.20	61.60	92.70	159.00

Rezultatele obținute pun în evidență erori de calcul semnificative mai ales pentru un pas de discretizare relativ mare. În ceea ce privește denivelarea (tabelul 1) erorile sunt mari în puț și scad rapid, devenind semnificative la distanțe relativ mici (circa 10m) de puț, rezultat cunoscut de altfel. (ex. Klenke [43]).

Erorile sunt mult mai semnificative cu cazul calculului numeric al debitului (tabelul 2) pentru o denivelare dată. În practică apar asemenea situații la calculul epuizamentelor când se cere determinarea debitului extras pentru a realiza o anumită denivelare prescrisă sau în cazul puțurilor de infiltrare pentru îmbogățirea acviferului, caz în care nivelul apei în puț este limitat de suprafața terenului. În ambele cazuri debitul calculat numeric, mai ales în cazul puțurilor cu rază obișnuită, mică și medie (de 0,1-0,25m) este afectat de erori semnificative de 30-45% chiar la o discretizare relativ fină $\Delta r = 10m$.

Cazul drenului.

Pentru evaluarea erorii denivelării totale într-un dren perfect de lungime finită “ ε_H ” se poate folosi formula (I. David [24]):

$$\varepsilon_H = \frac{|\Delta H_A - \Delta H_N|}{\Delta H_A} = \left| 1 - \frac{\sum_{i=1}^n \frac{2}{\sqrt{(2\frac{l}{\Delta r} + 2i - 1)^2 - 4\frac{l^2}{\Delta r^2}}} \ln\left(\frac{R}{l} + \sqrt{\frac{R^2}{l^2} - 1}\right)}{\right|$$

unde semnificația mărimilor este următoarea:

- ΔH_A reprezintă denivelarea calculată analitic;
- ΔH_N reprezintă denivelarea calculată numeric;
- l lungimea drenului;
- R raza de influență.

Rezultatele erorii denivelării totale pentru un dren perfect cu lungime de $2l=100, 200, 400\text{m}$ și rază de influență de 1000m sunt prezentate în tabelul 3.

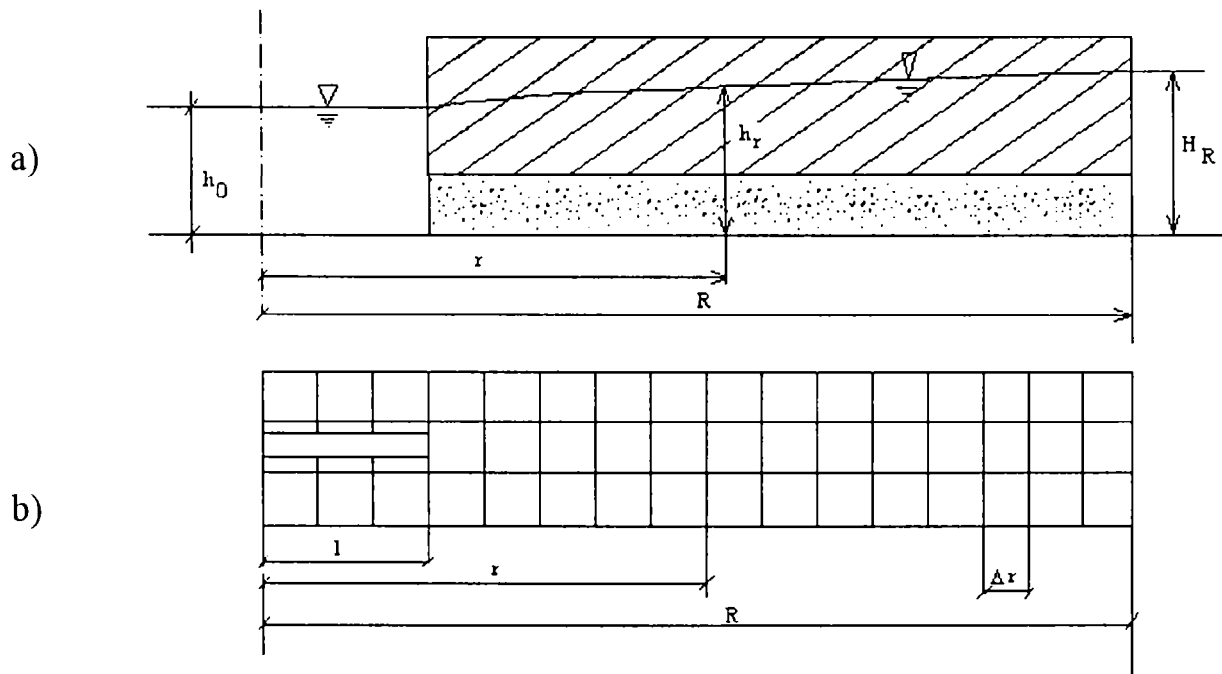


Fig. 4.2 Rețeaua de discretizare în cazul drenului

a) secțiune în plan vertical , b) vedere în plan orizontal

Eroarea relativă a denivelării ε_H [%] pentru. un dren
de lungime 2l și R=1000m

Tabelul 3

		Pasul rețelei de discretizare (m)			
		25	50	100	200
Lung. Dren (m)	100	8.30	11.90	-	-
	200	7.20	10.20	13.3	-
	400	6.60	9.40	15.7	19.00

Din cauza distribuției neuniforme de debit în lungul liniei de dren nu s-a putut stabili o formulă pentru estimarea erorii debitului. În cazul drenurilor se observă că erorile denivelării totale sunt în general mai mici decât cele corespunzătoare puțurilor (tabelul 3). În ceea ce privește debitul s-au constatat erori foarte mari la distribuția acestuia de-a lungul drenului, la capetele drenului se ajunge la erori de până la 50-60%.

Cazul puțurilor parțial penetrate.

Un caz deosebit de captare subterană îl reprezintă puțurile imperfecte din cauza penetrării parțiale de natură tridimensională.

În [28] se analizează calculul hidraulic al acestor tipuri de captări prezentându-se dificultățile datorită caracteristicilor tridimensionale ale mișcării apei subterane în vecinătatea puțului. În acest sens se arată că chiar și în cazul mediilor omogene rezolvarea ecuației generale a mișcării apei subterane

$$\frac{\partial^2 h}{\partial x^2} + \frac{\partial^2 h}{\partial y^2} + \frac{\partial^2 h}{\partial z^2} = 0$$

în care înălțimea piezometrică $h(x, y, z)$ definită în domeniul D al mișcării trebuie să satisfacă condiții la limită destul de complexe.

Domeniul mișcării D este definit prin relația:

$$D = \{(x, y, z) | x^2 + y^2 < R, 0 < z < m\} - \{(x, y, z) | x^2 + y^2 \leq r_0^2; a \leq z < m\}$$

Funcția de potențial $h(x, y, z)$ trebuie să satisfacă următoarele condiții la limită:

- pe frontiera domeniului;

$$h|_{\Gamma_R} = H_R, \quad \Gamma_R = \{(x, y, z) | x^2 + y^2 = R^2, 0 \leq z \leq m\}$$

- pe frontiera puțului;

$$h_{|\Gamma_p} = H_0, \quad \Gamma_p = \{(x, y, z) | x^2 + y^2 = r_0^2, a \leq z \leq m\}$$

- pe suprafețele impermeabile care delimitează domeniul în partea inferioară (S_i) și superioară (S_s)

$$\frac{\partial h}{\partial n_{|S_i \cup S_s}} = 0, \quad S_i = \{(x, y, z) | x^2 + y^2 < R^2, z = 0\}$$

$$S_s = \{(x, y, z) | r_0^2 < x^2 + y^2 < R^2, z = m\}$$

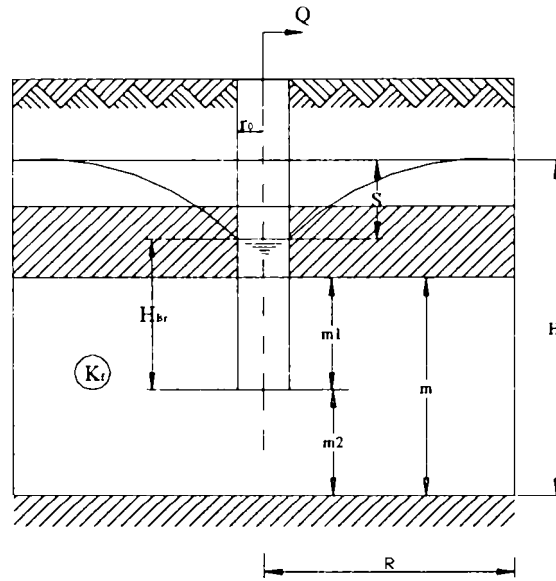


Fig 4.3 Schema puțului imperfect

Soluțiile analitice clasice [48], [39] au fost obținute prin simplificarea condițiilor la limită care trebuiesc respectate de către funcția potențial $h(x, y, z)$ pe puț în ipoteza că $r_0 \ll R$. În aceste condiții care în general acoperă cazurile reale, puț poate fi înlocuit cu o sursă liniară distribuită de-a lungul axului puțului. Luând în considerare aceste condiții, Muskat [48] a obținut o formulă teoretică de calcul a debitului pentru puț imperfect care are următoarea formă:

$$\frac{Q}{k_f m} = \frac{2\pi(H_R - H_0)}{\ln \frac{R}{r_0} + \left(\frac{m}{l} - 1\right) \ln \frac{4m}{r_0} - \frac{m}{2l} f\left(\frac{l}{m}\right)}$$

unde valorile funcției f sunt prezentate în tabelul nr. 4

Tabelul 4

L/m	0.05	0.08	0.1	0.2	0.3	0.4	0.5	0.6	0.7	0.8	0.9	1.0
f(l/m)	8	7	6.5	5.2	4.2	3.6	3	2.4	1.9	1.4	0.8	0

Relația lui Muskat permite determinarea debitului unui puț parțial penetrat în cazul când nu se cunoaște pierderea de sarcină $H_R - H_P$ împreună cu alți parametrii, geometrici prezentați în figura 4.3

Totodată relația poate fi folosită și la determinarea denivelării în cazul în care se cunoaște debitul puțului parțial penetrat.

Un studiu al erorilor în modelarea numerică a puțurilor imperfecte a fost făcut de către I. David și Gaude P. [29]. Pentru modelare s-a folosit programul MODFLOW, program de modelare numerică destinat aplicațiilor în domeniul hidrologiei subterane și a transportului poluanților răspândit mai ales în S.U.A. Acest program a fost realizat și dezvoltat în anul 1994 în Canada și are la ora actuală peste 3500 de utilizatori care își desfășoară activitatea în aceste domenii specifice [59]. Programul folosește metoda volumelor finite pentru a realiza o discretizare tridimensională a domeniului.

Analiza erorilor care apar la modelarea numerică a puțurilor imperfecte s-a efectuat pentru un puț imperfect aflat într-un strat acvifer omogen luând în considerare două variante:

- cazul în care se cunoaște valoarea debitului puțului imperfect și se determină înălțimea piezometrică din interiorul puțului;
- caz în care se cunoaște înălțimea piezometrică în interiorul puțului și pe conturul domeniului, deci pierderea de sarcină și se determină debitul puțului imperfect.

Elementele caracteristice ale modelului sunt:

- raza puțului imperfect $r_0 = 0,5m$;
- raza de influență a puțului imperfect $R = 100m$;
- coeficientul de conductivitate hidrolică $k_f = 0,000278m / s$;
- grosimea stratului acvifer $m = 20m$.
- $H_R = 24m$, înălțimea piezometrică la distanța razei de influență

Pentru a putea ilustra cât mai corect influența discretizării tridimensionale a modelului în vecinătatea puțului imperfect s-au efectuat un experiment numeric sistematic considerând următoarele tipuri de discretizare:

- o rețea de discretizare în plan orizontal de $10 \times 10m^2$, $5 \times 5m^2$, $2 \times 2m^2$ și $1 \times 1m^2$ combinată cu trei tipuri diferite de discretizare efectuate în plan vertical fiecare cuprinzând 5, 10 și respectiv 15 straturi.

Evaluarea erorilor s-a făcut prin compararea rezultatelor numerice cu cele analitice calculate cu formula lui Muskat.

Rezultatele comparative pentru varianta 1 respectiv varianta 2 de calcul sunt prezentate în tabelul 5 și tabelul 6

Valori calculate ale înălțimii piezometrice în puț și ale erorii relative între metoda numerică și soluția analitică (Q dat)								
	4m	$\varepsilon_{H[4m]}^{4m}$	8m	$\varepsilon_{H[8m]}^{8m}$	12m	$\varepsilon_{H[12m]}^{12m}$	16m	$\varepsilon_{H[16m]}^{16m}$
Muskat	22,0		22,0		22,0		22,0	
MODFLOW								
10x10,5	22.9161	45.81	22.6637	33.18	22.5578	27.89	22.4998	24.99
10x10,10	22.9085	45.43	22.6586	32.93	22.5551	27.76	22.4986	24.93
10x10,15	22.9069	45.35	22.6575	32.87	22.5545	27.73	22.4983	24.92
5x5,5	22.3725	18.62	22.2025	10.13	22.1774	8.87	22.1756	8.78
5x5,10	22.3470	17.35	22.1923	9.61	22.1737	8.69	22.1743	8.71
5x5,15	22.3424	17.12	22.1911	9.55	22.1738	8.96	22.1747	8.74
2x2,5	21.5897	-20.52	21.6278	-18.61	21.7098	-14.51	21.7699	-11.51
2x2,10	21.5405	-22.97	21.6178	-19.11	21.7068	-14.66	21.7689	-11.56
2x2,15	21.5313	-23.43	21.6173	-19.14	21.7074	-14.63	21.7698	-11.51
1x1,5	21.0145	-49.27	21.2101	-39.50	21.3617	-31.92	21.4641	-26.80
1x1,10	20.9642	-51.79	21.2011	-39.95	21.3590	-32.05	21.4631	-26.85
1x1,15	20.9560	-52.20	21.2009	-39.96	21.3598	-32.01	21.4642	-26.79

Valori calculate ale debitului în puț și ale erorii relative între metoda numerică și soluția analitică ($H_0=22m$)								
	4m	$\varepsilon_{Q[4m]}^{4m}$	8m	$\varepsilon_{Q[8m]}^{8m}$	12m	$\varepsilon_{Q[12m]}^{12m}$	16m	$\varepsilon_{Q[16m]}^{16m}$
Muskat	479,1	-	717,7	-	903,5	-	1060,5	-
MODFLOW								
10x10,5	1176.3	145.5	1499.3	108.9	1723.4	90.7	1866.7	76.0
10x10,10	1192.2	148.8	1510.7	110.5	1731.6	91.7	1871.3	76.5
10x10,15	1195.7	149.6	1513.2	110.8	1733.5	91.9	1872.5	76.6
5x5,5	812.9	67.7	1117.2	55.7	1342.3	48.6	1500.0	41.4
5x5,10	836.4	74.6	1134.5	58.1	1355.2	50.0	1508.4	42.2
5x5,15	841.5	75.6	1138.2	58.6	1358.1	50.3	1510.1	42.4
2x2,5	528.6	10.3	799.1	11.3	1011.8	12.0	1176.6	10.9
2x2,10	552.7	15.4	817.8	13.9	1026.6	13.6	1186.2	11.9
2x2,15	560.6	17.0	823.9	14.8	1031.6	14.2	1190.8	12.3
1x1,5	406.9	-15.1	647.9	-9.7	845.9	-6.4	1003.9	-5.3
1x1,10	431.5	-9.9	665.8	-7.2	857.3	-5.1	1014.4	-4.3
1x1,15	429.9	-10.2	668.7	-6.8	862.4	-4.5	1025.0	-3.3

4.1.2 Concluzii și comentarii cu privire la erorile introduse de metoda diferențelor finite.

- pentru **cazul puțului perfect** cu debit dat se observă că eroarea denivelării totale este mare chiar și pentru o rețea cu pas fin de discretizare, ea scăzând însă pe măsură ce ne îndepărtăm de puț rămânând semnificativă și la distanțe mari în cazul în care rețeaua de discretizare are un pas mare;

- erorile relative ale debitului **puțului perfect** în cazul unei denivelări totale date sunt mult mai mari față de cazul puțului cu debit dat. Chiar și în cazul unui puț cu diametru de 0,5m. și un pas de discretizare al rețelei de 10m. eroarea calculată depășește 30%;

- în cazul **drenurilor de lungime finită** erorile denivelării totale în dren sunt în general mai mici decât cele corespunzătoare puțurilor. În ceea ce privește debitul s-a constatat erori mari la distribuția acestuia în lungul liniei de dren mai ales la capetele drenului.

În cazul **puțurilor imperfecte** ținând cont de rezultatele prezentate în cele două variante de rulare s-au desprins următoarele concluzii:

Pentru varianta 1;

- mărirea gradului de discretizare în plan orizontal nu conduce la reducerea erorilor relative $\varepsilon_{H[\%]}$ între soluția numerică și cea analitică. După cum se observă nu se poate recomanda o soluție care să ofere niște rezultate afectate de erori $\varepsilon_{H[\%]}$ care să se apropie de zero;

- discretizare verticală mai accentuată are doar o relevanță redusă în ceea ce privește $\varepsilon_{H[\%]}$. Mărirea gradului de discretizare în plan vertical poate conduce la $\varepsilon_{H[\%]}$ chiar mai mari decât în cazul unei discretizări reduse;

- creșterea lungimii puțului imperfect de la 4m la 16m reduce eroarea $\varepsilon_{H[\%]}$ la jumătate.

Pentru varianta 2;

- discretizarea în plan orizontal are o mare influență asupra erorii relative $\varepsilon_{Q[\%]}$ între soluția numerică și cea analitică. Această eroare relativă, după cum se observă variază între 45 și -53%, și nu poate fi redusă nici în cazul unei discretizări mai mari;

- diferitele grade de discretizare în plan vertical nu au o influență semnificativă asupra $\varepsilon_{Q[\%]}$;

- cu cât gradul de penetrare a puțului crește erorile relative se reduc, ceea ce ne conduce la concluzia că cu cât ne apropiem de situația unui puț perfect erorile relative $\varepsilon_{Q[\%]}$ se reduc, rămânând însă semnificative.

Aceste concluzii și comentarii prezentate pe larg în [29] stabilesc clar că metodele cu diferențe finite (volum finite) pot conduce la erori semnificative în situațiile în care mișcarea prezintă singularități bi sau tridimensionale așa cum sunt în general captările subterane de orice tip

4.2. Metoda elementelor finite.

Analiza erorilor singularităților în cazul aplicării metodei elementelor finite s-a realizat prin intermediul programului AQUA [57] dezvoltat de către firma Vatnaskil Consulting Engineering. Acest program permite posibilități de rezolvare a problemelor de hidraulică subterană, probleme de transport etc.

Problema analizată a fost și în acest caz dependența rezultatelor modelării captărilor subterane (Q, H) funcție de gradul de discretizare al domeniului mișcării. În acest sens I. David, G. Eleș [27] au efectuat o serie de calcule sistematice în cazuri specifice pentru puțuri și drenuri.

4.2.1 Evaluarea erorilor folosind metoda elementelor finite pentru puțuri și drenuri de lungime finită.

Cazul unui puț izolat alimentat pe contur, denivelare constantă dată.

Pentru studiul acestei probleme s-a avut în vedere păstrarea unei denivelări constante și rafinarea rețelei de elemente finite dinspre cercul exterior de alimentare C_E de rază R , înspre conturul puțului C_0 de rază r . Razele cercurilor interioare pe care au fost dispuse nodurile discretizării au fost calculate cu următoarea relație:

$$R_{i-1} = \frac{R_i}{2}$$

S-a obținut astfel un număr de 10 cercuri cu mărimea razelor prezentată în tabelul 8, incluzând cercul exterior C_E și C_0 prin care definește puțul în plan orizontal.

Pe conturul fiecărui cerc au fost calculate coordonatele geometrice a 12 noduri care au fost poziționate pe conturul fiecărui cerc (fig.4.4 și tab.7). În tabelul 9 pentru fiecare variantă se indică numărul nodurilor luate în calcul, numărul elementelor, tipul variantei de calcul și eroarea de calcul determinată.

Pentru acest caz s-a avut în vedere evaluarea valorică a erorii în ceea ce privește debitul total al puțului calculat prin metoda elementelor finite cu programul AQUA față de debitul real al puțului calculat prin metoda analitică pentru o denivelare constantă (formula cunoscută a puțurilor). Rezultatele obținute sunt prezentate în tabelul 9.

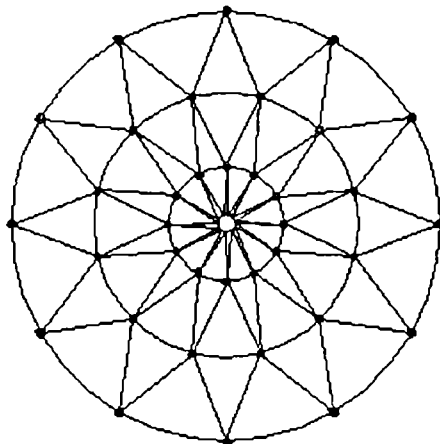


Fig. 4.4 Modul de discretizare a domeniului în cazul unui puț

Tabelul 7

Var.	Modul de distribuire al cercurilor concentrice									
V ₀	C ₀	C ₁	C ₂	C ₃	C ₄	C ₅	C ₆	C ₇	C ₈	C ₉
V ₁	C ₀		C ₂	C ₃	C ₄	C ₅	C ₆	C ₇	C ₈	C ₉
V ₂	C ₀			C ₃	C ₄	C ₅	C ₆	C ₇	C ₈	C ₉
V ₃	C ₀				C ₄	C ₅	C ₆	C ₇	C ₈	C ₉
V ₄	C ₀					C ₅	C ₆	C ₇	C ₈	C ₉
V ₅	C ₀		C ₂		C ₄		C ₆		C ₈	C ₉
V _i	Varianta cu rețeaua îndesită									

Semnificațiile notațiilor folosite în tabelul 7 sunt prezentate în cadrul tabelului 8:

Tabelul 8

Cerc	C ₀	C ₁	C ₂	C ₃	C ₄	C ₅	C ₆	C ₇	C ₈	C ₉
R [m]	0.25	0.5	0.78	1.56	3.12	6.25	12.50	25.00	50.00	100

Eroarea de calcul a debitului unui puț alimentat pe contur (deniv. const.) Tabelul 9

Varianta	Număr de elemente	Număr de noduri	Eroarea de calcul a debitului ε%
V ₀	216	120	6.20%
V ₁	192	108	7.61%
V ₂	96	168	12.57%
V ₃	84	144	21.83%
V ₄	72	120	36.04%
V ₅	72	120	15.57%
V _i	456	864	2.29%

Pentru calculul analitic s-a utilizat formula cunoscută:

$$Q = \frac{2\pi km(H - h_0)}{\ln \frac{R_0}{r_0}}$$

unde semnificația mărimilor care intervin este următoarea:

- Q - debitul;
- m - grosimea stratului acvifer;
- k - coeficientul de filtrație;
- H - potențialul pe conturul exterior;
- h_0 - potențialul pe conturul puțului;
- R_0 - raza domeniului;
- r_0 - raza puțului.

Se constată așa cum era de așteptat că erorile sunt în general mai mici dacă pasul rețelei de elemente finite scade în vecinătatea puțului. Totuși pentru o discretizare de circa 6m în vecinătatea puțului (variante V_4) eroarea este de peste 36%, deci semnificativă.

Cazul unui puț izolat din care se extrage un debit constant.

În cazul acestei probleme s-a avut în vedere extragerea unui debit dat Q, concentrat într-un singur nod și calculul denivelării corespunzătoare. În acest caz la aplicarea metodei elementelor finite nu mai este necesară precizarea diametrului puțului ceea ce face ca rezultatul calculului deci denivelarea obținută prin metoda elementelor finite să nu aibă nici o legătură cu dimensiunile geometrice ale puțului. Valoarea reală însă a denivelării depinde de caracteristicile geometrice ale puțului, respectiv de raza, diametrul acestuia.

În tabelul 10 se prezintă modul concentric de dispunere a cercurilor în cazul celor 4 variate luate în considerare.

În aceste condiții la un debit extras Q, impus (cunoscut) corespunde pe baza formulei puțului un număr arbitrar de denivelări în puț funcție de diametrul acestuia. În tabelul 11 sunt prezentate rezultatele de sinteză pentru patru variante de discretizare a domeniului și constau în reprezentarea erorii metodei elementelor finite în cazul celor patru variante de discretizare.

Tabelul 10

Var	Modul de dispunere al cercurilor concentrice						
V_1	C_1	C_2	C_3	C_4	C_5	C_6	C_7
V_2	-	C_2	C_7	C_4	C_5	C_6	C_7
V_3	-	-	C_7	C_4	C_5	C_6	C_7
V_4	-	-	-	C_4	C_5	C_6	C_7

Varianta	Nr. de elemente	Nr. de noduri	Eroarea denivelării calculată pentru:	
			$R_0/r_0=400$	$R_0/r_0=1000$
V ₁	85	186	2,20%	15,11%
V ₂	73	132	13,20%	24,66%
V ₃	61	108	24,00%	34,03%
V ₄	49	87	34,80%	43,41%

Se constată și în acest caz o variabilitate a erorilor destul de mare.

Cazul unei linii de drenaj de lungime finită.

Pentru evaluarea erorilor în cazul unei linii de drenaj de lungime finită s-a luat în considerare un dren perfect cu o lungime de 25 m. considerând cazurile de discretizare ale rețelei de elemente finite în cinci variante prezentate în cele ce urmează.

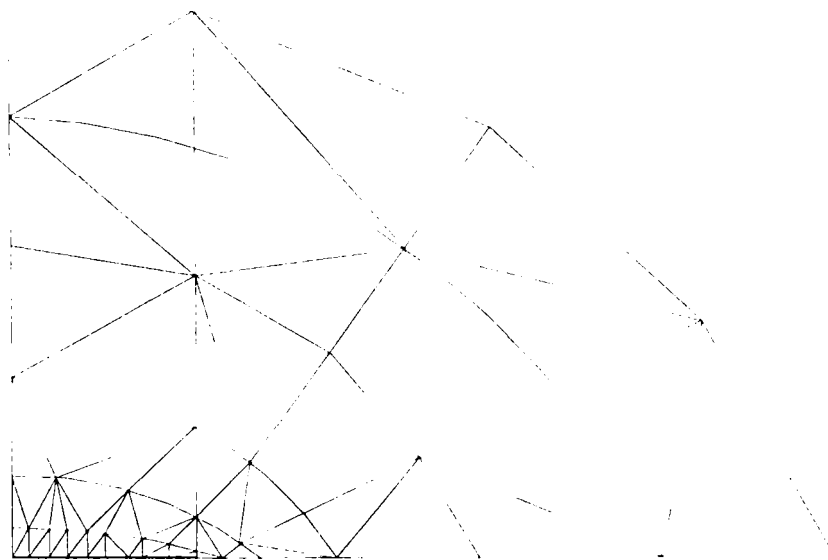


Fig. 4.5 Modul de discretizare al domeniului în cazul unei linii de drenaj.

În cadrul calculelor s-a avut în vedere păstrarea unui potențial impus de 15 m pe conturul de alimentare și un potențial constant de 10m. în lungul liniei de dren. Discretizarea domeniului mișcării s-a efectuat sub forma unor elipse conform figurii 4.5 Rezultatul final este concretizat în evaluarea erorii în ceea ce privește debitul total al liniei de dren calculat prin metoda elementelor finite (programul AQUA) și debitul liniei de dren real calculat prin metoda analitică. Aceste rezultate sunt prezentate în tabelul 12.

Nr. variantă	Nr. noduri	Nr. elemente	Eroare	Q_{calc}
V_1	38	53	5,03%	3,9980
V_2	43	61	4,21%	3,9666
V_3	54	81	3,52%	3,9405
V_4	95	151	2,44%	3,8993
V_i	340	604	0,62%	3,8301

Așa cum s-a constatat și la metoda diferențelor finite, debitul total nu este afectat de erori semnificative.

4.2.2 Concluzii cu privire la erorile metodei elementelor finite.

În baza rezultatelor de mai sus se desprind o serie de concluzii dintre care se menționează următoarele :

- în cazul unui puț izolat alimentat simetric se remarcă faptul că pentru a obține o precizie de sub 3% a debitului pentru o denivelare constantă, gradul de rafinare al rețelei trebuie să fie exagerat de mare și cu precădere el trebuie să fie concentrat în vecinătatea puțului. Se observă că prin îndesirea rețelei varianta V_i , variantă prin care programul de calcul mărește automat numărul de noduri și de elemente într-o distribuție oarecare se obține o precizie de calcul foarte bună dar cu un număr exagerat de elemente, peste 600. Ținând cont de acest aspect, pentru un sistem de captare de 50 de puțuri ar trebui să avem un număr de 30.000 de elemente;

- pentru un număr relativ mare de elemente și noduri (192 elemente și 108 noduri) se constată faptul că reducerea doar a primului cerc situat la o distanță față de centrul puțului egală cu dublul razei conduce la mărirea erorii până la valoarea de 7,61%.

- ca și concluzie finală se constată faptul că este foarte important menținerea cercurilor din imediata vecinătate a puțului pentru a obține aceleași valori ale erorii la același număr de elemente. Această concluzie poate fi ușor observată din compararea variantelor V_4 și V_5 de calcul.

- în cazul unui puț izolat din care se extrage un debit constant considerând două variante ale puțului una cu raza de 0,25m. respectiv 0,10m. se pot constata erori de calcul cuprinse între 2% și 43%. Și în acest caz valorile mici ale erorilor corespund unei rețele dense ca și în exemplul precedent.

- în cazul liniei de dren, față de puțuri se observă că pentru obținerea unei precizii de calcul sub 3% este suficientă alcătuirea unei rețele de discretizare formată dintr-un număr de 95 de noduri respectiv 151 de elemente. Această discretizare a condus în cele din urmă la o eroare de 2,44% ceea ce denotă o precizie de calcul bună.

- la drenuri, rămâne însă deschisă problema distribuției debitului de-a lungul drenului. La capetele drenului unde mișcarea are un caracter singular, diferențele locale deci și erorile sunt de ordinul de mărime constatată și comentată în cazul puțurilor.

4.3 Evaluarea erorilor metodei elementelor de frontieră pentru puțuri .

Studiul erorilor în vecinătatea singularităților cu metoda elementelor de frontieră s-a realizat prin intermediul programului MEFRO creat și dezvoltat de către I.David și G.Eleș. Programul sursă a fost realizat în limbajul de programare PASCAL și va fi prezentat într-o variantă mai extinsă în cadrul capitolului VI.

Cazul puțurilor perfecte într-un acvifer omogen radial simetric.

În baza celor prezentate în paragrafele anterioare rezultă că atât metoda diferențelor finite, cât și metoda elementelor finite aproximează ecuațiile care guvernează mișcarea apei subterane prin discretizarea atât a interiorului domeniului cât și a frontierei domeniului. Această discretizare conduce la erori care au fost prezentate și comentate cu programele respective.

Așa cum s-a văzut dificultățile apar în vecinătatea singularităților (ex. puțuri) unde relația logaritmică a denivelării nu poate fi modelată prin discretizare cu suficientă acuratețe. Erorile sunt dependente de discretizarea domeniului fără a avea posibilitatea unei evaluări exacte, exceptând cazurile simple.

Metoda elementelor de frontieră dezvoltată în mod deosebit într-o perioadă relativ recentă este o metodă numerică de rezolvare a problemelor la limită. În esență această metodă, utilizând o soluție fundamentală a ecuației cu derivate parțiale date conține implicit comportamentul singular și nu necesită discretizare de domeniu. Problema rezolvării numerice a ecuației integrale la care conduce reprezentarea soluției necesită doar o discretizare a frontierei. Se pot obține astfel datele necesare care vor permite, prin intermediul unei reprezentări integrale numerice asociate ecuației date, calculul soluției în orice punct al domeniului. Soluțiile astfel obținute așa cum s-a mai menționat conțin comportamentul singular real în vecinătatea puțurilor și deci nu sunt afectate de erori semnificative.

Problema analizată a fost și în acest caz compararea rezultatelor modelării numerice cu soluția obținută analitic.

Ca și exemplu numeric pentru studiul erorii s-a luat în considerare un puț având raza $r_0 = 0.1m$, o denivelare de 1m la o distanță de 10m de puț. Discretizarea pentru MEFRO (fig.4.6) a fost relativ grosieră, doar 12 noduri (elemente) pe contur.

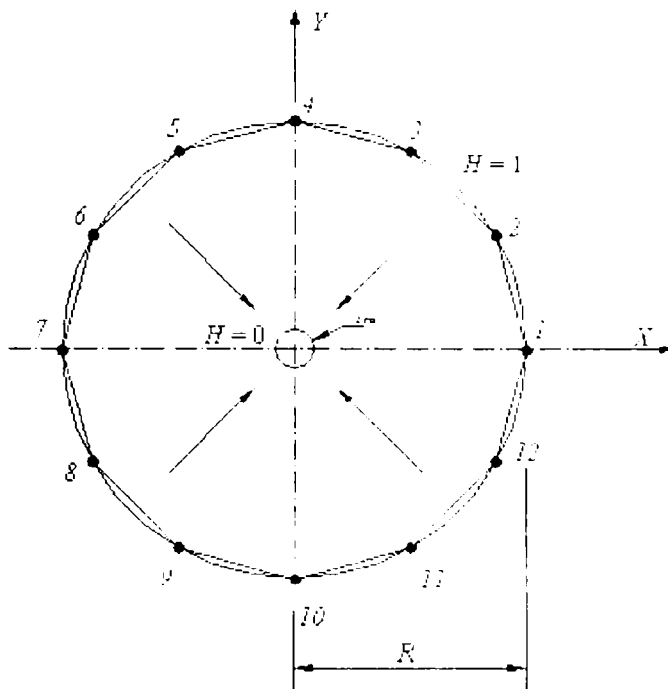


Fig. 4.6 Discretizarea frontierei în cazul unui puț cu denivelare constantă

Valoarea debitului calculat analitic s-a făcut cu ajutorul formulei cunoscute a puțului singular:

$$Q_A = \frac{2\pi kmS}{\ln \frac{R}{r_0}}$$

unde semnificația mărimilor care intervin este următoarea:

- Q_A debitul puțului calculat analitic;
- km transmisivitatea domeniului;
- R raza de influență corespunzător denivelării S ;
- r_0 raza puțului;
- S denivelarea.

De asemenea au fost calculate valorile fluxului și a potențialului în anumite puncte din interiorul domeniului atât numeric cât și analitic pentru a putea fi comparate în vederea stabilirii erorii MEFRO. Rezultatele sunt prezentate în tabelele 13 și 14.

Nr. nod	Abscisă (m)	Ordonată (m)	H (m)	Flux calculat pe element	Eroare
1	10	0	1,00	-0,214964	0,479%
2	8.7	5	1,00	-0,215500	0,231%
3	5	8.7	1,00	-0,214968	0,477%
4	0	10	1,00	-0,214969	0,477%
5	-5	8.7	1,00	-0,215501	0,231%
6	-8.7	5	1,00	-0,214965	0,478%
7	-10	0	1,00	-0,214966	0,478%
8	-8.7	-5	1,00	-0,215500	0,231%
9	-5	-8.7	1,00	-0,214970	0,476%
10	0	-10	1,00	-0,214968	0,477%
11	5	-8.7	1,00	-0,215500	0,231%
12	8.7	-5	1,00	-0,214967	0,478%

*) Valoarea analitic calculată a fluxului pe un element al conturului exterior este:
 $q = -0,216$

Erori ale înălțimii piezometrice

Tabelul 14

Nr. punct	Abscisa (m)	Ordonata (m)	H _{Numeric} (m)	H _{Analitic} (m)	Eroare
1	1,00	0,00	0,3516	0,3484	0,918%
2	2,00	0,00	0,5030	0,4984	0,922%
3	3,00	0,00	0,6544	0,6484	0,925%
4	4,00	0,00	0,7430	0,7362	0,923%
5	5,00	0,00	0,8059	0,7985	0,926%
6	6,00	0,00	0,8945	0,8862	0,936%
7	8,00	0,00	0,9573	0,9485	0,927%
8	10.0	0.00	1,0000	1,0000	0

4.3.1 Concluzii cu privire la erorile metodei elementelor de frontieră.

În cazul aplicării metodei elementelor de frontieră pentru un puț izolat se obține o precizie de calcul net superioară comparativ cu celelalte metode (MEDIF,MEFIN) prezentate în paragrafele anterioare. În cazul acestei metode nu este nevoie de o discretizare a întregului domeniu ci doar a frontierei sale, ceea ce conduce la formarea unui sistem cu un număr redus de ecuații comparativ cu primele două metode. Pentru exemplul considerat mai sus avem 12 elemente față de sute de elemente în cazul celorlalte metode numerice.

4. 4 Concluzii finale privind analiza erorilor metodelor numerice în vecinătatea captărilor subterane

În cazul **metodei diferențelor finite** ca o concluzie generală se menționează faptul că prin îndesirea rețelei de discretizare este posibilă o reducere a erorilor care însă pot rămâne relativ mari și pentru rețele dense de discretizare. Astfel în cazul puțurilor cu denivelare dată (înălțimi piezometrice cunoscute) erorile sunt mari chiar și pentru rețele relativ dense de discretizare. La un număr de 300 de elemente rezultă valori ale erorilor cuprinse între 46% și 8%. În cazul puțurilor imperfecte erorile introduse de metoda diferențelor finite se situează în limita 30-53%, deci valori foarte mari.

În consecință rafinarea discretizării rețelei prin creșterea numărului de elemente constitutive sau introducerea unor funcții de interpolare de grad superior nu conduce la o micșorare mulțumitoare a erorilor. Ea conduce însă la creșterea excesivă a numărului de ecuații și astfel la mărirea dimensiunilor sistemului de ecuații deci a timpului de calcul.

Metoda elementelor finite introduce în general erori mai mici de calcul decât metoda diferențelor finite. Pentru a obține o precizie de calcul ridicată se constată și în acest caz că este necesară o discretizare foarte rafinată a rețelei de elemente finite mai ales în vecinătatea singularității.

Desigur problemele pe care le ridică realizarea programelor de calcul în cadrul diferitelor metode numerice au complexitatea lor specifică. Metodele cu diferențe finite și metoda elementelor finite implică o complexitate scăzută ca și nivel de programare datorită particularității matricei sistemului (matrice diagonală și simetrică). În cazul metodei elementelor de frontieră matricea sistemului de ecuații care are o structură compactă, care are totodată ocupării unei foarte mari părți din memoria calculatorului.

Comparând metoda diferențelor finite și a elementelor finite cu **metoda elementelor de frontieră** sub aspectul implementării lor, se menționează faptul că metoda elementelor de frontieră nu necesită algoritmi speciali pentru realizarea rețelei de discretizare a domeniului. În schimb matricea sistemului final de ecuații în cazul metodei elementelor de frontieră este o matrice compactă cu complicații de implementare. În același timp, așa după cum s-a văzut această metodă reprezintă avantaje nete în reprezentarea singularităților. În altă ordine de idei MEDIF și MEFIN permit modelarea mediilor heterogene deci au un avantaj deosebit a lor în comparație cu MEFRO care este dezvoltat pentru medii omogene sau omogene pe porțiuni. De aceea după cum se va putea observa în capitolele se va insista pentru introducerea diferitelor metode corespunzător specificului lor în modelarea complexă a captărilor subterane.

Ca și concluzie generală rezultă faptul că metodele numerice trebuie adaptate specificului problemei modelate, recomandându-se chiar combinarea lor.

MODELAREA MIȘCĂRII ÎN ACVIFERE GENERATE DE SISTEME COMPLEXE DE CAPTARE APLICÂND MEFRO

Dezvoltarea modelării numerice a mișcării apei subterane în ultimul deceniu s-a concentrat îndeosebi asupra modelelor la scară extinsă, regională utilizând metoda diferențelor finite și a elementelor finite. (ex. MODFLOW, AQUA, ASM).

Ținând cont de studiul asupra erorilor celor trei tipuri de metode numerice și de concluziile finale prezentate în cadrul capitolului IV se poate concluziona faptul că metoda diferențelor finite și metoda elementelor finite cu avantaje certe în modelarea la scară regională nu sunt adecvate pentru simularea mișcării în acvifere, generate de sisteme complexe de captare [31].

În general, calculele de hidraulică subterană a mișcării în acvifere presupun folosirea combinată a unor modele care să poată fi aplicate pe domenii întinse, iar altele cum ar fi MEFRO în zone restrânse în vecinătatea captărilor (fig. 5.1).

Astfel pentru domeniul extins (de ordinul I) se recomandă MEDIF sau MEFRO în care un sistem întreg de captare este reprezentat prin debitul global.

Pentru subdomeniul sistemului de captare cu singularități ca puțuri, linii de drenaj, subdomenii cu aport de precipitații se recomandă calculul folosind metoda elementelor de frontieră, iar pentru puțuri imperfecte se recomandă calculul folosind metoda elementelor analitice [31]

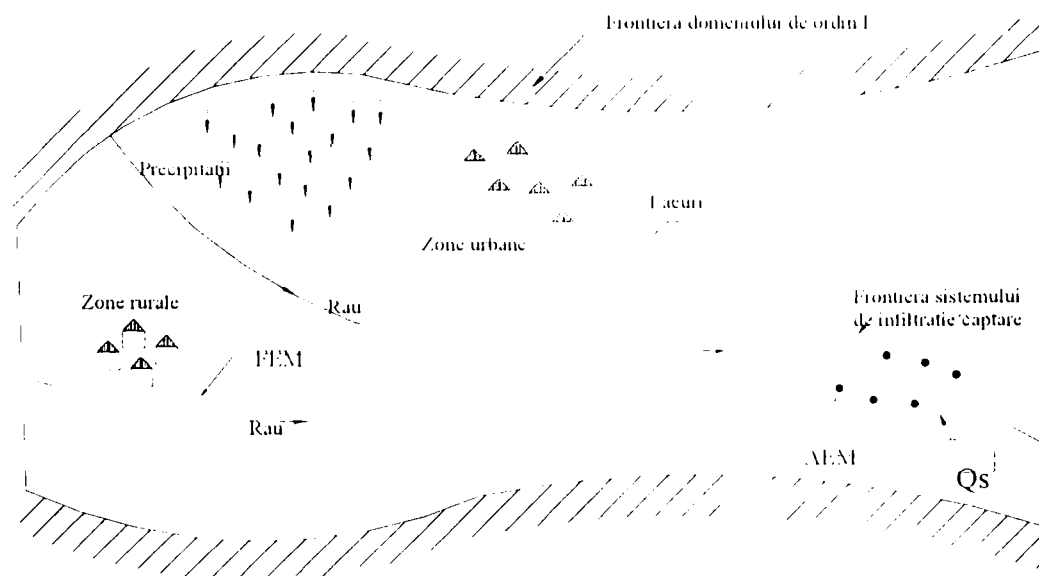


Fig. 5.1 Schița unui sistem complex de captare aferentă unui domeniu cu suprafață mare [31]

Astfel, pentru frontiera domeniului, singularități, puncte interioare, linii de drenaj, subdomenii cu aport de precipitații din exterior ale unui sistem de captare din cadrul unui sistem hidraulic complex se recomandă calculul folosind metoda elementelor de frontieră, iar pentru puțuri imperfecte se recomandă calculul folosind MEA (fig.5.2).

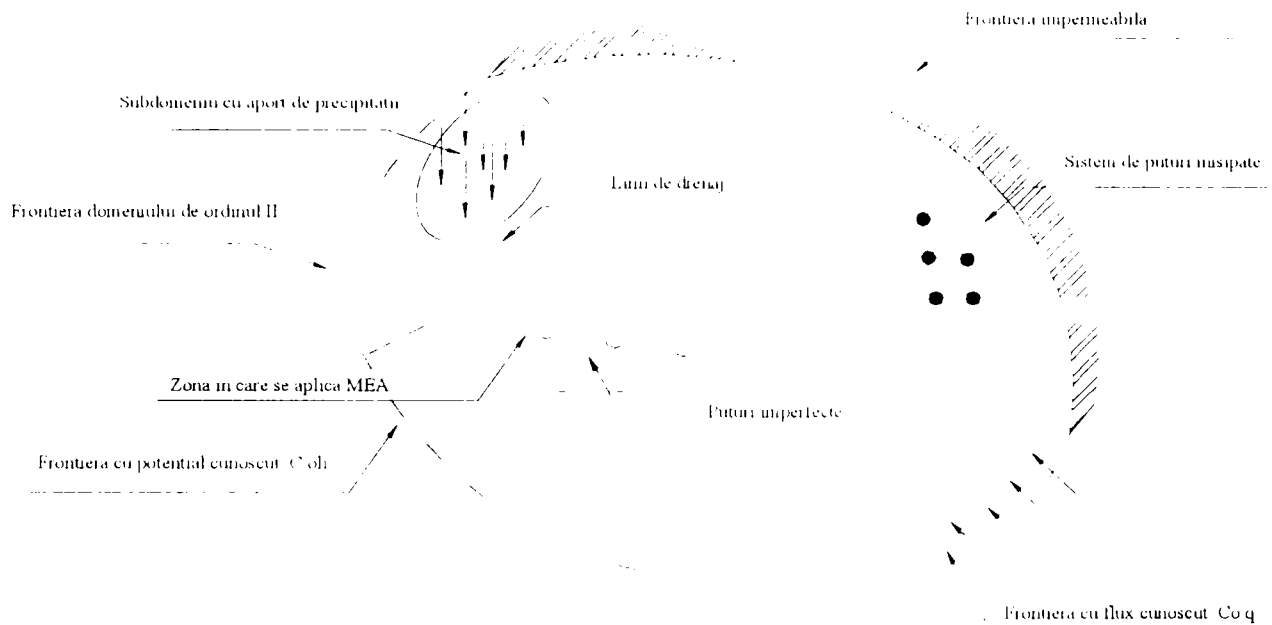


Fig. 5.2 Modul de discretizare al sistemului complex de captare în vecinătatea singularităților

Domeniul de ordinul I, se extinde în plan orizontal având dimensiuni de ordinul kilometrilor sau chiar a zecilor de Km iar domeniul de ordinul II, este de fapt un domeniu semilocal și care cuprinde unul sau mai multe obiecte de infiltrație/captare.

Prin cuplarea metodelor, respectiv prin folosirea MEFIN pentru domenii întinse de ordinul I, MEFRO și MEA pentru sistemele complexe de captare din cadrul acestor domenii (de ordinul II) se realizează o cuplare optimă a acestor metode adică o folosire cât mai eficientă a avantajelor fiecăreia [31].

Figura 5.1 prezintă schița unui model la scară largă. În schiță se observă modul în care s-a delimitat sistemul complex de captare care în modelarea de ordinul I se reprezintă cu debitul total al sistemului notat cu Q_s .

Există mai multe posibilități de comportare a acestui sistem (5.1) funcție de debitul Q_s al sistemului [31]. Astfel:

- $Q_s < 0 \rightarrow$ avem o alimentare a sistemului din zona extinsă;
- $Q_s > 0 \rightarrow$ avem un excedent de debit al sistemului cum ar fi o infiltrație artificială;
- $Q_s = 0 \rightarrow$ captarea este egală cu alimentarea, adică sistemul este închis cum ar fi cazul unei infiltrații/alimentări în echilibru

În general ce-a de-a treia situație apare destul de rar în realitate.

5.1 Descrierea schemei generale luate în studiu pentru MEFRO.

Modelul matematic folosit pentru studiul sistemelor complexe de captare bazat pe metoda MEFRO/MEA conține următoarele obiecte matematice:

- puțuri cu flux cunoscut (2D);
- puțuri cu potențial cunoscut (2D);
- linii de drenaj (2D);
- puțuri imperfecte (local - 3D);
- puțuri imperfecte (cu luarea în considerare a mișcării interioare cu pierderi de sarcină, 3D);
- subdomenii cu aport de debit (2D).
- frontiera (2D)
- puncte interioare din domeniu unde se cere să se calculeze înălțimea piezometrică (2D);

Condițiile la limită pe frontiera domeniului sunt:

- frontiera cu potențial cunoscut C_{HOF} ;
- frontieră cu flux cunoscut C_{0q} sau impermeabilă $C_{0\Sigma}$.

Aceste condiții la limită vor fi furnizate de modelarea de ordinul I.

5.2 Reprezentarea integrală indirectă a soluției.

Reprezentarea integrală indirectă a potențialului φ într-un punct M al domeniului D este de forma [31]:

$$\varphi^+(M) = -\frac{1}{2\pi} \left[\int_{C_0} \psi(P)G(M,P)dl + \int_{L_{obj}} q_{obj}(P)G(M,P)dl + \sum_{j=1}^{N_W} Q_{Wj}G(M,W_j) + \sum_{j=1}^{N_{PW}} \sum_{i=1}^{N_e^{(j)}} q_i^{(j)} G_i^{(j)}(M,W_{p,j}) \right] + \int_{D_s} \varepsilon(P)G(M,P)d\Omega \quad (5.1a)$$

unde notațiile folosite sunt următoarele:

- C_0 - frontiera domeniului;
- L_{obj} - linii de drenaj;
- N_{PW} - numărul de puțuri imperfecte;
- $N_e^{(j)}$ - numărul de elemente ale puțului imperfect „j”;
- N_W - numărul de puțuri cu flux cunoscut;
- q_{obj} - debitul specific al liniei de drenaj;
- $Q_{W,j}$ - debitul puțului „j”;
- $q_i^{(j)}$ - debitul specific al unui element al puțului imperfect.

Pentru calculul fluxului:

$$\begin{aligned}
 q_{N_M}(M) &= \frac{\partial \varphi^+(M)}{\partial n_M} = \\
 &= -\frac{1}{2\pi} \left[\int_{C_0^+} \psi(P)F(M,P)dl + \int_{L_{obj}} q_{obj}(P)F(M,P)dl + \sum_{j=1}^{N_w} Q_{w_j}F(M,W_j) + \right. \\
 &\quad \left. + \sum_{j=1}^{N_{P^*}} \sum_{i=1}^{N_i^{(j)}} q_i F_i^{(j)}(M,W_{P_j}) + \int_{D_e} \varepsilon(P)F(M,P)d\Omega \right] \quad (5.1b)
 \end{aligned}$$

Primul termen al reprezentărilor integrale (5.1 a,b) corespunde frontierei domeniului. Al doilea termen reprezintă potențialul generat de obiectele orizontale cum sunt de exemplu liniile de drenaj. Cel de-al treilea termen este potențialul generat de puțurile perfecte amplasate în punctele W_j , având debitul Q_{w_j} . Al patrulea termen reprezintă potențialul generat de puțurile imperfecte, iar ultimul corespunde debitului de alimentare distribuit pe suprafața D_e inclusă în D . Se observă că față de cazul simplu prezentat la bazele metodei în paragraful 2.3, în reprezentările de mai sus s-au introdus s-au introdus obiectele orizontale (linii de drenaj) și puțurile parțial penetrate. Astfel (5.1a,b) constituie cele mai generale reprezentări integrale care conțin toate obiectele care pot apare în cazul unui sistem de captări subterane și au fost stabilite de David I. [31].

În continuare se prezintă mai detaliat reprezentarea puțurilor imperfecte care au constituit obiectele principale ale cercetării în cadrul tezei, unele rezultate fiind publicate David I., Eleș G. [28].

5.3 Reprezentarea puțurilor imperfecte în MEFRO.

Baza tehnicii de reprezentare a mișcării generate de puțuri imperfecte o constituie modelarea lui cu elemente analitice care constau în surse liniare distribuite de-a lungul axului puțului [30] (fig. 5.3).

Astfel pornind de la expresia generală a soluției fundamentale tridimensionale se construiește următoarea reprezentare de bază:

$$\phi_i(M_j) = -\frac{q_i}{4\pi} \int_{z_{iK}'}^{z_{i+1}^{(K)}} \frac{dz}{\sqrt{(x_i^{(K)} - x_j)^2 + (y_i^{(K)} - y_j)^2 + (z_i^{(K)} - z_j)^2}} \quad (5.2)$$

care reprezintă potențialul generat de elementele puțului $M_i^{(k)}, M_{i+1}^{(k)}$ în punctul M_j al domeniului D (fig. 5.3)

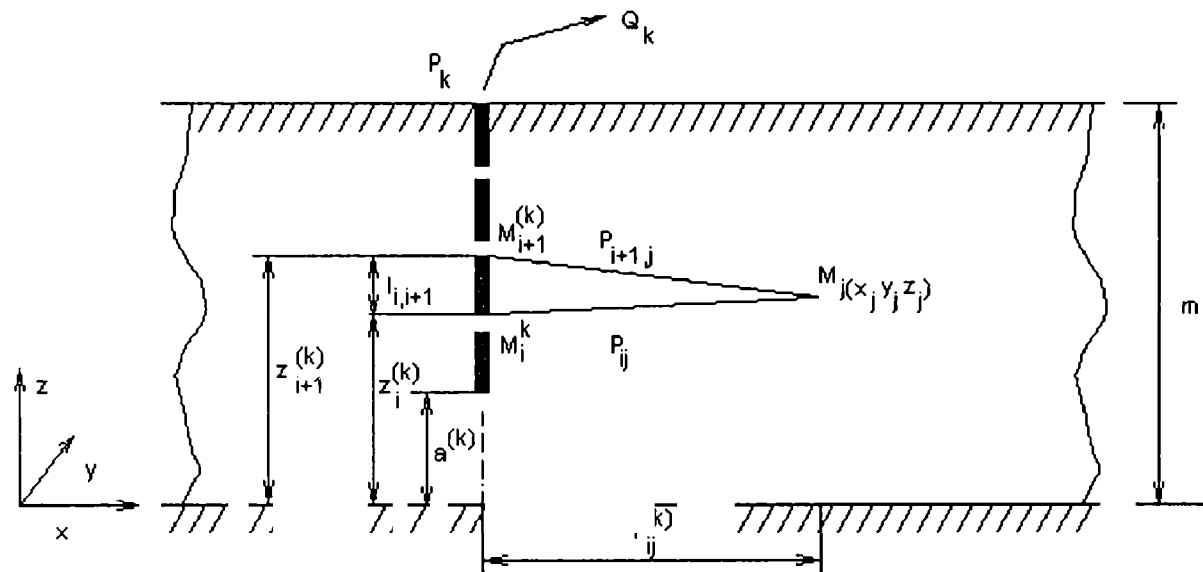


Fig. 5.3 Modul de discretizare al puțurilor imperfecte

Aplicând metoda imaginilor, ceea ce înseamnă oglindirea sursei liniare față de planurile de limitare inferioare și superioare a acviferului pentru $z = 0$ și $z = m$ și calculând suma pentru toate elementele, valoarea potențialului (a înălțimii piezometrice) generată de puțurile imperfecte P_K , $K = 1, 2, \dots, N_p$ într-un punct al domeniului are următoarea formă:

$$h(M_j) = \sum_{K=1}^{N_p} \sum_{i=1}^{N^{(K)}-1} \frac{q_i}{T} A_{j,i}^{(P_K)} + c \quad (5.3)$$

unde T reprezintă transmisivitatea stratului acvifer $T = k_f m$, $N^{(K)}$ reprezintă numărul de noduri aferente puțului P_K , și $A_{ji}^{(P_K)}$ reprezintă coeficienții de pondere al elementului $(M_i^{(K)}, M_{i+1}^{(K)})$, element constituint al puțului P_K . Formula de calcul pentru $A_{ji}^{(P_K)}$ este prezentată în relația 5.4 unde N_o reprezintă numărul de oglindiri. Funcțiile F sunt date de relațiile de calcul prezentată în 5.5 și 5.6.

$$A_{j,i}^{(P_K)} = \frac{m}{4\pi} \left\{ \sum_{n=1}^{N_o} \left[F(\rho_{i,j}^{(+)(0)(K)}, \rho_{i+1,j}^{(+)(0)(K)}, l_{i,i+1}^{(K)}) + F(\rho_{i,j}^{(-)(0)(K)}, \rho_{i+1,j}^{(-)(0)(K)}, l_{i,i+1}^{(K)}) + \right. \right. \\ \left. \left[F(\rho_{i,j}^{(+)(n)(K)}, \rho_{i+1,j}^{(+)(n)(K)}, l_{i,i+1}^{(K)}) + F(\rho_{i,j}^{(-)(n)(K)}, \rho_{i+1,j}^{(-)(n)(K)}, l_{i,i+1}^{(K)}) + \right. \right. \\ \left. \left[F(\rho_{i,j}^{(+)(-n)(K)}, \rho_{i+1,j}^{(+)(-n)(K)}, l_{i,i+1}^{(K)}) + F(\rho_{i,j}^{(-)(-n)(K)}, \rho_{i+1,j}^{(-)(-n)(K)}, l_{i,i+1}^{(K)}) \right] \right\} \quad (5.4)$$

$$\left[\frac{l_{i,i+1}^{(K)}}{2m} \left[F(\rho_{\tilde{i},j}^{(+)(N_o)(K)}, \rho_{\tilde{i},j}^{(-)(-N_o)(K)}, l_{\tilde{i},\tilde{i}}^{(+)(N_o)(K)}) + \right. \right. \\ \left. \left. F(\rho_{\tilde{i},j}^{(+)(-N)(K)}, \rho_{\tilde{i},j}^{(-)(N_o)(K)}, l_{\tilde{i},\tilde{i}}^{(-)(N_o)(K)}) \right] + \frac{2l_{i,i+1}^{(K)}}{m} F_{j,i\infty} \right]$$

unde:

$$F\left(\rho_{i,j}^{(0)}(K), \rho_{i+1,j}^{(0)}(K), l_{i,j+1}^{(0)}\right) = \ln \frac{\rho_{i,j}^{(0)} + \rho_{i+1,j}^{(0)} - l_{i,j+1}^{(0)}}{\rho_{i,j}^{(0)} + \rho_{i+1,j}^{(0)} + l_{i,j+1}^{(0)}} \quad (5.5)$$

$$F_{j|\infty} = \ln \frac{r_j^{(K)}}{m} \quad (5.6)$$

$$\begin{aligned} \rho_{i,j}^{(\pm)(0)(K)} &= \sqrt{\left(r_{i,j}^{(K)}\right)^2 + \left(z_j m z_i^{(K)}\right)^2} & ; & \quad \rho_{i,j}^{(\pm)(n)(K)} = \sqrt{\left(r_{i,j}^{(K)}\right)^2 + \left(2nm \pm z_i^{(K)} - z_j\right)^2} \\ \rho_{i,j}^{(\pm)(-n)(K)} &= \sqrt{\left(r_{i,j}^{(K)}\right)^2 + \left(-2nm \pm z_i^{(K)} - z_j\right)^2} & ; & \quad \rho_{i,j}^{(0)(0)(K)} = \sqrt{\left(r_{i,j}^{(K)}\right)^2 + z_j^2} \\ \rho_{i,j}^{(\mp)(-N_0)(K)} &= \sqrt{\left(r_{i,j}^{(K)}\right)^2 + \left[-(2N_0 + 1)m \mp \frac{z_i^{(K)} + z_{i+1}^{(K)}}{2}\right]^2} & ; & \\ \rho_{i,j}^{(\pm)(-N_0)(K)} &= \sqrt{\left(r_{i,j}^{(K)}\right)^2 + \left[(2N_0 + 1)m \pm \frac{z_i^{(K)} + z_{i+1}^{(K)}}{2} - z_j\right]^2} & ; & \\ l_{i,j}^{(\pm)(N_0)(K)} &= (2N_0 + 1)m \pm \frac{z_i^{(K)} + z_{i+1}^{(K)}}{2} & ; & \\ r_{i,j}^{(K)} &= \sqrt{\left(x_i^{(K)} - x_j\right)^2 + \left(y_i^{(K)} - y_j\right)^2} & ; & \end{aligned} \quad (5.7)$$

Calculul termenilor $\rho_{i,j}^{(0)}(K)$ și $l_{i,j}^{(0)}(K)$ se va face identic ca și în cazul calculului lui $\rho_{i,j}^{(0)}(K)$ și $l_{i,j+1}^{(0)}(K)$ cu deosebirea că se vor lua în considerare valorile medii iar $\rho_{i+1,j}^{(0)}(K)$ se va calcula tot cu aceeași relație înlocuind pe $z_i^{(K)}$ cu $z_{i+1}^{(K)}$.

În cazul când se iau în considerare și pierderile interioare în puț, cazul înnisipării se consideră mișcarea din interiorul puțului în condițiile când acesta este plin cu nisip pierderea de sarcină pentru un element $j, j+1$, al puțului se calculează cu relația:

$$\Delta h_j = \left(Q_{put} - \sum_{i=1}^{j-1} q_i l_i + q_j \frac{l_j}{2} \right) \lambda l_j \quad (5.8)$$

unde valoarea coeficientului λ are expresia:

$$\lambda = \frac{k_f m}{k_0 A} \quad (5.9)$$

Semnificația mărimilor din relații fiind următoarea:

m - grosimea stratului acvifer;

k_f - coeficientul de filtrație al stratului acvifer;

k_0 - coeficientul de filtrație al materialului (nisipului) din interiorul puțului;

A - aria secțiunii puțului $A = \pi r_0^2$;

Q - debitul extras din puț;

q_i - debitul infiltrat în puț

Calculul trebuie să se efectueze iterativ pornindu-se de la o valoare dată a potențialului puțului. Introducerea pierderilor se realizează prin intermediul condițiilor la limită și anume H_0 în puț. Valoarea nouă calculată a potențialului se calculează ținând cont de pierderea de sarcină calculată anterior pentru fiecare element al puțului:

$$H_{nou} = H_{vechi} - \left(\sum_{i=n}^{i=j+1} \Delta h_i + \frac{\Delta h_j}{2} \right) \quad (5.10)$$

Această iterație este necesară deoarece Δh_j este dependentă de distribuția debitului " q_i " de-a lungul puțului 5.8 necunoscută apriori.

5.4 Alcătuirea sistemului de ecuații pentru reprezentările generale

Analizând la bază reprezentările integrale indirecte 5.1a, 5.1b prezentate în cadrul subcapitolului 5.2 prin trecere la limită și utilizând condițiile la limită (pe frontieră și pe obiectele sistemului de captare) se obține un sistem de ecuații integrale.

Trecând în continuare la discretizare cu:

N_1 – numărul de noduri pentru conturul general;

N_3 – numărul de noduri pentru liniile de drenaj;

N_4 – numărul de puțuri cu debit cunoscut;

N_5 – numărul de puțuri cu potențial cunoscut;

N_6 – numărul de subdomenii cu precipitații date;

$M_{(v)}$ – numărul de elemente al subdomeniului k ;

N_7 – numărul de puțuri imperfecte;

N_8 – numărul total de elemente ale puțurilor imperfecte

Ecuațiile integrale conduc la un sistem de ecuații liniare care are următoarea formă generală:

- Ecuatiile pentru elemente de frontieră $P_j - P_{j+1}$ cu potențial cunoscut $H = H_{0j}$:

$$\sum_{i=1}^{N_1} a_j \frac{\psi_i}{TS_0} + \frac{\psi_j}{TS_0} a_j + \sum_{i=1}^{N_5} \lambda_j \frac{Q_i}{TS_0} + \sum_{k=1}^{N_7} a_j \frac{q_i}{TS_0} + \sum_{i=1}^{N_7} s_j \frac{q_i}{TS_0} + \sum_{v=1}^{N_6} \frac{\varepsilon_v}{TS_0} \sum_{k=1}^{M_v} c_j - \sum_{i=1}^{N_4} \lambda_j \frac{Q_i}{TS_0} + c = \frac{H_j}{S_0} \quad (5.11)$$

- Ecuatiile pentru elemente de frontieră $P_j - P_{j+1}$ cu flux cunoscut $\Delta Q_{j,j+1}$:

$$\sum_{i=1}^{N_1} b_j \frac{\psi_i}{TS_0} - \frac{1}{2} \frac{\psi_j}{TS_0} + \sum_{i=1}^{N_5} \mu_j \frac{Q_i}{TS_0} + \sum_{i=1}^{N_3} b_j \frac{q_i}{TS_0} + \sum_{k=1}^{N_7} l_j \frac{q_i}{TS_0} + \sum_{v=1}^{N_6} \frac{\varepsilon_v}{TS_0} \sum_{i=1}^{M_v} d_j + \sum_{i=1}^{N_4} \mu_j \frac{Q_i}{TS_0} = \frac{\Delta Q_{j,j+1}}{TS_{0j,j+1}} \quad (5.12)$$

- Ecuatiile pentru puțuri cu potențial cunoscut H_{Wj} :

$$\sum_{i=1}^{N_1} a_j \frac{\psi_i}{TS_0} + \sum_{i=1}^{N_5} f_j \frac{Q_i}{TS_0} + f_j \frac{Q_j}{TS_0} + \sum_{i=1}^{N_5} a_j \frac{q_i}{TS_0} + \sum_{k=1}^{N_7} s_j \frac{q_i}{TS_0} + \sum_{v=1}^{N_6} \frac{\varepsilon_v}{TS_0} \sum_{k=1}^{M_v} c_{jk} - \sum_{i=1}^{N_4} f_j \frac{Q_i}{TS_0} + c = \frac{H_{Wj}}{S_0} \quad (5.13)$$

- Ecuatiile pentru linii de drenaj cu potențial cunoscut $H = H_1$:

$$\sum_{i=1}^{N_1} a_j \frac{\psi_i}{TS_0} + \sum_{i=1}^{N_5} \lambda_j \frac{Q_i}{TS_0} + \sum_{i=1}^{N_3} a_j \frac{q_i}{TS_0} + a_j \frac{q_j}{TS_0} + \sum_{k=1}^{N_7} s_j \frac{q_i}{TS_0} + \sum_{v=1}^{N_6} \frac{\varepsilon_v}{TS_0} \sum_{k=1}^{M_v} c_{jk} - \sum_{i=1}^{N_4} \lambda_j \frac{Q_i}{TS_0} + c = \frac{H_1}{S_0} \quad (5.14)$$

- Ecuatiile pentru puțurile imperfecte cu potențial cunoscut $H = H_j$:

$$\sum_{i=1}^{N_1} a_j \frac{\psi_i}{TS_0} + \sum_{i=1}^{N_5} \lambda_j \frac{Q_i}{TS_0} + \sum_{i=1}^{N_3} a_j \frac{q_i}{TS_0} + \sum_{k=1}^{N_7} s_j \frac{q_i}{TS_0} + \sum_{v=1}^{N_6} \frac{\varepsilon_v}{TS_0} \sum_{k=1}^{M_v} c_{jk} - \sum_{i=1}^{N_4} \lambda_j \frac{Q_i}{TS_0} + c = \frac{H_j}{S_0} \quad (5.15)$$

- Ecuatia de bilanț:

$$\sum_{i=1}^{N_1} l_{i,i+1} \frac{\psi_i}{TS_0} + \sum_{i=1}^{N_5} \frac{Q_i}{TS_0} + \sum_{i=1}^{N_3} l_{i,i+1} \frac{q_i}{TS_0} + \sum_{k=1}^{N_7} l_{i,i+1} \frac{q_i}{TS_0} + c = \sum_{i=1}^{N_6} \varepsilon_i A_i - \sum_{i=1}^{N_4} \frac{Q_i}{TS_0} \quad (5.16)$$

Fig. 5.4 Ecuatiile constituente ale sistemului final de ecuații

Expresia coeficienților care intervin în alcătuirea acestor ecuații este următoarea:

$$a_j = \frac{r_i^{(j)}}{2\pi} \left[\left(\ln \frac{r_i^{(j)}}{r_0} - 1 \right) \cos \alpha_i^{(j)} + \left(\frac{\pi}{2} - \alpha_i^{(j)} \right) \sin \alpha_i^{(j)} \right] + \frac{r_{i+1}^{(j)}}{2\pi} \left[\left(\ln \frac{r_{i+1}^{(j)}}{r_0} - 1 \right) \cos \alpha_{i+1}^{(j)} + \left(\frac{\pi}{2} - \alpha_{i+1}^{(j)} \right) \sin \alpha_{i+1}^{(j)} \right] \quad (5.17)$$

$$b_j = \frac{1}{2\pi} (\alpha_i^j + \alpha_{i+1}^j - \pi) \cos \theta_j + \frac{1}{2\pi} \sin \theta_j \ln \left| \frac{\sin \alpha_{i+1}^{(j)}}{\sin \alpha_i^{(j)}} \right| \quad (5.18)$$

$$\theta_j = \alpha_{j,j+1} - \alpha_{i,i+1} \quad (5.19)$$

$$\mu_j = \frac{1}{2\pi} \frac{(x_j - x_i) \sin \alpha_{j,j+1} - (y_j - y_i) \cos \alpha_{j,j+1}}{(x_j - x_i)^2 + (y_j - y_i)^2} \quad (5.20)$$

$$r_i^{(j)} = \sqrt{\left(x_i - \frac{x_j - x_{j+1}}{2} \right)^2 + \left(y_i - \frac{y_j - y_{j+1}}{2} \right)^2} \quad (5.21)$$

$$c_{jk} = \frac{(r_k^{(j)} \sin \alpha_k^{(j)})^2}{4\pi} \left[\left(\ln \frac{r_k^{(j)}}{r_0} - \frac{3}{2} \right) \operatorname{ctg} \alpha_k^{(j)} + \frac{\pi}{2} - \alpha_k^{(j)} \right] + \frac{(r_{k+1}^{(j)} \sin \alpha_{k+1}^{(j)})^2}{4\pi} \left[\left(\ln \frac{r_{k+1}^{(j)}}{r_0} - \frac{3}{2} \right) \operatorname{ctg} \alpha_{k+1}^{(j)} + \frac{\pi}{2} - \alpha_{k+1}^{(j)} \right] \quad (5.22)$$

$$d_{jk} = \frac{r_k^{(j)}}{2\pi} \left| \sin \alpha_k^{(j)} \right| \left[\sin \theta_{kj} \ln \frac{r_k^{(j)}}{r_{k+1}^{(j)}} + (\alpha_k^{(j)} + \alpha_{k+1}^{(j)} - \pi) \cos \theta_{kj} \right] \quad (5.23)$$

$$\alpha_i^j = \begin{cases} |\alpha_y - \alpha_{i,i+1}| & \text{pentru } |\alpha_y - \alpha_{i,i+1}| \leq \pi \\ 2\pi - |\alpha_y - \alpha_{i,i+1}| & \text{pentru } |\alpha_y - \alpha_{i,i+1}| > \pi \end{cases} \quad (5.24)$$

$$\lambda_{\tilde{y}} = \frac{1}{2\pi} \ln \sqrt{(x_i - x_{\tilde{y}})^2 + (y_i - y_{\tilde{y}})^2} \quad (5.25)$$

$$x_{\tilde{y}} = \frac{x_j + x_{j+1}}{2} ; \quad y_{\tilde{y}} = \frac{y_j + y_{j+1}}{2} \quad (5.26)$$

$$f_{\tilde{y}} = \frac{1}{2\pi} \ln \sqrt{(x_i - x_j)^2 + (y_i - y_j)^2} ; \quad f_{\tilde{y}} = \frac{1}{2\pi} \ln \frac{d_0}{2} \quad (5.27)$$

$$S_{j,i}^{(P_K)} = \frac{T}{4\pi} \left\{ \frac{I_{i,i+1}^{(K)}}{2T} [F(\rho_{\tilde{y},j}^{(0)(0)(K)}, \rho_{N,j}^{(+)(N)(K)}, I_{\tilde{y},N}^{(+)(K)}) + F(\rho_{\tilde{y},j}^{(0)(0)(K)}, \rho_{N,j}^{(-)(N)(K)}, I_{\tilde{y},N}^{(-)(K)})] + \frac{2I_{i,i+1}^{(K)}}{T} F_{j,i\infty} \right\} - \left\{ F(\rho_{i,j}^{(+)(0)(K)}, \rho_{i+1,j}^{(+)(0)(K)}, I_{i,i+1}^{(K)}) + F(\rho_{i,j}^{(-)(0)(K)}, \rho_{i+1,j}^{(-)(0)(K)}, I_{i,i+1}^{(K)}) + \sum_{n=1}^N [F(\rho_{i,j}^{(+)(n)(K)}, \rho_{i+1,j}^{(+)(n)(K)}, I_{i,i+1}^{(K)}) + F(\rho_{i,j}^{(-)(n)(K)}, \rho_{i+1,j}^{(-)(n)(K)}, I_{i,i+1}^{(K)})] \right\}$$

$$I_{j,i}^{(P,K)} = \frac{T}{4\pi} \left\{ \begin{aligned} & G(\rho_{i,j}^{(+)(0)(K)}, \rho_{i+1,j}^{(+)(0)(K)}, I_{i,i+1}^{(K)}) + G(\rho_{i,j}^{(-)(0)(K)}, \rho_{i+1,j}^{(-)(0)(K)}, I_{i,i+1}^{(K)}) + \\ & \sum_{n=1}^N \left[G(\rho_{i,j}^{(+)(n)(K)}, \rho_{i+1,j}^{(+)(n)(K)}, I_{i,i+1}^{(K)}) + G(\rho_{i,j}^{(-)(n)(K)}, \rho_{i+1,j}^{(-)(n)(K)}, I_{i,i+1}^{(K)}) + \right. \\ & \left. G(\rho_{i,j}^{(+)(-n)(K)}, \rho_{i+1,j}^{(+)(-n)(K)}, I_{i,i+1}^{(K)}) + G(\rho_{i,j}^{(-)(-n)(K)}, \rho_{i+1,j}^{(-)(-n)(K)}, I_{i,i+1}^{(K)}) \right] - \\ & \frac{I_{i,i+1}^{(K)}}{2T} \left[G(\rho_{i,j}^{(0)(0)(K)}, \rho_{N,j}^{(+)(N)(K)}, I_{i,N}^{(K)}) + G(\rho_{i,j}^{(0)(0)(K)}, \rho_{N,j}^{(-)(N)(K)}, I_{i,N}^{(K)}) \right] + \frac{2I_{i,i+1}^{(K)}}{T} G_{j,i\alpha} \end{aligned} \right\}$$

$$F(\rho_{i,j}^{(\pm)(0)(K)}, (\pm)(0)(K), I_{i,i+1}^{(K)}) = \ln \frac{\rho_{i,j}^{(\pm)(0)(K)} + \rho_{i+1,j}^{(\pm)(0)(K)} - I_{i,i+1}^{(K)}}{\rho_{i,j}^{(\pm)(0)(K)} + \rho_{i+1,j}^{(\pm)(0)(K)} + I_{i,i+1}^{(K)}} \quad (5.30)$$

$$F_{j,i\alpha} = \ln \frac{r_{ij}^{(K)}}{m} \quad (5.31)$$

$$\rho_{i,j}^{(\pm)(0)(K)} = \sqrt{\left(r_{i,j}^{(K)} \right)^2 + \left(z_j m z_i^{(K)} \right)^2} \quad ; \quad \rho_{i,j}^{(\pm)(n)(K)} = \sqrt{\left(r_{i,j}^{(K)} \right)^2 + \left(2nm \pm z_i^{(K)} - z_j \right)^2} \quad ; \quad (5.32)$$

$$\rho_{i,j}^{(\pm)(-n)(K)} = \sqrt{\left(r_{i,j}^{(K)} \right)^2 + \left(-2nm \pm z_i^{(K)} - z_j \right)^2} \quad ; \quad \rho_{i,j}^{(0)(0)(K)} = \sqrt{\left(r_{i,j}^{(K)} \right)^2 + z_j^2} \quad ;$$

$$\rho_{i,j}^{(\pm)(-N_0)(K)} = \sqrt{\left(r_{i,j}^{(K)} \right)^2 + \left[(2N_0 + 1)m \pm \frac{z_i^{(K)} + z_{i+1}^{(K)}}{2} - z_j \right]^2} \quad ;$$

$$I_{i,i}^{(\pm)(N_0)(K)} = (2N_0 + 1)m \pm \frac{z_i^{(K)} + z_{i+1}^{(K)}}{2} \quad ;$$

$$r_{i,j}^{(K)} = \sqrt{\left(x_i^{(K)} - x_j \right)^2 + \left(y_i^{(K)} - y_j \right)^2} \quad ;$$

Calculul termenilor $\rho_{i,j}^{(k)}$ și $I_{i,j}^{(k)}$ se va face identic ca și în cazul calculului lui $\rho_{i,j}^{(k)}$ și $I_{i,j+l}^{(k)}$ cu deosebirea că se vor lua în considerare valorile medii iar $\rho_{i+l,j}^{(k)}$ se va calcula tot cu aceeași relație înlocuind pe $z_i^{(k)}$ cu $z_{i+l}^{(k)}$.

În final numărul de ecuații al sistemului este:

$$dim = N_1 + (N_3^k - 1) + N_4 + N_5 + \sum_{k=1}^{N_7} (N_8^k - 1) + \sum_{k=1}^N (M_v - 1) + 1 \quad (5.33)$$

Forma finală matriceală a sistemului de ecuații este:

$$\begin{pmatrix} a_{11} & a_{12} & a_{13} & & a_{1dim} \\ a_{21} & a_{22} & a_{23} & & a_{2dim} \\ & & \vdots & & \vdots \\ & & & & \vdots \\ a_{dim1} & a_{dim2} & a_{dim3} & \dots & a_{1dim} \end{pmatrix} \times \begin{pmatrix} \varphi_1 \\ \varphi_2 \\ \vdots \\ \varphi_{dim} \end{pmatrix} = \begin{pmatrix} B_1 \\ B_2 \\ \vdots \\ B_{dim} \end{pmatrix} \quad (5.34)$$

Prin rezolvarea numerică a sistemului de ecuații se obțin următoarele necunoscute:

- valorile funcției de distribuție ψ_j pentru fiecare element de frontieră;
- valorile Q_k pentru puțurile cu potențial cunoscut;
- valorile q_j corespunzătoare elementelor liniilor de drenaj;
- valorile q_j corespunzătoare elementelor puțurilor imperfecte;
- valoarea constantei c .

Pentru calculul potențialului $h_{(P)}$ într-un punct $P(x_P, y_P, z_P)$ din interiorul domeniului se va folosi relația:

$$h(P) = \sum_{j=1}^{N_1} a_{jP} \varphi_j + \sum_{j=1}^{N_4} d_{jP} + \sum_{j=1}^{N_5} c_{jP} \varphi_j + \sum_{k=1}^{N_2} \sum_{j=1}^{N_3-1} a_{jP} \varphi_j + \sum_{k=1}^{N_7} \sum_{j=1}^{N_8-1} s_{jP} \varphi_j + \varphi_j \quad (5.35)$$

unde:

$$c_{jP} = \frac{1}{2\pi} \ln \sqrt{(x_j - x_P)^2 + (y_j - y_P)^2} \quad (5.36)$$

Aceste baze teoretice și reprezentări [31] au stat la baza programului MEFRO elaborat în cadrul tezei, constituind de altfel contribuția de bază din teză.

PRINCIPII DE BAZĂ FOLOSITE LA ELABORAREA PROGRAMULUI MEFRO

6.1 Limbaje de programare. Generalități.

Limbajele de programare sunt mijloace de comunicare între utilizator și sistemul de calcul. Prin intermediul lor programatorul transmite calculatorului ordinele necesare pentru executarea anumitor operații. De aceea, el se numește limbaj de programare. Descrierea cu ajutorul unui limbaj de programare a etapelor necesare rezolvării unei anumite probleme se numește program.

Limbajul de programare este un limbaj artificial, care ține cont de limitările calculatorului, și de interesele programatorului, adică de operațiile pe care calculatorul le poate realiza, pe de o parte, și de raționamentele pe care programatorul le face pentru rezolvarea problemelor sale, pe de altă parte.

Evoluția limbajelor de programare [16], [48] este caracterizată de modificarea gradului de satisfacere a celor două categorii de cerințe, fiind evidentă tendința de apropiere a exprimării programelor de limbajul natural și de operațiile specifice raționamentului uman.

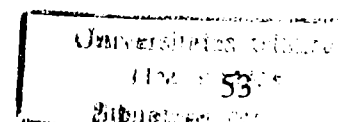
Este cunoscut faptul că un calculator nu ”cunoaște” decât un singur limbaj – limbajul calculatorului, cod mașină. Primele generații de calculatoare erau programate direct în cod-mașină, lucru care era deosebit de dificil de realizat.

Primul pas în evoluția limbajelor de programare l-a reprezentat limbajul de asamblare care are o legătură directă cu limbajul calculatorului, fiecare instrucțiune fiind corespondenta unei operații elementare a calculatorului.

Correspondența directă între instrucțiunile limbajului de programare și codul mașină a fost abandonată prin introducerea limbajelor de nivel înalt.

Pentru aceasta, programul compilator traduce fiecare instrucțiune a limbajului de nivel înalt într-un grup de instrucțiuni mașină care au același efect. Programele scrise în limbajul simbolic de nivel înalt se numesc programe sursă, iar limbajul lor, limbaj sursă. Programele rezultate din traducere se numesc programe obiect, iar limbajul lor, limbaj obiect.

Uneori limbajul obiect nu coincide cu limbajul calculatorului, fiind o formă intermediară între acesta și limbajul sursă. În astfel de cazuri, între compilare și execuție se interpune o fază suplimentară, numită editare de legături.



În evoluția limbajelor de programare există câteva repere care trebuie menționate: anul 1955 marchează apariția limbajului FORTRAN, destinat calculelor tehnico-științifice cu caracter numeric.

Un alt punct de referință în evoluția limbajelor de programare simbolice este anul 1960 care marchează apariția limbajului ALGOL-60, a cărui definiție se remarcă prin precizie și o sintaxă complet formalizată.

Între anii 1960-1970 au apărut multe limbaje de programare de nivel superior. Unele din acestea fiind specializate pe anumite clase de probleme, altele universale. Unele dintre aceste programe pot descrie orice fel de prelucrări. Totuși, se constată faptul că unele prelucrări se descriu mult mai ușor într-un limbaj decât în altul, putându-se distinge limbaje orientate spre prelucrări numerice, spre prelucrări nenumerice, spre prelucrări în timp real etc.

Anul 1970 a fost marcat de către crearea limbajului C de către Dennis M. Ritchie și Brian W. Kerningham de la Bell Laboratories, New Jersey, fiind inițial destinat scrierii unei părți a sistemului de operare UNIX.

Limbajul C este un limbaj de nivel înalt, orientat către aplicații așa cum sunt aproape toate limbajele independente de calculator: FORTRAN, PASCAL etc.

Limbajul C împreună cu funcțiile sale de bibliotecă oferă programatorilor acces la mașină și la facilitățile sistemului de operare mai mult decât oricare limbaj de programare independent de mașină, prin aceste caracteristici fiind un limbaj pentru profesioniști care au drept profesie realizarea de produse program.

Față de limbajul PASCAL, limbajul C simulează mai mult programarea modulară, prin utilizarea de funcții mici, repartizate în unul sau mai multe fișiere sursă, precum și prin folosirea unor biblioteci de module sursă sau obiect.

Apariția limbajului PASCAL definit în 1971 de Niklaus Wirth [60] este un rezultat al conceptelor dezvoltate ca urmare a crizei care a caracterizat programarea la sfârșitul anilor 60, când problemele abordate au devenit din ce în ce mai complexe. Astfel, programele construite pentru rezolvarea acestor probleme au devenit atât de complexe încât au început să ridice o serie de probleme chiar și pentru creatorii lor. S-a impus astfel din ce în ce mai clar o "disciplină a programării" care a condus la metoda programării structurate.

6.2 Programarea structurată. Metoda programării structurate. Structuri de date

Un program structurat este format din unități funcționale bine conturate, ierarhizate conform problemei. În interiorul unei astfel de unități, structurarea se manifestă atât la nivelul instrucțiunilor cât și la nivelul datelor.

Programarea structurată este o metodă independentă de limbajul de programare, ea acționând la nivelul stilului de lucru. Metoda programării structurate [60] implică în primul rând principiul de programare "de sus în jos" – adică descompunerea programului în elemente logice independente, numite module, fiecare modul având o funcție bine definită în cadrul programului.

Un alt principiu al programării structurate derivă din teorema lui Böhm și Jacopini care arată că orice organigramă se poate construi folosind doar trei tipuri de structuri de control: secvențială (secvența), alternativă (decizia), repetitivă (inelul).

Implementarea cea mai spectaculoasă aparține firmei Borland, [19] care ulterior prin compilatoarele Turbo Pascal, și ulterior Borland Pascal a revoluționat pur și simplu domeniul, atât prin performanțele intrinseci ale compilatorului, cât și prin ușurința de verificare a acestuia.

6.2.1 Structuri de date tip listă liniară.

Lista liniară este o structură dinamică în care toate elementele sunt de același tip, se află concomitent în memorie și între ele există o relație de ordine[17]. Uneori, după natura programului, sau în conformitate cu cerințele impuse, numărul elementelor poate varia, ceea ce însă nu este cazul în cadrul programului MEFRO.

Lista se poate defini ca fiind o secvență de mai multe elemente de un anumit tip, numit tip de bază.

Proprietatea listei o reprezintă faptul că elementele pot fi ordonate liniar în funcție de poziția lor în cadrul listei astfel:

- a_i precede pe a_{i+1} , $i = 1, 2, \dots, n-1$;
- a_i succede pe a_{i-1} , $i = 2, 3, \dots, n$;
- elementul i se află pe a i -a poziție.

Lista liniară în principiu este o structură dinamică de date, ea putând fi implementată dinamic numai în limbajele de programare care posedă mecanismul de alocare dinamică a memoriei.

6.2.2 Tipuri de referință (pointer). Alocarea dinamică a memoriei.

În limbajul Pascal pot fi definite structuri complexe pornind de la tipurile simple. Un astfel de caz este de exemplu cazul tabloului. Tabloul reprezintă o mulțime finită și ordonată de elemente de același tip, care are asociat un nume, fiecare element al mulțimii fiind identificat prin intermediul numelui tabloului și al unuia sau mai multor indici de tip ordinal.

De exemplu tabloul pentru un puț:

```
Type
  matrice_put = Array[1..30,1..30] of Real;
```

Problema esențială este însă faptul că acest tip limitează numărul maxim de elemente permise deoarece tabloul este format dintr-un număr finit de elemente făcând parte în acest fel din cadrul structurilor de date statice cărora li se alocă spațiu pe parcursul compilării.

Pentru evitarea numărului de elemente din cadrul unei mulțimi limbajul Borland Pascal permite utilizarea structurilor de date dinamice. Într-o astfel de structură ocuparea spațiului de memorie nu este cunoscută în momentul compilării programului, deoarece, pe măsură ce acesta se execută, spațiul ocupat de memorie poate să crească sau să scadă.

Structurile dinamice neavând nume, sunt accesibile prin intermediul altor variabile, care conțin adresele lor, și în felul acesta "le indică". Aceste variabile se numesc pointeri și formează tipul de referință (tipul pointer). Variabilele de tip pointer sunt variabile statice obișnuite și au ca valori adrese, care pot fi adresele de început ale unor structuri dinamice sau a unei componente a unei asemenea structuri. Prin urmare accesul la o variabilă dinamică, indicată de o variabilă pointer se realizează prin adresarea indirectă a variabilei pointer.

Variabila dinamică indicată de o variabilă pointer, se va referi, nu printr-un nume propriu, ci prin intermediul pointerului său.

Exemplu: **P** – variabilă pointer;
 P[^] - variabilă dinamică indicată de pointerul P.

În cadrul programului MEFRO, definirea conturului domeniului și a celorlalte elemente s-a făcut utilizând structurile dinamice de date.

```
PContur = ^TContur;
TContur = Object
  TipNod      : string[8];
  Abscisa     : string[8];
  Ordonata    : string[8];
  Potential   : string[8];
  urm,ant     : PContur;
end;
```

unde *PContur* reprezintă tipul pointerului.

Alocarea memoriei pentru o structură dinamică se realizează cu ajutorul instrucțiunii *New* care are un singur parametru de tip pointer.

6.2.3 Structuri de date folosite pentru conturul domeniului în cadrul programului MEFRO.

Utilitatea tipului pointer devine evidentă în cazul structurilor de date dinamice înlănțuite, structuri care în general se definesc recursiv.

Înlănțuirea se pune în evidență cu ajutorul unor *informații de legătură* care la rândul lor pot fi memorate în unul sau mai multe câmpuri ale articolului care conține informațiile atașate unui element al listei. Evident, *informațiile propriu-zise* atașate nodurilor pot fi memorate de asemenea în unul sau mai multe câmpuri ale unei înregistrări sau ale unui obiect.

Informații propriu-zise	Informații de legătură
-------------------------	------------------------

```
PContur = ^TContur;  
TContur = Object  
  TipNod      : string[8];  
  Abscisa     : string[8];  
  Ordonata    : string[8];  
  Potential   : string[8];  
  urm, ant    : PContur;  
end;
```

Orice element constituint al listei care definește de fapt conturul domeniului conține astfel informațiile utile sau informațiile propriu-zise și informațiile de legătură, doi pointeri de înlănțuire la elementul anterior și la elementul următor.

6.2.4 Caracterul de listă dublu înlănțuită

Lista astfel creată are particularitatea de a fi listă dublu înlănțuită , întrucât în meniul de editare este nevoie ca ea să fie parcursă în ambele sensuri, atât înainte cât și înapoi (adică atât de la primul element spre ultimul cât și invers). În acest sens informația de legătură pe care o are un element al listei conține un pointer care indică următorul element din listă dar și un al doilea pointer care să indice elementul anterior (elementul care se află înaintea elementului considerat curent).

Inserarea la începutul listei, se face folosind procedura *Conturprim*:

```
Procedure Conturprim;  
Begin  
  Pct:=nil;  
  New(Qct);  
  Pct:=Qct;  
  Pct^.ant:=nil;  
  Qct^.urm:=nil;  
  Str(Tip,          Qct^.TipNod);  
  Str(x:8:3,       Qct^.Abscisa);  
  Str(y:8:3,       Qct^.Ordonata);  
  Str(potential:8:3,Qct^.Potential);  
end;
```

În cadrul acestei proceduri s-au folosit următoarele notații:

Pct – variabilă tip pointer care indică primul element al listei;
Qct – variabilă de lucru de tip pointer.

Secvența de inserarea la începutul listei este prezentată în cadrul procedurii efectul instrucțiunilor fiind următorul:

- prima instrucțiune realizează alocarea dinamică a spațiului necesar câmpurilor primului element și inițializarea pointerului Qct cu adresa acestui primului element element al listei;
- a doua instrucțiune modifică conținutul pointerului Pct astfel încât el să indice nodul inserat;
- a treia și a patra instrucțiune realizează legătura dintre elementul inserat în listă și cel anterior respectiv cel următor
- următoarele instrucțiuni realizează inițializarea câmpurilor cu informații referitoare la primul element al frontierei.

Inserarea restului de elemente ale listei astfel începute, se face prin intermediul procedurii Conturrest.

```
Procedure Conturrest;  
Begin  
  New(Rct);  
  Rct^.urm:=nil;  
  Rct^.ant:=Qct;  
  Qct^.urm:=Rct;  
  Str(Tip,           Rct^.TipNod);  
  Str(x:8:3,        Rct^.Abscisa);  
  Str(y:8:3,        Rct^.Ordonata);  
  Str(potential:8:3,Rct^.Potential);  
  Qct:=Rct;  
end;
```

Apelând această procedură se inserează în cadrul listei toate celelalte elemente ale listei elementelor de frontieră.

6.2.5 Programarea orientată spre obiecte.

Una din tendințele naturale în evoluția limbajelor de programare este de a pune în corespondență obiecte ale problemei studiate cu reprezentări cât mai fidele la nivelul limbajului. În acest sens un obiect cum este frontiera unui domeniu care are în compunerea sa noduri de diferite tipuri cu potențial sau flux cunoscut funcție de condițiile de margine pot fi reprezentate printr-o înregistrare de câmpuri de diferite tipuri sau printr-un tablou.

Modul de reprezentare menționat mai sus, înregistrarea și tabloul sunt, dintr-un anumit punct de vedere însă incomplete. Ele nu pot însă evidenția anumite valori funcție de diverși parametrii.

Limbajele orientate spre obiecte elimină aceste neajunsuri. Primul limbaj orientat spre obiecte, Simula, a fost dezvoltat la mijlocul anilor 60. Atât el cât și următorul sistem reprezentativ pentru programarea orientată spre obiecte, Smalltalk-80 nu au cunoscut o răspândire semnificativă până în anii 80. Parțial aceasta s-a datorat și absenței unor procesoare puternice care să satisfacă cerințele de performanță. Odată cu ameliorarea suportului tehnologic, limbajele orientate spre obiecte au fost acceptate de tot mai mulți programatori, apărând totodată și alte limbaje orientate spre obiecte ca C++, Turbo Pascal 6.0 sau Borland Pascal 7.0.

Programarea orientată spre obiecte reprezintă o tehnică de programare, iar un limbaj de programare orientat spre obiecte are mecanismele suport necesare acestui stil de programare. În acest mod caz limbajul este înzestrat cu elemente care face programarea orientată spre obiecte suficient de comodă. Un limbaj nu

suportă un stil de programare dacă scrierea programelor în acest stil este greoaie sau cere programatorului să utilizeze tertipuri sau artificii de programare deosebite. Spre exemplu primele variante ale limbajului Fortran nu suportă programarea structurată, iar limbajul Pascal, așa cum a fost standardizat inițial, nu este orientat spre obiecte. Abia odată cu versiunea Turbo Pascal 5.5 au fost introduse în limbaj mecanismele suport ale programării orientate spre obiecte.

6.2.6 Definirea obiectelor în cadrul programului MEFRO.

Cu toate că programarea orientată spre obiecte este un stil de programare fundamental deosebit de cel tradițional, construcțiile sintactice ale limbajului Borland Pascal care o facilitează, pot fi înțelese ca și extinderi ale unora mai vechi.

Obiectul conține declarații atât pentru date, cât și pentru proceduri și funcții, într-o formă similară definirii unei înregistrări. Procedurile și funcțiile declarate într-un obiect se numesc *metode*. Obiectul cuprinde doar antetul metodelor, blocurile asociate lor urmând a fi specificate separat. *Câmpurile de date* sunt definite ca înregistrări, prin selectorul și tipul fiecăruia. În cele ce urmează se prezintă descrierea obiectului Frontiera din cadrul programului MEFRO.

Type

```
Refpi = ^Punct_interior;  
Reffr = ^Frontiera;  
RefDr = ^DrenLin;  
RefQ = ^SingFlux;  
RefH = ^SingPot;
```

```
Frontiera = Object  
  Constructor Init;  
  Procedure Coordonate (Var int:Integer; Var outX,outY:Real);  
  Function Potentialul (Var int:Integer):Real;  
  Function TipNod      (Var int:Integer):Integer;  
  Destructor Sterge;  
  Private  
    cap,crt,temp,urm:Reffr;  
    Tipul,Nr:Integer;  
    X,Y,Potential:Real;  
end;
```

```
DrenLin = Object  
  Constructor Init;  
  Procedure Coordonate (Var int:Integer; Var outXa,outYa,outXb,  
                        outYb:Real);
```

```

Procedure Parametrii (Var int:Integer; Var outP4,outP5,
                    outP6:Real);
Procedure Potentialul(Var int:Integer; Var outZ:Real);
Function TipNod      (Var int:Integer):Integer;
Destructor Sterge;
Private
  cap,crt,temp,urm:RefDr;
  Tipul,Nr:Integer;
  X,Y,Hh,Par4,Par5,Par6:Real;
end;

Punct_interior = Object
  Constructor Init;
  Procedure Coordonate(Var int:integer;Var outX,outY,outZ:real);
  Destructor Sterge;
  Private
    cap,crt,temp,urm:RefPi;
    Nr:Integer;
    X,Y,Z:Real;
end;

SingFlux = Object
  Constructor Init;
  Procedure Coordonate(Var int:Integer; Var outX,outY:Real);
  Function Debit(Var int:Integer):Real;
  Function Diam(Var int:Integer):Real;
  Destructor Sterge;
  Private
    cap,crt,temp,urm:RefQ;
    Nr:Integer;
    X,Y,Flux,Diametru:Real;
end;

SingPot = Object
  Constructor Init;
  Procedure Coordonate(Var int:Integer; Var outX,outY:Real);
  Function Pot(Var int:Integer):Real;
  Function Diam(var int:Integer):Real;
  Destructor Sterge;
  Private
    cap,crt,temp,urm:RefH;
    Nr:Integer;
    X,Y,H,Diametru:Real;
end;

```

Unul din scopurile programării orientate spre obiecte este utilizarea obiectelor ca entități complete, de sine stătătoare: se recomandă ca nici unul din câmpurile unui obiect să fie direct accesibil utilizatorului, orice operație asupra sa realizându-se numai prin intermediul metodelor. Metodele trebuie să alcătuiască

un set cât mai complet de operații relative la obiect. O astfel de abordare se poate observa în exemplul obiectului *Frontiera* prezentat mai sus.

Metodele astfel definite permit testarea și actualizarea oricărui câmp al obiectului. Este important de remarcat faptul că prin acest mod de definire, metodele elimină necesitatea adresării directe a câmpurilor obiectului. Pentru a asigura o protecție a câmpurilor, începând cu versiunea Borland Pascal 7.0 [20], un avantaj substanțial a fost realizat prin faptul că se permite divizarea declarației obiectului în două secțiuni: una *publică*, accesibilă din afara obiectului și una *privată*, accesibilă doar în cadrul obiectului, inclusiv în declarațiile metodelor sale.

Această facilitate a fost folosită în cadrul programului MEFRO în zona de calcul, la definirea obiectelor *Frontiera*, *Drenlin*, *Punct_interior*, *SingFlux*, *SingPot* etc. S-a uzat de această facilitate și pentru a elimina o eventuală manevrare greșită a câmpurilor și metodelor prin acțiuni din afara obiectului. Secțiunea privată este specificată prin cuvântul cheie *Private* și se află după secțiunea publică.

ELABORAREA PROGRAMULUI MEFRO PENTRU REZOLVAREA SISTEMELOR DE CAPTĂRI SUBTERANE

7.1 Realizarea meniului de introducere și editare a datelor folosit în cadrul programului MEFRO.

7.1.1 Meniul Editare date program.

Meniul **Editare date program** (fig.7.2) este un meniu principal și este folosit la pentru următoarele operații asupra datelor de rulare a programului:

- introducerea de date noi;
- salvarea unui set de date;
- încărcarea unui set de date;
- editarea datelor generale ale unei probleme;
- editarea conturului unui domeniu;
- editarea puțurilor cu potențial cunoscut;
- editarea puțurilor cu flux cunoscut;
- editarea liniilor de drenaj;
- editarea punctelor interioare;
- editarea puțurilor imperfecte:
 - – parametrii puțurilor
 - – parametrii elementelor
- editarea subdomeniilor:
 - – parametrii subdomeniilor
 - – coordonatele elementelor frontierei subdomeniilor

Editare date program	Rulare program	Rezultate	Listare date program	Sfârșit
<div data-bbox="618 753 916 1414" style="border: 1px solid black; padding: 10px; margin: 20px auto; width: fit-content;"> <p style="text-align: center;">Metoda elementelor de frontieră</p> </div>				
F1 Tile	F2 Cascadă	F3 Închide	F4 Mod de afișare	F10 Meniu principal

Fig.7.1 Meniul principal al programului MEFRO

7.1.2 Submeniul; Introducere date noi, editarea conturului

Acest submeniu este folosit pentru editarea (introducerea, vizualizarea și/sau modificarea) datelor care alcătuiesc frontiera domeniului. Utilizatorului i se crează în acest sens facilitatea de a edita următoarele date:

- Tipul nodului;
- Abscisă nod;
- Ordonată nod;
- Potențial nod.

Procedurile și funcțiile folosite pentru editarea din cadrul acestui submeniu se afla în unitul *Contur.pas*. În cadrul acestui unit conturul domeniului este definit ca fiind obiectul *TContur* în care Tipnod, Abscisa, Ordonata și Potențialul sunt câmpurile sale.

Totodată obiectul *TContur* mai conține în plus și două elemente *ant* și *urm* care sunt de tip referință la obiectul *TContur*. Deoarece nodurile care alcătuiesc conturul domeniului se află într-o structură de tip listă, elemente de tip referință *ant* și *urm* sunt folosite pentru deplasarea și poziționarea pe un anumit nod din cadrul acestei liste.

Pentru a putea vizualiza câmpurile obiectului *TContur* într-o manieră cât mai comodă și eficientă din punct de vedere al editării, tot în cadrul unitului Contur este definit obiectul *TBox*.

```
PBox = ^TBox;  
  TBox = object(TDialog)  
  TipNod, Abscisa, Ordonata, Potential: PInputLine;  
  Counter: PcountView;  
  constructor Init;  
  Procedure HandleEvent(var Event: TEvent); virtual;  
  Procedure Retine;  
  Procedure Show;  
end;
```

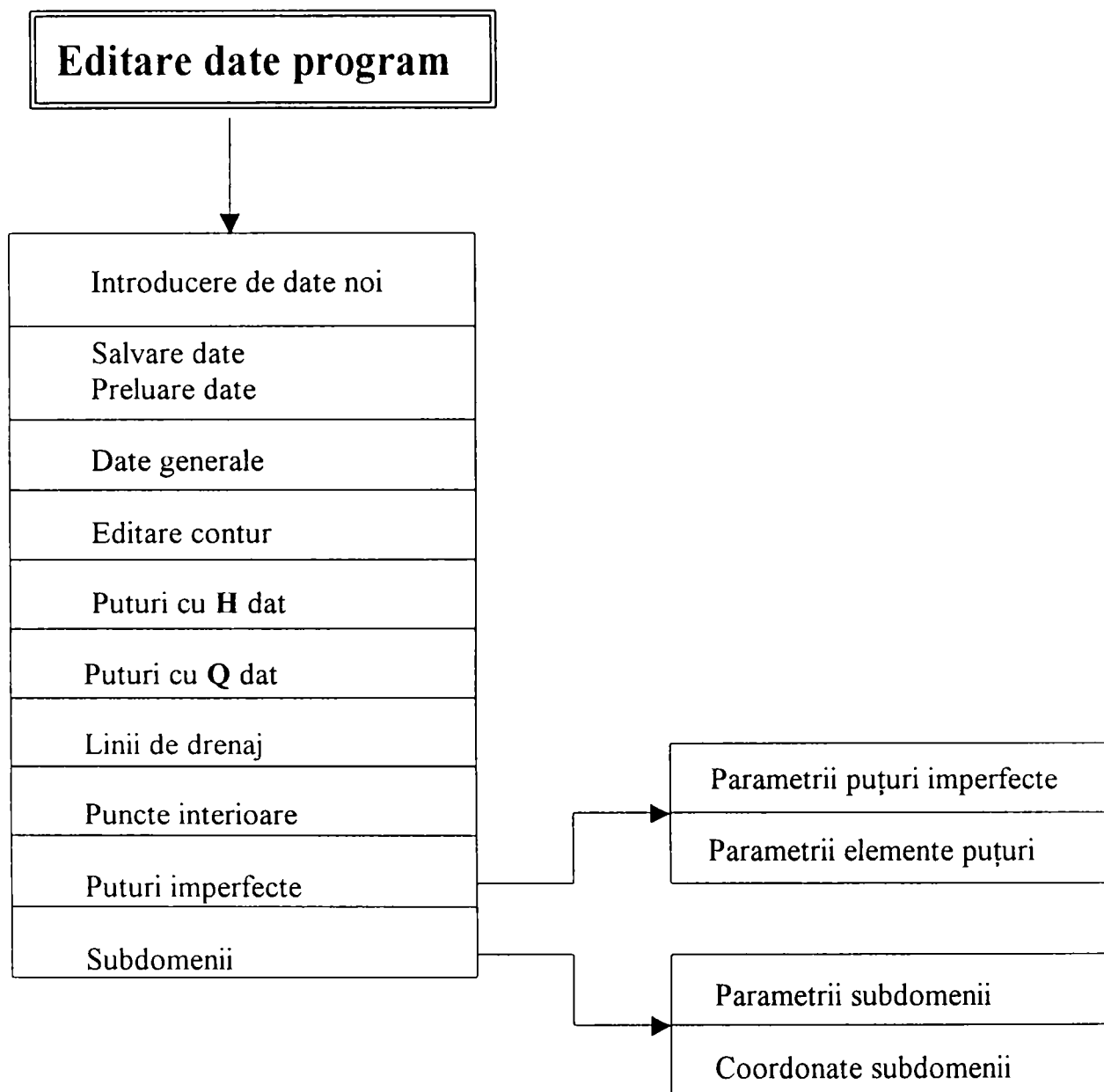
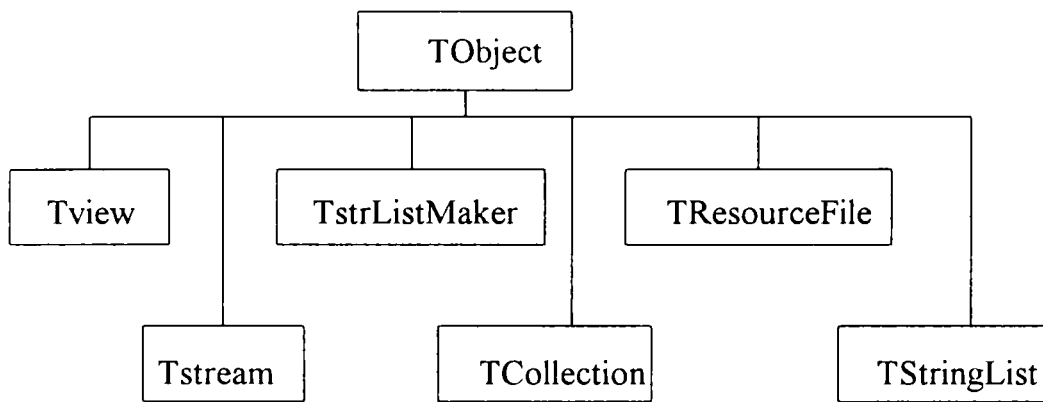


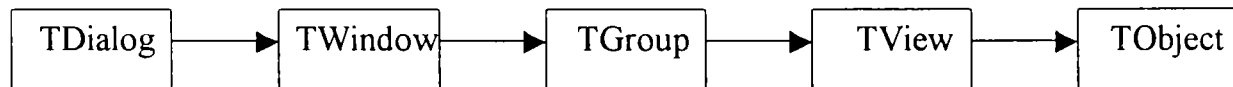
Fig. 7.2 Meniului de editare al datelor

Înainte de a trece la tratarea modului de definire a obiectului *TBox* trebuie menționat faptul că *TObject* este obiectul de bază al ierarhiei TurboVision. În afară de *Tpoint* și *Trect* toate obiectele standard Turbo Vision derivă din *TObject*. La primul nivel al ierarhiei sunt obiectele menționate în arborele următor:



Dintre aceste obiecte *Tview* este un obiect fundamental pentru Turbo Vision. Orice obiect vizibil trebuie să descindă din *Tview*. El definește o secțiune sau un dreptunghi al ecranului. Totodată gestionează și orice eveniment care îi este adresat prin metoda *HandleEvent*.

Așa după cum se poate observa din definiția sa, obiectul *TBox* moștenește toate proprietățile obiectului *TDialog*. Privit ca lanț al moștenirii obiectul *TDialog* are următoarea formă:



Revenind la câmpurile obiectului *TBox* constatăm că el mai conține câmpurile *TipNod*, *Abscisa*, *Ordonata*, *Potential* de tip *PinputLine*. Pentru introducerea valorilor acestor câmpuri folosindu-se obiecte de tip *TInputLine*, derivate din *TView*, al cărui constructor crează o linie în care se pot înscrie un anumit număr de caractere. Pentru etichetarea fiecărei linii cu un text explicativ se utilizează obiectul *TLabel*, derivat din *TStaticText*, al cărui constructor crează o etichetă, pusă în evidență pe ecranul monitorului în momentul selectării vederii *TipNod*.

```

R.Assign(16, 2, 28, 3);
TipNod := New(PInputLine, Init(R, 8));
Insert(TipNod);
R.Assign(4, 2, 14, 3);
Insert(New(PLabel, Init(R, '~T~ip Nod:', TipNod)));
  
```

Constructorul *TBox.Init* inițializează fereastra de dialog, care se poate deplasa și închide dimensiunile ei rămânând nemodificabile. În această se fixează butoanele **Memo**, **Anterior**, **Următor**, **Închide**, inițializează valoarea maximă a contorului la o valoare egală cu MaxNod (numărul maxim de noduri) și valoarea curentă la 1, după care folosind metoda *Show* inițializează câmpurile obiectului *TContur* cu valorile corespunzătoare numărului curent al nodului și le afișează în cadrul ferestrei.

```

Constructor TBox.Init;
Var
  R: TRect;

begin
  R.Assign(0, 0, 60, 17);
  inherited Init(R, 'Contur Domeniu '+FileName);
  Options := Options or ofCentered;
  HelpCtx := $F000;

  R.Assign(16, 2, 28, 3);
  TipNod := New(PInputLine, Init(R, 8));
  Insert(TipNod);
  R.Assign(4, 2, 14, 3);
  Insert(New(PLabel, Init(R, '~T~ip Nod:', TipNod)));

  R.Assign(16, 4, 28, 5);
  Abscisa := New(PInputLine, Init(R, 8));
  Insert(Abscisa);
  R.Assign(4, 4, 14, 5);
  Insert(New(PLabel, Init(R, '~A~bscisa:', Abscisa)));

  R.Assign(16, 6, 28, 7);
  Ordonata := New(PInputLine, Init(R, 8));
  Insert(Ordonata);
  R.Assign(4, 6, 14, 7);
  Insert(New(PLabel, Init(R, '~O~rdonata:', Ordonata)));

  R.Assign(16, 8, 28, 9);
  Potential := New(PInputLine, Init(R, 8));
  Insert(Potential);
  R.Assign(4, 8, 14, 9);
  Insert(New(PLabel, Init(R, '~P~otential', Potential)));

  R.Assign(2, 14, 12, 16);
  Insert(New(PButton, Init(R, '~M~emo', cmRetine, bfNormal)));
  R.Assign(20, 14, 32, 16);
  Insert(New(PButton, Init(R, '~A~nterior', cmAnterior, bfNormal)));
  R.Assign(31, 14, 43, 16);
  Insert(New(PButton, Init(R, '~U~rmator', cmUrmator, bfNormal)));
  R.Assign(46, 14, 57, 16);
  Insert(New(PButton, Init(R, '~T~erminat', cmCancel, bfNormal)));

```

```

CurrentOrder := 1;
R.Assign(5, 16, 20, 17);
Counter := New(PCountView, Init(R));
with Counter^ do
begin
  SetCount(MaxNod); SetCurrent(CurrentOrder);
end;
Insert(Counter);
SelectNext(False);
DisableCommands([cmAnterior]);
Tct:=Pct;
Show;
End;

```

Contur domeniu

Tip Nod :

Abscisă :

Ordonată :

Potențial :

Memo Anterior Urmator Terminare

1 din 10

Fig.7.3 Meniul de editare al datelor pentru conturul domeniului

Metoda *TBox.Show* , după cum s-a menționat anterior, are funcția de a inițializa câmpurile obiectului *TBox* cu valorile corespunzătoare nodului curent. Prin procedura *SerData* moștenită de la *Tview*, se copiază un număr de octeți din parametru în structura internă a obiectului, în cazul de față fereastra de dialog. În plus metoda activează sau dezactivează comenzile *cmUrmător*, *cmAnterior* funcție de valoarea *CurrentOrder*.

```
Procedure TBox.Show;
```

```
Begin
  If CurrentOrder >= MaxNod Then DisableCommands([cmUrmator])
  Else EnableCommands([cmUrmator]);
  If CurrentOrder <=1 Then DisableCommands([cmAnterior])
  Else EnableCommands([cmAnterior]);

  New(PCon);
  With PCon^ Do
    Begin
      TipNod :=Tct^.TipNod;
      Abscisa :=Tct^.Abscisa;
      Ordonata :=Tct^.Ordonata;
      Potential:=Tct^.Potential;
    end;
  SetData(PCon^);
end;
```

Metoda *TBox.Retine* are funcția de a prelua folosind metoda *GetData* datele care se află în fereastra de dialog și de a inițializa câmpurile obiectului TBox cu aceste valori.

```
Procedure TBox.Retine;
```

```
Begin
  GetData(PCon^);
  With Tct^ Do
    Begin
      TipNod :=PCon^.TipNod;
      Abscisa :=PCon^.Abscisa;
      Ordonata :=PCon^.Ordonata;
      Potential:=PCon^.Potential;
    end;
end;
```

Destructorul *TBox.Distruge*, realizează de fapt eliberarea zonei de memorie care a fost ocupată de către lista care a conținut frontiera domeniului. Variabilele dinamice referite se distrug prin apelul procedurii **Dispose**. Practic **Dispose**, realizează eliberarea efectivă a spațiului de memorie ocupat. Valoarea variabilei **Qct** trebuie să fie în momentul execuției procedurii **Dispose** o valoare care a rezultat dintr-un apel al procedurii **New**, reprezentând adresa zonei de memorie care se eliberează. Tipul variabilei utilizate pentru apelul procedurii **Dispose** trebuie să corespundă cu tipul variabilei utilizate în apelul pereche al procedurii **New**. În acest mod dimensiunea spațiului de memorie eliberat va fi aceeași cu cea a spațiului de memorie alocat.

Zona de memorie Heap este finită, iar modul său de ocupare variază pe parcursul execuției programului, reducându-se prin apelul procedurii New și crescând prin apelul procedurii Dispose.

Ca și observație utilizatorul poate afla, prin intermediul funcțiilor predefinite MemAvail și MaxAvail, care este numărul total de octeți disponibili în zona Heap și respectiv, în zona liberă de dimensiune maximă.

```
Destructor TBox.Distruge;  
Begin  
  Qct:=Pct;  
  While Pct <> nil Do  
    Begin  
      Pct:=Qct^.urm;  
      Dispose(Qct);  
      Qct:=Pct;  
    end;  
end;
```

Metoda *HandleEvent* gestionează evenimentele asociate liniei de stare, prin apelul metodei *Tview.HandleEvent*, apoi prin testul producerii a trei tipuri speciale de evenimente (mouse, key, broadcast).

```
Procedure TBox.HandleEvent(var Event: TEvent);  
Var  
  R: TRect;  
Begin  
  inherited HandleEvent(Event);  
  if Event.What = evCommand then  
  begin  
    case Event.Command of  
      cmRetine:  
        Begin  
          If CurrentOrder > MaxNod Then  
            DisableCommands([cmUrmator])  
          else  
            Begin  
              EnableCommands([cmAnterior]);  
              Retine;  
              If CurrentOrder =MaxNod Then  
                Begin  
                  CurrentOrder:=1;  
                  Counter^.SetCurrent(CurrentOrder);  
                  Tct:=Pct;  
                end  
              else  
                Begin
```



```

        CurrentOrder:=CurrentOrder+1;
        Counter^.SetCurrent (CurrentOrder);
        Tct:=Tct^.urm;
    end;
    Show; {Dispose (PCon);}
    ClearEvent (Event);
end;
end;

cmAnterior:
    Begin
        CurrentOrder:=CurrentOrder-1;
        Counter^.SetCurrent (CurrentOrder);
        Tct:=Tct^.ant; Show; Dispose (PCon);
        ClearEvent (Event);
    end;

cmUrmator:
    Begin
        CurrentOrder:=CurrentOrder+1;
        Counter^.SetCurrent (CurrentOrder);
        Tct:=Tct^.urm; Show; Dispose (PCon);
        ClearEvent (Event);
    end;

end;end;end;

```

Analog acestui procedeu folosit în cadrul submeniului de editare a conturului frontierei sunt construite și celelalte submeniuuri.

7.1.3 Submeniul; Puțuri cu potențial cunoscut.

Acest submeniu este folosit pentru editarea (introducerea, vizualizarea și/sau modificarea) datelor pentru puțuri cu potențial cunoscut. Utilizatorului i se crează în acest sens facilitatea de a edita următoarele date:

- Coordonatele centrului puțului (abscisă, ordonată);
- Raza puțului;
- Potențialul puțului.

Procedurile și funcțiile folosite pentru editarea din cadrul acestui submeniu se afla în unitul *PutHDat.pas*. În cadrul acestui unit puțurile sunt definite ca fiind obiecte de tipul *TPutH* în care X, Y, Raza și Pot sunt câmpurile sale.

Totodată obiectul *TPutH* mai conține în plus și două elemente *ant* și *urm* care sunt de tip referință la obiectul *TPutH*. Deoarece mulțimea puțurilor care alcătuiesc conturul domeniului se află într-o structură de tip listă, elementele de tip referință *ant* și *urm* sunt folosite pentru deplasarea și poziționarea pe un anumit puț din cadrul listei.

Pentru a putea vizualiza câmpurile obiectului *TPutH* tot în cadrul unitului *PutHDat.pas* este definit obiectul *TPutHBox*.

Puturi cu potential cunoscut

X put :

Y put :

Raza put :

Potențial :

Memo
Anterior
Urmator
Terminare

1 din 2

Fig. 7.4 Meniul de editare al datelor pentru puțuri cu potențial cunoscut

```

PPutHBox = ^TPutHBox;
TPutHBox = Object(TDialog)
X,Y,Raza,Pot:PInputLine;
Counter:PCountView;
Constructor Init;
Procedure HandleEvent(var Event: TEvent);virtual;
Procedure Retine;
Procedure Show;
end;

```

Câmpurile obiectului *TPutHBox* sunt X, Y, Raza, Pot de tip *PinputLine*. Pentru introducerea valorilor acestor câmpuri se folosesc obiecte de tip *TInputLine*, derivate din *TView*, al cărui constructor crează o linie în care se pot înscrie un anumit număr de caractere. Pentru etichetarea fiecărei linii cu un text explicativ se utilizează obiectul *TLabel*, derivat din *TStaticText*, al cărui constructor crează o etichetă, pusă în evidență pe ecranul monitorului în momentul selectării unuia din câmpuri. În continuare este exemplificat modul de realizare al ferestrei pentru editarea valorilor în cazul puțurilor cu potențial cunoscut.

```
R.Assign(16, 2, 28, 3);
X := New(PInputLine, Init(R, 8));
Insert(X);
R.Assign(4, 2, 14, 3);
Insert(New(PLabel, Init(R, '~X~ Put:', X)));

R.Assign(16, 4, 28, 5);
Y := New(PInputLine, Init(R, 8));
Insert(Y);
R.Assign(4, 4, 14, 5);
Insert(New(PLabel, Init(R, '~Y~ Put:', Y)));

R.Assign(16, 6, 28, 7);
Raza := New(PInputLine, Init(R, 8));
Insert(Raza);
R.Assign(4, 6, 14, 7);
Insert(New(PLabel, Init(R, '~R~aza:', Raza)));

R.Assign(16, 8, 28, 9);
Pot := New(PInputLine, Init(R, 8));
Insert(Pot);
R.Assign(4, 8, 14, 9);
Insert(New(PLabel, Init(R, '~P~otential', Pot)));
```

Constructorul *TPutHBox.Init* inițializează de fapt fereastra de dialog, care se poate deplasa și închide dimensiunile ei rămânând nemodificabile. În această fereastră se fixează și butoanele **Memo**, **Anterior**, **Următor** și **Închide**, se inițializează valoarea maximă a contorului la o valoare egală cu MaxH (numărul maxim de puțuri) și valoarea curentă la 1, după care folosind metoda *Show* inițializează câmpurile obiectului *TPutH* cu valorile corespunzătoare numărului curent al puțului cu potențial cunoscut și le afișează în cadrul ferestrei.

```
Constructor TPutHBox.init;

var
  R: TRect;

begin
  R.Assign(0, 0, 60, 17);
  inherited Init(R, 'Puturi cu potential cunoscut');
  Options := Options or ofCentered;
  HelpCtx := $F000;
```

```

R.Assign(16, 2, 28, 3);
X := New(PInputLine, Init(R, 8));
Insert(X);
R.Assign(4, 2, 14, 3);
Insert(New(PLabel, Init(R, '~X~ Put:', X)));

R.Assign(16, 4, 28, 5);
Y := New(PInputLine, Init(R, 8));
Insert(Y);
R.Assign(4, 4, 14, 5);
Insert(New(PLabel, Init(R, '~Y~ Put:', Y)));
R.Assign(16, 6, 28, 7);
Raza := New(PInputLine, Init(R, 8));
Insert(Raza);
R.Assign(4, 6, 14, 7);
Insert(New(PLabel, Init(R, '~R~aza:', Raza)));

R.Assign(16, 8, 28, 9);
Pot := New(PInputLine, Init(R, 8));
Insert(Pot);
R.Assign(4, 8, 14, 9);
Insert(New(PLabel, Init(R, '~P~otential', Pot)));

R.Assign(2, 14, 12, 16);
Insert(New(PButton, Init(R, '~O~k', cmRetine, bfNormal)));
R.Assign(20, 14, 32, 16);
Insert(New(PButton, Init(R, '~A~nterior', cmAnterior, bfNormal)));
R.Assign(31, 14, 43, 16);
Insert(New(PButton, Init(R, '~U~rmator', cmUrmator, bfNormal)));
R.Assign(46, 14, 57, 16);
Insert(New(PButton, Init(R, '~A~nulare', cmCancel, bfNormal)));

CurrentOrder := 1;
R.Assign(5, 16, 20, 17);
Counter := New(PCountView, Init(R));
with Counter^ do
begin
  SetCount(MaxH);
  SetCurrent(CurrentOrder);
end;

Insert(Counter);
SelectNext(False);
DisableCommands([cmAnterior]);
Th:=Ph;
Show;
end;

```

Metoda *TPutHBox.Show*, după cum s-a menționat anterior, are funcția de a inițializa câmpurile obiectului *TPutH* cu valorile corespunzătoare puțului curent (puț cu potențial cunoscut). Prin procedura *SetData* moștenită de la *Tview*, se copiază un număr de octeți din parametru în structura internă a obiectului, în cazul de față fereastra de dialog. În plus metoda activează sau dezactivează comenzile *cmUrmător*, *cmAnterior* funcție de valoarea lui *CurrentOrder*.

```

Procedure TPutHBox.Show;

Begin
  If CurrentOrder >= MaxH Then
    DisableCommands([cmUrmator])
  else
    EnableCommands([cmUrmator]);
  If CurrentOrder <=1 Then
    DisableCommands([cmAnterior])
  else
    EnableCommands([cmAnterior]);
  New(PutH);
  With PutH^ Do
    Begin
      X:=Th^.X;
      Y:=Th^.Y;
      Raza:=Th^.Raza;
      Pot:=Th^.Pot;
    end;
  SetData(PutH^);
end;

```

Metoda *TPutHBox.Retine* are funcția de a prelua folosind metoda *GetData* datele care se află în fereastra de dialog și de a inițializa câmpurile obiectului TBox cu aceste valori.

```

Procedure TPutHBox.Retine;

Begin
  GetData(PutH^);
  With Th^ Do
    Begin
      X      :=PutH^.X;
      Y      :=PutH^.Y;
      Raza   :=PutH^.Raza;
      Pot    :=PutH^.Pot;
    end;
end;

```

Destructorul *TPutHBox.Distruge*, realizează de fapt eliberarea zonei de memorie care a fost ocupată de către lista care a conținut frontiera domeniului. Variabilele dinamice referite se distrug prin apelul procedurii **Dispose**.

```

Destructor TPutHBox.Distruge;
Begin
  Qh:=Ph;
  While Ph <> nil Do
    Begin
      Ph:=Qh^.urm;
      Dispose(Qh);
      Qh:=Ph;
    end;
end;

```

Metoda *TputHBox.HandleEvent* gestionează evenimentele asociate liniei de stare, prin apelul metodei *Tview.HandleEvent*, apoi prin testul producerii a trei tipuri speciale de evenimente (mouse, key, broadcast).

```
Procedure TputHBox.HandleEvent(var Event: TEvent);
```

```
Var R: TRect;
Begin
  inherited HandleEvent(Event);
  if Event.What = evCommand then
  begin
    Case Event.Command of
      cmRetine:
        Begin
          If CurrentOrder > MaxH Then
            Begin
              DisableCommands([cmUrmator])
            end
          else
            Begin
              EnableCommands([cmAnterior]);
              Retine;
              If CurrentOrder = MaxH Then
                Begin
                  CurrentOrder:=1;
                  Counter^.SetCurrent(CurrentOrder);
                  Th:=Ph;
                end
              else
                Begin
                  CurrentOrder:=CurrentOrder+1;
                  Counter^.SetCurrent(CurrentOrder);
                  Th:=Th^.urm;
                end;
              Show;Dispose(PutH);
              ClearEvent(Event);
            end;
        end;
      cmAnterior:
        Begin
          CurrentOrder:=CurrentOrder-1;
          Counter^.SetCurrent(CurrentOrder);
          Th:=Th^.ant;
          Show;Dispose(PutH);
          ClearEvent(Event);
        end;
      cmUrmator:
        Begin
          CurrentOrder:=CurrentOrder+1;
          Counter^.SetCurrent(CurrentOrder);
          Th:=Th^.urm;
          Show;Dispose(PutH);
          ClearEvent(Event);
        end; end; end;end;
```

7.1.4 Submeniul; Puțuri cu flux cunoscut.

Acest submeniu este folosit pentru editarea (introducerea, vizualizarea și/sau modificarea) datelor pentru puțuri cu flux cunoscut. Utilizatorului i se crează în acest sens facilitatea de a edita următoarele date:

- Coordonatele centrului puțului (abscisă, ordonată);
- Raza puțului;
- Debitul (fluxul) puțului.

Procedurile și funcțiile folosite pentru editarea din cadrul acestui submeniu se afla în unitul *PutQDat.pas*. În cadrul acestui unit puțurile sunt definite ca fiind obiecte de tipul *TPutQ* în care X, Y, Raza și Pot sunt câmpurile sale.

Totodată obiectul *TPutQ* mai conține în plus și elementele *ant* și *urm* care sunt de tip referință la obiectul *TPutQ*. Și în acest caz, deoarece mulțimea puțurilor care alcătuiesc conturul domeniului se află într-o structură de tip listă, elementele de tip referință *ant* și *urm* sunt folosite pentru deplasarea și poziționarea pe un anumit puț din cadrul listei.

Pentru a putea vizualiza câmpurile obiectului *TPutQ* tot în cadrul unitului *PutQDat.pas* este definit obiectul *TPutQBox*.

Contur domeniu

X put :

Y put :

Raza puț :

Flux puț :

```

PPutQBox = ^TPutQBox;
  TPutQBox = Object(TDialog)
  X,Y,Raza,Pot:PInputLine;
  Counter:PCountView;
  Constructor Init;
  Procedure HandleEvent(var Event: TEvent);virtual;
  Procedure Show;
  Procedure Retine;
end;

```

Câmpurile obiectului *TPutQBox* sunt X, Y, Raza, Pot de tip *PinputLine*. Pentru introducerea valorilor acestor câmpuri se folosesc obiecte de tip *TInputLine*, derivate din *TView*, al cărui constructor crează o linie în care se pot înscrie un anumit număr de caractere. Și în acest caz pentru etichetarea fiecărei linii cu un text explicativ se utilizează obiectul *TLabel*, derivat din *TStaticText*, al cărui constructor crează o etichetă, pusă în evidență pe ecranul monitorului în momentul selectării unuia din câmpuri. În continuare este exemplificat modul de realizare al ferestrei pentru editarea valorilor în cazul puțurilor cu flux cunoscut.

```

R.Assign(16, 2, 28, 3);
X := New(PInputLine, Init(R, 8));
Insert(X);
R.Assign(4, 2, 14, 3);
Insert(New(PLabel, Init(R, '~X~ Put:', X)));

R.Assign(16, 4, 28, 5);
Y := New(PInputLine, Init(R, 8));
Insert(Y);
R.Assign(4, 4, 14, 5);
Insert(New(PLabel, Init(R, '~Y~ Put:', Y)));

R.Assign(16, 6, 28, 7);
Raza := New(PInputLine, Init(R, 8));
Insert(Raza);
R.Assign(4, 6, 14, 7);
Insert(New(PLabel, Init(R, '~R~aza:', Raza)));

R.Assign(16, 8, 28, 9);
Pot := New(PInputLine, Init(R, 8));
Insert(Pot);
R.Assign(4, 8, 14, 9);
Insert(New(PLabel, Init(R, '~F~lux', Pot)));

```

Constructorul *TPutQBox.Init* inițializează de fapt fereastra de dialog, care se poate deplasa și închide dimensiunile ei rămânând nemodificabile. În această fereastră se fixează și butoanele **Memo**, **Anterior**, **Următor** și **Închide**, se inițializează valoarea maximă a contorului la o valoare egală cu MaxH (numărul maxim de puțuri) și valoarea curentă la 1, după care folosind metoda *Show* inițializează câmpurile obiectului *TPutQ* cu valorile corespunzătoare numărului curent al puțului cu potențial cunoscut și le afișează în cadrul ferestrei.


```
Constructor TPutQBox.init;
```

```
var
```

```
  R: TRect;
```

```
begin
```

```
  R.Assign(0, 0, 60, 17);  
  inherited Init(R, 'Puturi cu flux cunoscut');  
  Options := Options or ofCentered;  
  HelpCtx := $F000;
```

```
  R.Assign(16, 2, 28, 3);  
  X := New(PInputLine, Init(R, 8));  
  Insert(X);  
  R.Assign(4, 2, 14, 3);  
  Insert(New(PLabel, Init(R, '~X~ Put:', X)));
```

```
  R.Assign(16, 4, 28, 5);  
  Y := New(PInputLine, Init(R, 8));  
  Insert(Y);  
  R.Assign(4, 4, 14, 5);  
  Insert(New(PLabel, Init(R, '~Y~ Put:', Y)));
```

```
  R.Assign(16, 6, 28, 7);  
  Raza := New(PInputLine, Init(R, 8));  
  Insert(Raza);  
  R.Assign(4, 6, 14, 7);  
  Insert(New(PLabel, Init(R, '~R~aza:', Raza)));
```

```
  R.Assign(16, 8, 28, 9);  
  Pot := New(PInputLine, Init(R, 8));  
  Insert(Pot);  
  R.Assign(4, 8, 14, 9);  
  Insert(New(PLabel, Init(R, '~F~lux', Pot)));
```

```
  R.Assign(2, 14, 12, 16);  
  Insert(New(PButton, Init(R, '~O~k', cmRetine, bfNormal)));  
  R.Assign(20, 14, 32, 16);  
  Insert(New(PButton, Init(R, '~A~nterior', cmAnterior, bfNormal)));  
  R.Assign(31, 14, 43, 16);  
  Insert(New(PButton, Init(R, '~U~rmator', cmUrmator, bfNormal)));  
  R.Assign(46, 14, 57, 16);  
  Insert(New(PButton, Init(R, '~A~nulare', cmCancel, bfNormal)));
```

```
  CurrentOrder := 1;
```

```
  R.Assign(5, 16, 20, 17);  
  Counter := New(PCountView, Init(R));  
  with Counter^ do  
  begin  
    SetCount(MaxQ);  
    SetCurrent(CurrentOrder);  
  end;
```

```

Insert (Counter);

SelectNext (False);

DisableCommands ([cmAnterior]);
Tq:=Pq;
Show;
end;

```

Metoda *TPutQBox.Show* , după cum s-a menționat anterior, are funcția de a inițializa câmpurile obiectului *TPutQ* cu valorile corespunzătoare puțului curent (puț cu potențial cunoscut). Prin procedura *SetData* moștenită de la *Tview*, se copiază un număr de octeți din parametru în structura internă a obiectului, în cazul de față fereastra de dialog. În plus metoda activează sau dezactivează comenzile *cmUrmător*, *cmAnterior* funcție de valoarea lui CurrentOrder care indică poziția puțului curent.

```

Procedure TPutQBox.Show;

Begin
  If CurrentOrder >= MaxQ Then
    DisableCommands ([cmUrmator])
  else
    EnableCommands ([cmUrmator]);
  If CurrentOrder <=1 Then
    DisableCommands ([cmAnterior])
  else
    EnableCommands ([cmAnterior]);
  New (PutQ);
  With PutQ^ Do
    Begin
      X:=Tq^.X;
      Y:=Tq^.Y;
      Raza:=Tq^.Raza;
      Pot:=Tq^.Pot;
    end;
  SetData (PutQ^);
end;

```

Metoda *TPutQBox.Retine* are funcția de a prelua folosind metoda *GetData* datele care se află în fereastra de dialog și de a inițializa câmpurile obiectului TBox cu aceste valori.

```
Procedure TPutQBox.Retine;
```

```
Begin  
  GetData(PutQ^);  
  With Tq^ Do  
    Begin  
      X:=PutQ^.X;  
      Y:=PutQ^.Y;  
      Raza:=PutQ^.Raza;  
      Pot:=PutQ^.Pot;  
    end;  
end;
```

Destructorul *TPutQBox.Distruge*, realizează de fapt eliberarea zonei de memorie care a fost ocupată de către lista care a conținut frontiera domeniului. Variabilele dinamice referite se distrug prin apelul procedurii **Dispose**.

```
Destructor TPutQBox.Distruge;  
Begin  
  Qq:=Pq;  
  While Pq <> nil Do  
    Begin  
      Pq:=Qq^.urm;  
      Dispose(Qq);  
      Qq:=Pq;  
    end;  
end;
```

Metoda *TputQBox.HandleEvent* gestionează evenimentele asociate liniei de stare, prin apelul metodei *Tview.HandleEvent*, apoi prin testul producerii a trei tipuri speciale de evenimente (mouse, key, broadcast).

```
procedure TPutQBox.HandleEvent(var Event: TEvent);  
var  
  R: TRect;  
begin  
  inherited HandleEvent(Event);  
  if Event.What = evCommand then  
    begin  
      case Event.Command of  
        cmRetine:  
          Begin  
            If CurrentOrder > MaxQ Then  
              Begin  
                DisableCommands([cmUrmator])  
              end  
            else  
              Begin  
                EnableCommands([cmAnterior]);  
                Retine;  
                If CurrentOrder = MaxQ Then
```

```

        Begin
            CurrentOrder:=1;
            Counter^.SetCurrent (CurrentOrder);
            Tq:=Pq;
        end
    else
        Begin
            CurrentOrder:=CurrentOrder+1;
            Counter^.SetCurrent (CurrentOrder);
            Tq:=Tq^.urm;
        end;
        Show;Dispose (PutQ);
        ClearEvent (Event);
    end;
end;
cmAnterior:
    Begin
        CurrentOrder:=CurrentOrder-1;
        Counter^.SetCurrent (CurrentOrder);
        Tq:=Tq^.ant;
        Show;Dispose (PutQ);
        ClearEvent (Event);
    end;
cmUrmator:
    Begin
        CurrentOrder:=CurrentOrder+1;
        Counter^.SetCurrent (CurrentOrder);
        Tq:=Tq^.urm;
        Show;Dispose (PutQ);
        ClearEvent (Event);
    end;
end;
end;
end;

```

7.1.5 Submeniul; Linii de drenaj.

Acest submeniu este folosit pentru editarea (introducerea, vizualizarea și/sau modificarea) datelor pentru liniile de drenaj. Utilizatorului i se crează în acest sens facilitatea de a edita următoarele date:

- Coordonatele nodurilor care alcătuiesc linia de drenaj (abscisă, ordonată);
- Potențialul liniei de dren;
- Parametrii imperfecțiunii (P_1 , P_2 , P_3);
- Tipul elementului.

Precizări asupra parametrilor imperfecțiunii funcție de tipul nodului.	
Noduri de tip 5	: Ecran parțial penetrat
Parametrii imperfecțiunii	: P ₁ - Pătrundere ecran
	: P ₂ - Grosime strat
	: P ₃ - Nu exista
Noduri de tip 6	: Infiltrații prin radier plan
Parametrii imperfecțiunii	: P ₁ - Lățime radier
	: P ₂ - Adâncime strat acvifer
	: P ₃ - Nu exista
Noduri de tip 7	: Infiltrații prin tub de drenaj
Parametrii imperfecțiunii	: P ₁ - Diametrul tub drenaj
	: P ₂ - Grosime strat
	: P ₃ - Adâncime de pozare
Noduri de tip 8	: Infiltrații prin radier curviliniu
Parametrii imperfecțiunii :	: P ₁ - Lățime canal
	: P ₂ - Adâncime strat
	: P ₃ - Adâncime de pătrundere canal

Procedurile și funcțiile folosite pentru editarea din cadrul acestui submeniu se afla în unitul *Drenuri.pas*. În cadrul acestui unit puțurile sunt definite ca fiind obiecte de tipul *TDrenaj* în care Tip, X, Y, H, P₁, P₂, P₃ sunt câmpurile sale.

Totodată obiectul *TDrenaj* mai conține în plus și elementele *ant* și *urm* care sunt de tip referință la obiectul *TDrenaj*. Și în acest caz, deoarece mulțimea elementelor care alcătuiesc linia de drenaj se află într-o structură de tip listă, elementele de tip referință *ant* și *urm* sunt folosite pentru deplasarea și poziționarea pe un anumit element din cadrul listei.

Pentru a putea vizualiza câmpurile obiectului *TDrenaj* tot în cadrul unitului *Drenajt.pas* este definit obiectul *TPDrenBox*.

```

PDrenBox = ^TPDrenBox;
TPDrenBox = Object(TDialog)
Tip,X,Y,H,P1,P2,P3 :PInputLine;
Counter:PCountView;
Constructor Init;
Procedure HandleEvent(var Event: TEvent);virtual;
Procedure Show;
Procedure Retine;
end;

```

Linii de drenaj

X Dren : Tip dren :

Y Dren :

H Dren :

Param 1 :

Param 2 :

Param 3 :

1 din 10

Fig. 7.6 Meniul de editare al datelor pentru liniile de drenaj

Analizând câmpurile obiectului *TPDrenBox* constatăm că el conține câmpurile Tip, X, Y, H, P1, P2, P3 de tip *PinputLine*. Pentru introducerea valorilor acestor câmpuri se folosesc obiecte de tip *TInputLine*, derivate din *TView*, al cărui constructor crează o linie în care se pot înscrie un anumit număr de caractere. Și în acest caz pentru etichetarea fiecărei linii cu un text explicativ se utilizează obiectul *TLabel*, derivat din *TStaticText*, al cărui constructor crează o etichetă, pusă în evidență pe ecranul monitorului în momentul selectării unuia din câmpuri. În continuare este exemplificat modul de realizare al ferestrei pentru editarea valorilor în cazul liniilor de drenaj.

```

R.Assign(42, 2, 48, 3);
Tip := New(PInputLine, Init(R, 8));
Insert(Tip);
R.Assign(30, 2, 40, 3);
Insert(New(TLabel, Init(R, '~Tip~ Dren:', Tip)));

```

```

R.Assign(16, 2, 28, 3);
X := New(PInputLine, Init(R, 8));
Insert(X);
R.Assign(4, 2, 14, 3);
Insert(New(PLabel, Init(R, '~X~ Dren:', X)));

R.Assign(16, 4, 28, 5);
Y := New(PInputLine, Init(R, 8));
Insert(Y);
R.Assign(4, 4, 14, 5);
Insert(New(PLabel, Init(R, '~Y~ Dren:', Y)));

R.Assign(16, 6, 28, 7);
H := New(PInputLine, Init(R, 8));
Insert(H);
R.Assign(4, 6, 14, 7);
Insert(New(PLabel, Init(R, '~H~ Dren:', H)));

R.Assign(16, 8, 28, 9);
P1 := New(PInputLine, Init(R, 8));
Insert(P1);
R.Assign(4, 8, 14, 9);
Insert(New(PLabel, Init(R, '~P~aram 1', P1)));

R.Assign(16, 10, 28, 11);
P2 := New(PInputLine, Init(R, 8));
Insert(P2);
R.Assign(4, 10, 14, 11);
Insert(New(PLabel, Init(R, '~P~aram 2', P2)));

R.Assign(16, 12, 28, 13);
P3 := New(PInputLine, Init(R, 8));
Insert(P3);
R.Assign(4, 12, 14, 13);
Insert(New(PLabel, Init(R, '~P~aram 3', P3)));

```

Constructorul *TPDrenBox.Init* inițializează de fapt fereastra de dialog, care se poate deplasa și închide dimensiunile ei rămânând nemodificabile. În această fereastră se fixează și butoanele **Memo**, **Anterior**, **Următor** și **Închide**, se inițializează valoarea maximă a contorului la o valoare egală cu MaxDren (numărul maxim de noduri ale liniilor de drenaj) și valoarea curentă la 1, după care folosind metoda *Show* inițializează câmpurile obiectului *TDrenaj* cu valorile corespunzătoare numărului curent elementului și le afișează în cadrul ferestrei.

```

Constructor TPDrenBox.init;

var
  R: TRect;

begin
  R.Assign(0, 0, 60, 17);
  inherited Init(R, 'Linii de drenaj');
  Options := Options or ofCentered;
  HelpCtx := $F000;

  R.Assign(42, 2, 48, 3);
  Tip := New(PInputLine, Init(R, 8));
  Insert(Tip);
  R.Assign(30, 2, 40, 3);
  Insert(New(PLabel, Init(R, '~Tip~ Dren:', Tip)));

  R.Assign(16, 2, 28, 3);
  X := New(PInputLine, Init(R, 8));
  Insert(X);
  R.Assign(4, 2, 14, 3);
  Insert(New(PLabel, Init(R, '~X~ Dren:', X)));

  R.Assign(16, 4, 28, 5);
  Y := New(PInputLine, Init(R, 8));
  Insert(Y);
  R.Assign(4, 4, 14, 5);
  Insert(New(PLabel, Init(R, '~Y~ Dren:', Y)));

  R.Assign(16, 6, 28, 7);
  H := New(PInputLine, Init(R, 8));
  Insert(H);
  R.Assign(4, 6, 14, 7);
  Insert(New(PLabel, Init(R, '~H~ Dren:', H)));

  R.Assign(16, 8, 28, 9);
  P1 := New(PInputLine, Init(R, 8));
  Insert(P1);
  R.Assign(4, 8, 14, 9);
  Insert(New(PLabel, Init(R, '~P~aram 1', P1)));

  R.Assign(16, 10, 28, 11);
  P2 := New(PInputLine, Init(R, 8));
  Insert(P2);
  R.Assign(4, 10, 14, 11);
  Insert(New(PLabel, Init(R, '~P~aram 2', P2)));

  R.Assign(16, 12, 28, 13);
  P3 := New(PInputLine, Init(R, 8));
  Insert(P3);
  R.Assign(4, 12, 14, 13);
  Insert(New(PLabel, Init(R, '~P~aram 3', P3)));

```



```

R.Assign(2, 14, 12, 16);
Insert(New(PButton, Init(R, '~M~emo', cmRetine, bfNormal)));
R.Assign(20, 14, 32, 16);
Insert(New(PButton, Init(R, '~A~nterior', cmAnterior, bfNormal)));
R.Assign(31, 14, 43, 16);
Insert(New(PButton, Init(R, '~U~rmator', cmUrmator, bfNormal)));
R.Assign(46, 14, 57, 16);
Insert(New(PButton, Init(R, '~A~nulare', cmCancel, bfNormal)));

CurrentOrder := 1;
R.Assign(5, 16, 20, 17);
Counter := New(PCountView, Init(R));
with Counter^ do
begin
  SetCount(MaxDren);
  SetCurrent(CurrentOrder);
end;
Insert(Counter);
SelectNext(False);
DisableCommands([cmAnterior]);
Td:=Pd;
Show;
end;

```

Metoda *TPDrenBox.Show*, după cum s-a menționat anterior, are funcția de a inițializa câmpurile obiectului *TDrenaj* cu valorile corespunzătoare elementului curent. Prin procedura *SetData* moștenită de la *Tview*, se copiază un număr de octeți din parametru în structura internă a obiectului, în cazul de față fereastra de dialog. În plus metoda activează sau dezactivează comenzile *cmUrmător*, *cmAnterior* funcție de valoarea lui *CurrentOrder* care indică poziția elementului curent.

```

Procedure TPDrenBox.Show;

Begin
  If CurrentOrder >= MaxDren Then
    DisableCommands([cmUrmator])
  else
    EnableCommands([cmUrmator]);
  If CurrentOrder <=1 Then
    DisableCommands([cmAnterior])
  else
    EnableCommands([cmAnterior]);
  New(Drenaj);
  With Drenaj^ Do
    Begin
      Tip:=Td^.Tip;
      X:=Td^.x;
      Y:=Td^.y;
      H:=Td^.h;
      P1:=Td^.P1;
      P2:=Td^.P2;
      P3:=Td^.P3;
    end;
  SetData(Drenaj^);end;

```

Metoda *TDrenBox.Retine* are funcția de a prelua folosind metoda *GetData* datele care se află în fereastra de dialog și de a inițializa câmpurile obiectului TBox cu aceste valori.

```
Procedure TPDrenBox.Retine;

Begin
  GetData(Drenaj^);
  With Td^ Do
    Begin
      Tip :=Drenaj^.Tip;
      X   :=Drenaj^.X;
      Y   :=Drenaj^.Y;
      H   :=Drenaj^.H;
      P1  :=Drenaj^.P1;
      P2  :=Drenaj^.P2;
      P3  :=Drenaj^.P3;
    end;
end;
```

Destructorul *TPDrenBox.Distruge*, realizează de fapt eliberarea zonei de memorie care a fost ocupată de către lista care a conținut frontiera domeniului. Variabilele dinamice referite se distrug prin apelul procedurii **Dispose**.

```
Destructor TPDrenBox.Distruge;
Begin
  Qd:=Pd;
  While Pd <> nil Do
    Begin
      Pd:=Qd^.urm;
      Dispose(Qd);
      Qd:=Pd;
    end;
end;
```

Metoda *TPDrenBox.HandleEvent* gestionează evenimentele asociate liniei de stare, prin apelul metodei *Tview.HandleEvent*, apoi prin testul producerii a trei tipuri speciale de evenimente (mouse, key, broadcast).

```
Procedure TPDrenBox.HandleEvent(var Event: TEvent);
var
  R: TRect;
begin
  inherited HandleEvent(Event);
  if Event.What = evCommand then
    begin
      case Event.Command of
        cmRetine:
          Begin
            If CurrentOrder > MaxDren Then
              Begin
```

```

        DisableCommands ([cmUrmator])
    end
else
    Begin
        EnableCommands ([cmAnterior]);
        Retine;
        If CurrentOrder = MaxDren Then
            Begin
                CurrentOrder:=1;
                Counter^.SetCurrent (CurrentOrder);
                Td:=Pd;
            end
        else
            Begin
                CurrentOrder:=CurrentOrder+1;
                Counter^.SetCurrent (CurrentOrder);
                Td:=Td^.urm;
            end;
            Show;Dispose (Drenaj);
            ClearEvent (Event);
        end;
    end;
cmAnterior:
    Begin
        CurrentOrder:=CurrentOrder-1;
        Counter^.SetCurrent (CurrentOrder);
        Td:=Td^.ant;
        Show;Dispose (Drenaj);
        ClearEvent (Event);
    end;
cmUrmator:
    Begin
        CurrentOrder:=CurrentOrder+1;
        Counter^.SetCurrent (CurrentOrder);
        Td:=Td^.urm;
        Show;Dispose (Drenaj);
        ClearEvent (Event);
    end;
end;
end;
end;
end;

```

7.1.6 Submeniul; Puncte interioare.

Acest submeniu este folosit pentru editarea (introducerea, vizualizarea și/sau modificarea) datelor punctele interioare din interiorul domeniului. Utilizatorului i se crează în acest sens facilitatea de a edita următoarele date:

- Coordonatele punctelor interioare (abscisă, ordonată, cotă);

Procedurile și funcțiile folosite pentru editarea din cadrul acestui submeniu se afla în unitul *Pinter.pas*. În cadrul acestui unit punctele interioare sunt definite ca fiind obiecte de tipul *TPInt* în care X, Y, Z sunt câmpurile sale.

Totodată obiectul *TPInt* mai conține în plus și elementele *ant* și *urm* care sunt de tip referință la obiectul *TPInt*. Și în acest caz, deoarece mulțimea elementelor care alcătuiesc punctele interioare se află într-o structură de tip listă, elementele de tip referință *ant* și *urm* sunt folosite pentru deplasarea și poziționarea pe un anumit element din cadrul listei.

Pentru a putea vizualiza câmpurile obiectului *TPInt* tot în cadrul unitului *Pinter.pas* este definit obiectul *TPIntBox*.

Type

```
PPint = ^TPint;

TPInt = Object
  X    : String[8];
  Y    : String[8];
  Z    : String[8];
  urm,ant : PPint;
end;

PIntBox = ^TPIntBox;
TPIntBox = Object(TDialog)
  X,Y,Z : PInputLine;
  Counter: PCountView;
  Constructor Init;
  Procedure HandleEvent(var Event: TEvent);virtual;
  Procedure Retine;
  Procedure Show;
end;
```

Câmpurile obiectului *TPIntBox* sunt X, Y, Z de tip *PinputLine*. Pentru introducerea valorilor acestor câmpuri se folosesc obiecte de tip *TInputLine*, derivate din *TView*, al cărui constructor crează o linie în care se pot înscrie un anumit număr de caractere. Și în acest caz pentru etichetarea fiecărei linii cu un text explicativ se utilizează obiectul *TLabel*, derivat din *TStaticText*, al cărui constructor crează o etichetă, pusă în evidență pe ecranul monitorului în momentul selectării unuia din câmpuri. În continuare este exemplificat modul de realizare al ferestrei pentru editarea valorilor în cazul punctelor interioare.

```
R.Assign(0, 0, 60, 17);  
inherited Init(R, 'Puncte in interiorul domeniului');  
Options := Options or ofCentered;  
HelpCtx := $F000;
```

```
R.Assign(16, 2, 28, 3);  
X := New(PInputLine, Init(R, 8));  
Insert(X);  
R.Assign(4, 2, 14, 3);  
Insert(New(PLabel, Init(R, '~X~ Punct:', X)));
```

```
R.Assign(16, 4, 28, 5);  
Y := New(PInputLine, Init(R, 8));  
Insert(Y);  
R.Assign(4, 4, 14, 5);  
Insert(New(PLabel, Init(R, '~Y~ Punct:', Y)));
```

```
R.Assign(16, 6, 28, 7);  
Z := New(PInputLine, Init(R, 8));  
Insert(Z);  
R.Assign(4, 6, 14, 7);  
Insert(New(PLabel, Init(R, '~Z~ Punct:', Z)));
```

Puncte interioare

X punct :

Y punct :

Z punct :

Memo	Anterior	Urmator	Terminare
------	----------	---------	-----------

1 din 5

Fig. 7.7 Meniul de editare pentru puncte interioare

Constructorul *TPIntBox.Init* inițializează de fapt fereastra de dialog, care se poate deplasa și închide dimensiunile ei rămânând nemodificabile. În această fereastră se fixează și butoanele **Memo**, **Anterior**, **Următor** și **Închide**, se inițializează valoarea maximă a contorului la o valoare egală cu *MaxInt* (numărul maxim de puncte interioare din cadrul domeniului), valoarea curentă fiind egală cu 1, după care folosind metoda *Show* se inițializează câmpurile obiectului *TDrenaj* cu valorile corespunzătoare numărului curent elementului și le afișează în cadrul ferestrei.

```

Constructor TPIntBox.init;

var
  R: TRect;

begin
  R.Assign(0, 0, 60, 17);
  inherited Init(R, 'Puncte in interiorul domeniului');
  Options := Options or ofCentered;
  HelpCtx := $F000;

  R.Assign(16, 2, 28, 3);
  X := New(PInputLine, Init(R, 8));
  Insert(X);
  R.Assign(4, 2, 14, 3);
  Insert(New(PLabel, Init(R, '~X~ Punct:', X)));

  R.Assign(16, 4, 28, 5);
  Y := New(PInputLine, Init(R, 8));
  Insert(Y);
  R.Assign(4, 4, 14, 5);
  Insert(New(PLabel, Init(R, '~Y~ Punct:', Y)));

  R.Assign(16, 6, 28, 7);
  Z := New(PInputLine, Init(R, 8));
  Insert(Z);
  R.Assign(4, 6, 14, 7);
  Insert(New(PLabel, Init(R, '~Z~ Punct:', Z)));

  R.Assign(2, 14, 12, 16);
  Insert(New(PButton, Init(R, '~O~k', cmRetine, bfNormal)));
  R.Assign(20, 14, 32, 16);
  Insert(New(PButton, Init(R, '~A~nterior', cmAnterior, bfNormal)));
  R.Assign(31, 14, 43, 16);
  Insert(New(PButton, Init(R, '~U~rmator', cmUrmator, bfNormal)));
  R.Assign(46, 14, 57, 16);
  Insert(New(PButton, Init(R, '~A~nulare', cmCancel, bfNormal)));

  CurrentOrder := 1;

```

```

R.Assign(5, 16, 20, 17);
Counter := New(PCountView, Init(R));
with Counter^ do
begin
  SetCount(MaxInt);
  SetCurrent(CurrentOrder);
end;

Insert(Counter);
SelectNext(False);

DisableCommands([cmAnterior]);
T:=P;Show;
end;

```

Metoda *TPIntBox.Show* , are funcția de a inițializa câmpurile obiectului *TPInt* cu valorile corespunzătoare elementului curent. Prin procedura *SetData* moștenită de la *TView*, se copiază un număr de octeți din parametru în structura internă a obiectului, în cazul de față fereastra de dialog. În plus metoda activează sau dezactivează comenzile *cmUrmător*, *cmAnterior* funcție de valoarea lui *CurrentOrder* care indică poziția elementului curent.

```

Procedure TPIntBox.Show;

Begin

  If CurrentOrder >= MaxInt Then
    DisableCommands([cmUrmator])
  else
    EnableCommands([cmUrmator]);
  If CurrentOrder <=1 Then
    DisableCommands([cmAnterior])
  else
    EnableCommands([cmAnterior]);
  New(PInt);
  With PInt^ Do
    Begin
      X:=T^.X;
      Y:=T^.Y;
      Z:=T^.Z;
    end;
  SetData(PInt^);
end;

```

Metoda *TPIntBox.Retine* are funcția de a prelua folosind metoda *GetData* datele care se află în fereastra de dialog și de a inițializa câmpurile obiectului *TBox* cu aceste valori.

```
Procedure TPIntBox.Retine;
```

```
Begin
```

```
  GetData(PInt^);
```

```
  With T^ Do
```

```
    Begin
```

```
      X:=PInt^.X;
```

```
      Y:=PInt^.Y;
```

```
      Z:=PInt^.Z;
```

```
    end;
```

```
end;
```

Destructorul *TPIntBox.Distruge*, realizează eliberarea zonei de memorie care a fost ocupată de către lista care a conținut punctele interioare ale domeniului. Variabilele dinamice referite se distrug prin apelul procedurii **Dispose**.

```
Destructor TPIntBox.Distruge;
```

```
Begin
```

```
  Q:=P;
```

```
  While P <> nil Do
```

```
    Begin
```

```
      P:=Q^.urm;
```

```
      Dispose(Q);
```

```
      Q:=P;
```

```
    end;
```

```
end;
```

Metoda *TPIntBox.HandleEvent* gestionează evenimentele asociate liniei de stare, prin apelul metodei *TView.HandleEvent*, apoi prin testul producerii a trei tipuri speciale de evenimente (mouse, key, broadcast).

```
Procedure TPIntBox.HandleEvent(var Event: TEvent);
```

```
var
```

```
  R: TRect;
```

```
begin
```

```
  inherited HandleEvent(Event);
```

```
  if Event.What = evCommand then
```

```
  begin
```

```
    case Event.Command of
```

```
      cmRetine:
```

```
        Begin
```

```
          If CurrentOrder > MaxInt Then
```

```
            Begin
```

```
              DisableCommands([cmUrmator])
```

```
            end
```

```
          else
```

```
            Begin
```

```
              EnableCommands([cmAnterior]);
```



```

Retine;
If CurrentOrder = MaxInt Then
  Begin
    CurrentOrder:=1;
    Counter^.SetCurrent(CurrentOrder);
    T:=P;
  end
else
  Begin
    CurrentOrder:=CurrentOrder+1;
    Counter^.SetCurrent(CurrentOrder);
    T:=T^.urm;
  end;
  Show;
  ClearEvent(Event);
end;
end;
cmAnterior:
  Begin
    CurrentOrder:=CurrentOrder-1;
    Counter^.SetCurrent(CurrentOrder);
    T:=T^.ant; Show;
    ClearEvent(Event);
  end;
cmUrmator:
  Begin
    CurrentOrder:=CurrentOrder+1;
    Counter^.SetCurrent(CurrentOrder);
    T:=T^.urm; Show;
    ClearEvent(Event);
  end;
end;
end;
end;

```

7.1.7 Submeniul; Puțuri imperfecte

Acest submeniu conține la rândul său încă două submeniuri. Primul submeniu *Parametrii puțuri* este folosit pentru editarea următoarelor date:

- Coordonatele puțurilor imperfecte (abscisă, ordonată);
- Numărul de elemente ale puțurilor (discretizarea lor);
- Grosimea stratului acvifer;
- Raza puțului imperfect.

Al doilea submeniu *Parametrii elementelor* este folosit pentru discretizarea puțului imperfect, respectiv pentru editarea cotei elementelor care alcătuiesc puțul imperfect precum și a potențialului fiecărui element al puțului imperfect.

Parametrii puț imperfect 1

X Puț :

Y Puț :

Nr. puncte :

Gr. strat :

Raza puț :

Fig. 7.8 Meniul de editare pentru parametrii puțurilor imperfecte

Procedurile și funcțiile folosite pentru editarea din cadrul acestui submeniu se afla în unitul *Putimper.pas*. În cadrul acestui unit puțurile imperfecte sunt definite ca fiind obiecte de tipul *TPutimp* în care X, Y, Puncte, T, Raza sunt câmpurile sale.

Și în acest caz obiectul *TPutimp* mai conține în plus și elementele *ant* și *urm* care sunt de tip referință la obiectul *TPutimp*. Deoarece mulțimea elementelor care alcătuiesc puțurile imperfecte se află într-o structură de tip listă, elementele de tip referință *ant* și *urm* sunt folosite pentru deplasarea și poziționarea pe un anumit puț imperfect din cadrul listei.

```
Type
  PPutImp = ^TPutImp;

  TPutImp = Object
    X      : String[8];
    Y      : String[8];
    Puncte : String[8];
    T      : String[8];
    Raza   : String[8];
    ant,urm: PPutImp;
  end;
```

Pentru a putea vizualiza câmpurile obiectului *TPutimp* tot în cadrul unitului *Putimper.pas* este definit obiectul *TputImpBox*. Unitul *Lambd.pas* conține elementele necesare editării coeficientului *lambda* în cazul în care mișcarea în interiorul puțului imperfect este cu pierdere de sarcină.

```

PPutImpBox = ^TPutImpBox;
TPutImpBox = Object(TDialog)
X, Y, Puncte, T, Raza: PInputLine;
Counter: PCountView;
Constructor Init;
Procedure HandleEvent(var Event: TEvent);virtual;
Procedure Show;
Procedure Retine;
end;

Unit Lambd;

Interface
Uses Objects, Dialogs, Drivers, Iteratii;

Type
PLam = ^TLam;
TLam = Object
    Lamb    : string[3];
end;
LambdaBox = ^CoefBox;
CoefBox = Object(TDialog)
    Lamb: PInputLine;
    Constructor Init;
    Procedure HandleEvent(var Event: TEvent);virtual;
    Procedure Conversie;
end;

```

Câmpurile obiectului *TPutimpBox* sunt X, Y, Puncte, T și Raza de tip *PinputLine*. Pentru introducerea valorilor acestor câmpuri se folosesc obiecte de tip *TInputLine*, derivate din *TView*, al cărui constructor crează o linie în care se pot înscrie un anumit număr de caractere. Și în acest caz pentru etichetarea fiecărei linii cu un text explicativ se utilizează obiectul *TLabel*, derivat din *TStaticText*, al cărui constructor crează o etichetă, pusă în evidență pe ecranul monitorului în momentul selectării unuia din câmpuri. În continuare este exemplificat modul de realizare al ferestrei pentru editarea valorilor în cazul puțurilor imperfecte.

```

R.Assign(0, 0, 60, 17);
Str(j, Sir);
inherited Init(R, 'Put imperfect '+Sir);
Options := Options or ofCentered;
HelpCtx := $F000;

```

```

R.Assign(16, 2, 28, 3);
X := New(PInputLine, Init(R, 8));
Insert(X);
R.Assign(4, 2, 14, 3);
Insert(New(PLabel, Init(R, '~X~ Put   :', X)));

R.Assign(16, 4, 28, 5);
Y := New(PInputLine, Init(R, 8));
Insert(Y);
R.Assign(4, 4, 14, 5);
Insert(New(PLabel, Init(R, '~Y~ Put   :', Y)));

R.Assign(16, 6, 28, 7);
Puncte := New(PInputLine, Init(R, 8));
Insert(Puncte);
R.Assign(4, 6, 14, 7);
Insert(New(PLabel, Init(R, '~N~r.pcte :', Puncte)));

R.Assign(16, 8, 28, 9);
T := New(PInputLine, Init(R, 8));
Insert(T);
R.Assign(4, 8, 14, 9);
Insert(New(PLabel, Init(R, '~G~r.Strat:', T)));

R.Assign(16, 10, 28, 11);
Raza := New(PInputLine, Init(R, 8));
Insert(Raza);
R.Assign(4, 10, 14, 11);
Insert(New(PLabel, Init(R, '~R~aza put:', Raza)));

```

Pentru obiectul *TLam* realizarea ferestrei pentru editarea valorilor are următoarea formă:

```

R.Assign(0, 0, 30, 7);
inherited Init(R, 'Coeficientul Lambda ');
Options := Options or ofCentered;
HelpCtx := $F000;

R.Assign(16, 2, 28, 3);
Lamb := New(PInputLine, Init(R, 8));
Insert(Lamb);
R.Assign(4, 2, 14, 3);
Insert(New(PLabel, Init(R, '~L~ambda   :', Lamb)));

```

Constructorul *TPutImpBox.Init* inițializează de fapt fereastra de dialog, care se poate deplasa și închide dimensiunile ei rămânând nemodificabile. În această

fereastră se fixează și butoanele **Memo**, **Anterior**, **Următor** și **Închide**, se inițializează valoarea maximă a contorului la o valoare egală cu **MaxImper** (numărul maxim de puțuri imperfecte din cadrul domeniului), valoarea curentă fiind egală cu 1, după care folosind metoda **Show** se inițializează câmpurile obiectului **TPutImp** cu valorile corespunzătoare numărului curent puțului imperfect și le afișează în cadrul ferestrei.

```

Constructor TPutImpBox.init;

var
  R   : TRect;
  Sir :String;
begin

  R.Assign(0, 0, 60, 17);
  Str(j,Sir);
  inherited Init(R, 'Put imperfect '+Sir);
  Options := Options or ofCentered;
  HelpCtx := $F000;

  R.Assign(16, 2, 28, 3);
  X := New(PInputLine, Init(R, 8));
  Insert(X);
  R.Assign(4, 2, 14, 3);
  Insert(New(PLabel, Init(R, '~X~ Put   :', X)));

  R.Assign(16, 4, 28, 5);
  Y := New(PInputLine, Init(R, 8));
  Insert(Y);
  R.Assign(4, 4, 14, 5);
  Insert(New(PLabel, Init(R, '~Y~ Put   :', Y)));

  R.Assign(16, 6, 28, 7);
  Puncte := New(PInputLine, Init(R, 8));
  Insert(Puncte);
  R.Assign(4, 6, 14, 7);
  Insert(New(PLabel, Init(R, '~N~r.pcte :', Puncte)));

  R.Assign(16, 8, 28, 9);
  T := New(PInputLine, Init(R, 8));
  Insert(T);
  R.Assign(4, 8, 14, 9);
  Insert(New(PLabel, Init(R, '~G~r.Strat:', T)));

  R.Assign(16, 10, 28, 11);
  Raza := New(PInputLine, Init(R, 8));
  Insert(Raza);
  R.Assign(4, 10, 14, 11);
  Insert(New(PLabel, Init(R, '~R~aza put:', Raza)));

```

```

R.Assign(2, 14, 12, 16);
Insert(New(PButton, Init(R, '~O~k', cmRetine, bfNormal)));
R.Assign(24, 14, 34, 16);
Insert(New(PButton, Init(R, '~A~nter', cmAnterior, bfNormal)));
R.Assign(35, 14, 45, 16);
Insert(New(PButton, Init(R, '~U~rmat', cmUrmator, bfNormal)));
R.Assign(46, 14, 56, 16);
Insert(New(PButton, Init(R, '~A~nulare', cmCancel, bfNormal)));

CurrentOrder := 1;

R.Assign(5, 16, 20, 17);
Counter := New(PCountView, Init(R));
with Counter^ do
begin
  SetCount(MaxImper);
  SetCurrent(CurrentOrder);
end;

Insert(Counter);
SelectNext(False);
DisableCommands([cmAnterior]);
Ti:=Pi;
Show;
end;

```

În cazul coeficientului lambda constructorul are următoarea formă:

```

Constructor CoefBox.init;

var
  R : TRect;

Begin
  R.Assign(0, 0, 30, 7);
  inherited Init(R, 'Coeficientul Lambda ');
  Options := Options or ofCentered;
  HelpCtx := $F000;

  R.Assign(16, 2, 28, 3);
  Lamb := New(PInputLine, Init(R, 8));
  Insert(Lamb);
  R.Assign(4, 2, 14, 3);
  Insert(New(PLabel, Init(R, '~L~ambda :', Lamb)));

  R.Assign(3, 4, 13, 6);
  Insert(New(PButton, Init(R, '~O~k', cmRetineLambda, bfNormal)));

  R.Assign(15, 4, 25, 6);
  Insert(New(PButton, Init(R, '~C~lose', cmOk, bfNormal)));
  SelectNext(False);
end;

```

Metoda *TPutImpBox.Show*, are funcția de a inițializa câmpurile obiectului *TPutimp* cu valorile corespunzătoare elementului curent. Prin procedura *SetData* moștenită de la *TView*, se copiază un număr de octeți din parametru în structura internă a obiectului, în cazul de față fereastra de dialog. În plus metoda activează sau dezactivează comenzile *cmUrmător*, *cmAnterior* funcție de valoarea lui *CurrentOrder* care indică poziția elementului curent.

Elementele puțului imperfect 1

Nr puț :

Z punct :

Potențial :

1 din 5

Fig. 7.9 Meniul de editare al discretizării puțurilor imperfecte

```

Procedure TPutImpBox.Show;
Begin
    If CurrentOrder >= MaxImper Then
        DisableCommands([cmUrmator])
    else
        EnableCommands([cmUrmator]);

    If CurrentOrder <=1 Then
        DisableCommands([cmAnterior])
    else

```

```

    EnableCommands (|cmAnterior]);
New(PutImp);
With PutImp^ Do
    Begin
        X:=Ti^.x;
        Y:=Ti^.y;
        Puncte:=Ti^.Puncte;
        T:=Ti^.T;
        Raza:=Ti^.Raza;
    end;
    SetData (PutImp^);
end;

```

Metoda *TPutImpBox.Retine* are funcția de a prelua folosind metoda *GetData* datele care se află în fereastra de dialog și de a inițializa câmpurile obiectului TBox cu aceste valori.

```

Procedure TPutImpBox.Retine;

Var
    code: Integer;

Begin
    GetData (PutImp^);
    With Ti^ Do
        Begin
            X:=PutImp^.X;
            Y:=PutImp^.Y;
            Puncte:=PutImp^.Puncte;
            T:=PutImp^.T;
            Raza:=PutImp^.Raza;
        end;
        Val (Ti^.Puncte, ElImp[CurrentOrder], code);
    end;

```

Destructorul *TPutImpBox.Distruge*, realizează eliberarea zonei de memorie care a fost ocupată de către lista care a conținut puțurile imperfecte ale domeniului. Variabilele dinamice referite se distrug prin apelul procedurii **Dispose**.

```

Destructor TPutImpBox.Distruge;

Begin
    Qi:=Pi;
    While Pi <> nil Do
        Begin

```



```

    Pi:=Qi^.urm;
    Dispose(Qi);
    Qi:=Pi;
end;
end;

```

Metoda *TPutImpBox.HandleEvent* gestionează evenimentele asociate liniei de stare, prin apelul metodei *TView.HandleEvent*, apoi prin testul producerii a trei tipuri speciale de evenimente (mouse, key, broadcast).

```

Procedure TPutImpBox.HandleEvent(var Event: TEvent);
var
    R: TRect;
begin
    inherited HandleEvent(Event);
    if Event.What = evCommand then
    begin
        case Event.Command of
            cmRetine:
                Begin
                    If CurrentOrder > MaxImper Then
                    Begin
                        DisableCommands([cmUrmator])
                    end
                    else
                    Begin
                        EnableCommands([cmAnterior]);
                        Retine;
                        If CurrentOrder = MaxImper Then
                        Begin
                            CurrentOrder:=1;
                            Counter^.SetCurrent(CurrentOrder);
                            Ti:=Pi;
                        end
                        else
                        Begin
                            CurrentOrder:=CurrentOrder+1;
                            Counter^.SetCurrent(CurrentOrder);
                            Ti:=Ti^.urm;
                        end;
                        Show;{Dispose(PutImp)};
                        ClearEvent(Event);
                    end;
                end;
            cmAnterior:
                Begin
                    CurrentOrder:=CurrentOrder-1;
                    Counter^.SetCurrent(CurrentOrder);
                    Ti:=Ti^.ant;
                    Show;{Dispose(PutImp)};
                    ClearEvent(Event);
                end;
        end;
    end;
end;

```

```

    end;
cmUrmator:
  Begin
    CurrentOrder:=CurrentOrder+1;
    Counter^.SetCurrent (CurrentOrder);
    Ti:=Ti^.urm;
    Show; {Dispose (PutImp);}
    ClearEvent (Event);
  end;
end;
end;
end;

```

În cazul unitului *Lambda.pas*

```

procedure CoefBox.HandleEvent (var Event: TEvent);
var
  R: TRect;

Begin
  inherited HandleEvent (Event);
  if Event.What = evCommand then
  begin
    case Event.Command of
      cmRetineLambda:
        Begin
          Conversie;
          ClearEvent (Event);
        end;
    end;
  end;
end;
end;

```

7.1.8 Submeniul; Subdomenii

Acest submeniu conține la rândul său încă două submeniuri. Primul submeniu *Parametrii subdomeniu* este folosit pentru editarea următoarelor date:

- Numărul de ordine al subdomeniului;
- Numărul de elemente al subdomeniului;
- Aportul de precipitații pentru subdomeniul în cauză.

Al doilea submeniu *Coordonate subdomeniu* este folosit pentru editarea frontierei subdomeniilor acesta permițând editarea următoarelor date:

- Numărul punctului de pe frontieră;
- Abscisa punctului respectiv;
- Ordonata punctului respectiv.

Schematic cele două submeniuri se prezintă în felul următor:

-Subdomenii -

Nr subdomeniu :

Nr. puncte subd. :

Aport [Eps/KT] :

Memo Anterior Urmator Terminare

1 din 5

Fig. 7.10 Meniul de editare pentru subdomenii

-Coordonatele subdomeniului 2 -

Nr punct :

X punct :

Y punct :

Memo Anterior Urmator Terminare

2 din 3

Fig. 7.11 Meniul de editare al discretizării subdomeniilor

Deoarece variabilele care intervin în cazul subdomeniilor este relativ mic nu s-a mai recurs la structuri de date dinamice ele fiind declarate ca variabile de tip tablou.

Type

```

Coordonate_Subdomen = Object
  X,Y:Real;
end;

```

Var

```

Sub :Array[1..Max] of Coordonate_Subdomen;

```

7.1.9 Submeniul folosit pentru salvarea și încărcarea datelor

În vederea rulării programului MEFRO setul de date introduse, respectiv editate prin intermediul submeniurilor prezentate anterior trebuie să fie salvat sub forma unui fișier de date. În acest sens se va putea crea pentru fiecare aplicație în parte un fișier de date caracteristic aplicației. Pentru realizarea submeniului de salvare al datelor s-a folosit fereastra de dialog standard *TFileDialog*, descendentă din *TDialog*.

TFileDialog asigură interfața necesară pentru alegerea unui nume de fișier din catalogul dorit sau introducerea unui nou. Această interfață este similară celei folosite pentru alegerea unui fișier chiar de către Borland Pascal. *TFileDialog* asigură doar posibilitatea de a selecta comod un fișier, prelucrarea efectivă a fișierului se va realiza prin intermediul procedurilor *Salvează* și *Citește*.

```
If ExecuteDialog(New(PFileDialog, Init('*.*fro', 'Salveaza fisier cu date',
    '~N~ume fisier', fdOkButton, 100)), @FileName) <> cmCancel then
    Salveaza;
```

Salvează reprezintă procedura de salvare a setului de date, numele fișierului de date trebuind să conțină maxim 8 caractere alfanumerice, extensia sau specificatorul de fișier fiind implicit *.fro*.

Pentru încărcarea unui set de date se folosește tot fereastra standard de dialog standard *TFileDialog*, descendentă din *TDialog*. Procedura *Citește* este folosită pentru deschiderea fișierului de date al aplicației și citirea datelor sale. Implicit specificatorul de fișier este *.fro*.

```
FileName := '*.*fro';
If ExecuteDialog(New(PFileDialog, Init('*.*fro', 'Incarca fisierul cu
date', '~N~ume fisier', fdOpenButton, 100)), @FileName) <> cmCancel then
    Citeste;
```

În ambele cazuri fereastra de dialog are o secțiune pentru fișiere, o listă a istoriei fișierelor folosite și butoanele standard **Ok** și **Cancel** folosite pentru validarea respectiv anularea comenzii de salvare sau încărcare.

7.2 Meniul Rulare program folosit în cadrul programului MEFRO.

În principiu prin apelarea acestui meniu, utilizatorului i se crează posibilitatea alegerii unui fișier de date (fișier care a fost creat anterior folosind meniul Editare date program împreună cu submeniurile asociate), care va fi citit folosindu-se procedura *Read_Data*. După citirea datelor, pasul următor constă în calculul și asamblarea matricii A_{ji} , care se efectuează prin apelul procedurii *Calc_Aji*. Procedura *Calc_Bji*, calculează termenii liberi ai sistemului de ecuații, respectiv assemblează matricea B_{ji} . Odată construite aceste matrici procedura *Asamblare* crează matricea extinsă a sistemului de ecuații, matrice care este scrisă și stocată sub forma unui fișier de date pe hardisk-ul calculatorului urmând ca procedura *Solve_System* să realizeze rezolvarea acestui sistem de ecuații.

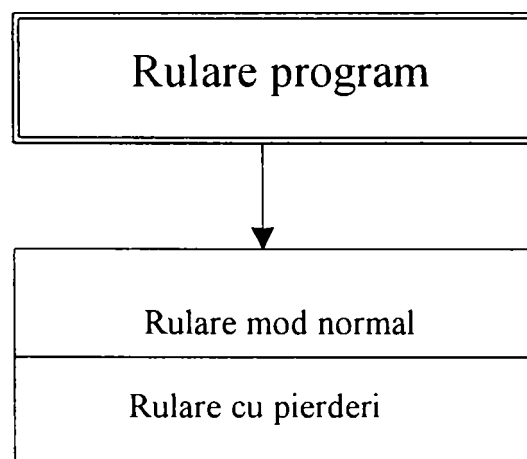


Fig. 7.12 Meniul Rulare al programului MEFRO

În continuare folosind rezultatele obținute în urma rezolvării sistemului de ecuații se obțin următoarele rezultate finale:

- potențialul în punctele mijlocii ale frontierei, procedura *Pot_punct_mijlocii*;
- potențialul în puncte interioare ale domeniului, procedura *Pot_puncte_interioare*;
- fluxul pe conturul domeniului, procedura *Flux_pe_Contur*;
- valorile pierderilor de sarcină precum și fluxul puțurilor imperfecte după caz folosind procedura *Calcul_Pierderi*.

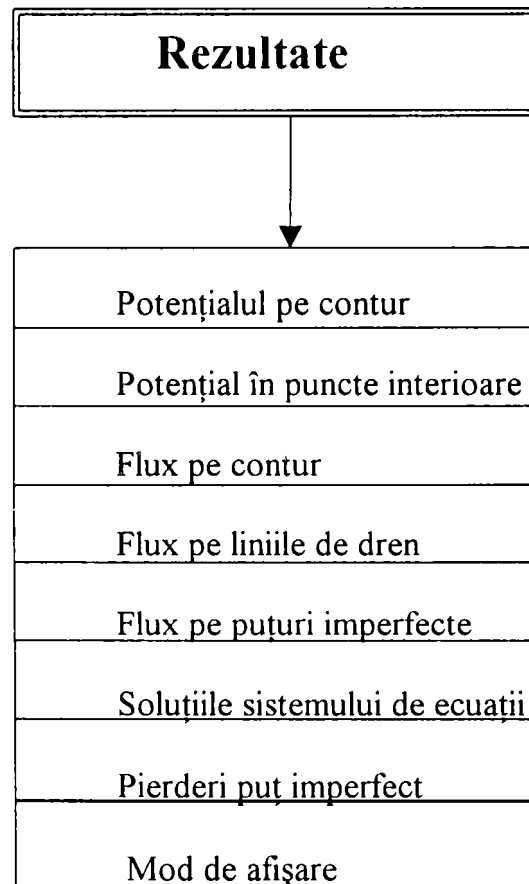


Fig. 7.13 Meniul Rezultate al programului MEFRO

Procedura *Write_in_file* este folosită pentru scrierea acestor rezultate finale în fișiere cu format ASCII, care au denumiri speciale funcție de conținutul informației pe care îl dețin.

Metoda apelată pentru execuția ferestrei de dialog în vederea citirii fișierului de date pentru a executa rularea programului este **CiteșteRun** și are următoarea formă:

```

Procedure TEditorApp.CitesteRun(WildCard: PathStr);

Var
  FileName: FNameStr;

Begin
  FileName := '*.fro';
  if ExecuteDialog(New(PFileDialog, Init(WildCard, 'Incarca un fisier de
date',
  '~N~umele fisierului', fdOkButton, 100)), @FileName) <> cmCancel
  Then
    Begin
DisableCommands([cmRezContur, cmRezInt, cmRezFlux, cmRezPierderi, CmRezDren, c
mRezSol, cmFluxImper]);
      Assign(read_file, FileName); Mefrorez;
      EnableCommands([cmRezContur, cmRezSol, cmRezFlux]);
      If n1 > 0 Then EnableCommands([cmRezInt]);
      If n3 > 0 Then EnableCommands([cmRezDren]);
      If n7 > 0 Then EnableCommands([cmFluxImper]);
      If Pierderi Then EnableCommands([cmRezPierderi]);
    end;
end;

```

Se observă că după alegerea tipului de fișier se execută procedura *Mefrorez* al cărui corp este prezentat mai jos și care care conține procedurile menționate și descrise anterior

```

Procedure Mefrorez;

Begin
  ElibHeap;
  If Pierderi Then Iteratia:=Iteratia+1;
  Reset(read_file);
  Read_data;
  Close(read_file);
  Calc_Aji;
  Calc_Bji;
  Asamblare;
  Solve_sistem(Lin, rez);
  Pot_punct_mijlocii;
  Pot_puncte_interioare;
  Flux_pe_contur;
  Write_in_file;
  If Pierderi Then Calcul_pierderi;
  EndRun;
end;

```


7.2.1 Particularități specifice folosite în cadrul meniului Rulare.

Prima etapă după apelarea procedurii *Mefrorez* o reprezintă apelul procedurii *ElibHeap*. Această procedură are rolul de a elibera zona Heap de memorie de eventualele variabile dinamice în vederea alocării unui spațiu cât mai mare pentru operațiile ulterioare. Procedura *ElibHeap* are următoarea formă:

```
Procedure ElibHeap;  
  
Begin  
    FerContur.Distruge;  
    FerDren.Distruge;  
    FerPut.Distruge;  
    FerElemImp.Distruge;  
    FerPutH.Distruge;  
    FerPutQ.Distruge;  
    FerInter.Distruge;  
    FerSubDom.Distruge;  
    FerSubCoor.Distruge;  
    SingH.Sterge;  
    SingQ.Sterge;  
    Interior.Sterge;  
    Boun.Sterge;  
    LinDren.Sterge;  
end;
```

ea aplefând destructorii specifici definiți în cadrul obiectelor existente.

Variabila *Pierderi* reprezintă un selector care are valoarea True în cazul în care se dorește rezolvarea problemelor unde intervin puțuri imperfecte care prezintă în interior mișcare cu pierderi de sarcină (puțuri înisipate). Pentru restul tipurilor de probleme valoarea acestui selector este False.

În continuare urmează citirea datelor din fișierul de date selectat prin intermediul procedurii *Read_Data*, care se află în unitul *Sistem.pas* calculul matricii sistemului de ecuații, folosind procedura *Calc_Aji*, calculul termenilor liberi ai sistemului de ecuații, folosind procedura *Calc_Bji* și calculul matricii extinse a sistemului de ecuații folosind matricile *Aji* și *Bji* create prin intermediul procedurilor anterior menționate, prin procedura *Asamblare* care crează și salvează matricea extinsă a sistemului de ecuații sub forma unui fișier *aji.sis* pe hardisk-ul unității de calcul.

7.2.2 Procedura numerică de rezolvare a sistemului de ecuații.

Rezolvarea sistemelor de ecuații algebrice este unul din capitolele analizei numerice frecvent abordat și în cadrul căreia s-a făcut progrese substanțiale odată cu apariția calculatoarelor dotate cu procesoare prevăzute cu viteză mare lucru.

În general metodele de rezolvare a unui sistem de ecuații se grupează în două categorii: metode directe, bazate pe procedee de eliminare, și metode iterative.

Pentru rezolvarea numerică a sistemelor de ecuații algebrice liniare există în literatură un număr mare de metode, unele din acestea fiind însă inutilizabile din punct de vedere al calculatorului. La alegerea unei metode de calcul, pentru rezolvarea unei anumite probleme pe un sistem de calcul dat, trebuie avute în vedere o serie de criterii cum ar fi: numărul secvențelor de calcul, precizia rezultatelor, posibilitatea introducerii unor teste de precizie pe parcursul desfășurării algoritmului.

În cadrul metodelor directe, care se consideră a fi metode exacte, s-au impus metodele care au la bază algoritmul de eliminare Gauss, cu variantele Gauss-Jordan, Doolittle, Court, Cholesky [20], [36], [46], [47], [58].

Metodele exacte permit obținerea soluției exacte a sistemului de ecuații, făcând abstracție de erorile de tip round-off ale sistemului de calcul, de erorile de rotunjire și trunchiere, folosind un număr finit de operații elementare.

În cadrul metodelor iterative s-au impus metodele Jacobi, Gauss-Seidel, metoda relaxărilor succesive [37], [36], [55], metoda gradientului conjugat [50] și metoda Lanczos [44].

Metodele iterative se caracterizează prin faptul că soluția sistemului considerat se obține ca limită a unui șir de valori ce reprezintă soluții pentru diverse iterații succesive. În cadrul acestor metode, se pune problema de a alege aceea dintre metode, care asigură cea mai mare viteză de convergență a soluțiilor pentru o aproximare inițială adecvat aleasă.

În ceea ce privește sistemul de ecuații care se formează în cadrul MEFRO, el este un sistem compatibil determinat, numărul de necunoscute fiind egal cu numărul de ecuații ale sistemului.

Metoda folosită la rezolvarea sistemului de ecuații este o metodă exactă, metoda Gauss (eliminare parțială) în care matricea A_j a sistemului este triunghiularizată superior.

Opțiunea pentru această metodă este argumentată de faptul că, în rezolvarea unor sisteme de ecuații de mari dimensiuni, timpul de execuție pe calculator este proporțional cu numărul înmulțirilor simple ce trebuie efectuate pentru determinarea necunoscutelor. Din acest punct de vedere [6], [8], [7], [14], [50], metoda de eliminare directă Gauss comportă cel mai mic număr de operații. Pentru un sistem liniar cu n ecuații, numărul N de operații aritmetice necesare pentru eliminarea Gauss este [36]:

$$N = \frac{1}{6}(4n^3 + 9n^2 - 7n)$$

Transformările efectuate asupra matricei A pot fi rezumate la etapa k în formulele [58]:

$$a_{ij}^{(k)} = \begin{cases} a_{ij}^{(k-1)} & \text{pentru } i \leq k-1 \text{ și oricare ar fi } j \in \overline{1, n} \\ 0 & \text{pentru } i \geq k, j \leq k-1, \\ a_{ij}^{(k-1)} - \frac{a_{i,k-1}^{(k-1)}}{a_{k-1,k-1}^{(k-1)}} a_{(k-1),j}^{(k-1)} & \text{pentru } i \geq k, j \geq k, \end{cases}$$

$$b_i^{(k)} = \begin{cases} b_i^{(k-1)} & \text{pentru } i \leq k-1, \\ b_i^{(k-1)} - \frac{a_{i,k-1}^{(k-1)}}{a_{k-1,k-1}^{(k-1)}} b_{k-1}^{(k-1)} & \text{pentru } i \geq k \end{cases}$$

Soluția sistemului de ecuații va fi:

$$x_n = \frac{b_n^{(n)}}{a_{n,n}^{(n)}}$$

$$x_i = \frac{b_i^{(i)} - \sum_{j=i+1}^n a_{ij}^{(i)} x_j}{a_{ii}^{(i)}}, \quad i = n-1, n-2, \dots, 1.$$

Rezolvarea sistemului de ecuații se face apelând procedura *Solve_Sistem* care în baza metodei Gauss anterior prezentată, folosește matricea extinsă a sistemului creată și salvată cu ajutorul procedurii *Asamblare*.

Procedura are următorul conținut:

```
Procedure Solve_sistem(var ns:Integer;Var rez:Rezultat);
```

```
Var
```

```
  n,i,j,k:Longint;  
  aii,aji,ajk,aik,anp,ann,anl:Real;  
  t1,t2,t3,t4,term1,term2,tp1:Real;  
  Fisier:File of real;
```

```
Begin
```

```
  Assign(fisier,'aji.dat');  
  Reset(fisier);  
  n:=ns;  
  For i:=1 to n-1 Do  
    Begin  
      Seek(fisier,(i-1)*(n+1)+i-1);  
      Read(fisier,aii);  
      For j:=i+1 to n Do  
        Begin  
          Seek(fisier,(j-1)*(n+1)+i-1);  
          Read(fisier,aji);  
          For k:=n+1 DownTo i+1 Do  
            Begin  
              Seek(fisier,(j-1)*(n+1)+k-1);  
              Read(fisier,ajk);  
              Seek(fisier,(i-1)*(n+1)+k-1);  
              Read(fisier,aik);  
              ajk:=ajk-(aik/aii)*aji;  
              Seek(fisier,(j-1)*(n+1)+k-1);  
              Write(fisier,ajk);  
            end;  
          end;  
        end;  
      end;  
    end;  
  
  Seek(fisier,(n-1)*(n+1)+n);  
  Read(fisier,anp);  
  Seek(fisier,(n-1)*(n+1)+n-1);  
  Read(fisier,ann);  
  anl:=anp/ann;  
  Seek(fisier,(n-1)*(n+1));  
  Write(fisier,anl);  
  For i:=n downto 2 Do  
    Begin  
      Seek(fisier,(i-2)*(n+1)+n);  
      Read(fisier,t1);  
      Seek(fisier,(i-1)*(n+1));  
      Read(fisier,t2);  
      Seek(fisier,(i-2)*(n+1)+i-1);  
      Read(fisier,t3);  
      Seek(fisier,(i-2)*(n+1)+i-2);  
      Read(fisier,t4);  
      tp1:=(t1-t2*t3)/t4;  
      Seek(fisier,(i-2)*(n+1));  
      Write(fisier,tp1);  
    end;
```

```

For j:=i-2 downto 1 Do
  Begin
    Seek(fisier, (j-1)*(n+1)+n);
    Read(fisier, term1);
    Seek(fisier, (j-1)*(n+1)+i-1);
    Read(fisier, term2);
    term1:=term1-t2*term2;
    Seek(fisier, (j-1)*(n+1)+n);
    Write(fisier, term1);
  end;
end;

For i:=1 to n Do
  Begin
    Seek(fisier, (i-1)*(n+1));
    Read(fisier, rez[i]);
  end;
Close(fisier);
end;

```

Procedura lucrează deci cu un singur fișier **aji.sis** care conține matricea extinsă a sistemului de ecuații și care se autodistrugă pe parcursul rezolvării sistemului. Datorită acestui mod de rezolvare se elimină stocarea matricii extinse a sistemului într-un tablou cu două dimensiuni ceea ce ar necesita ocuparea unei zone de memorie semnificativă ca și mărime și care în cazul unui volum mare de date ar putea conduce la imposibilitatea rulării programului. În acest mod numărul de ecuații poate fi considerabil mărit fără a mai apare probleme deosebite în ceea ce privește ocuparea memoriei calculatorului datorită faptului că pentru rezolvarea sistemului se folosesc fișiere stocate pe hardisk.

În urma rezolvării sistemului de ecuații se obțin soluțiile sistemului care reprezintă valori ale surselor de distribuție și care ulterior introduse în relațiile de calcul ale înălțimii piezometrice și ale fluxului pe contur permit determinarea acestor valori.

Rezultatele rulării programului sunt scrise în fișiere care pot fi vizualizate accesând meniul **Rezultate** din cadrul programului general MEFRO. Totodată, funcție de necesități aceste rezultate pot fi tipărite la imprimantă.

7.3 Meniul Rezultate folosit în cadrul programului MEFRO.

În urma rulării unei aplicații MEFRO rezultatele rulării programului se vor afla în fișiere de tip text, cu conținut în format ASCII. Aceste fișiere au denumiri funcție de tipul datelor pe care le conțin. Astfel:

- **'Pot_pct.dat'** – conține potențialul calculat în punctele mijlocii ale elementelor de frontieră
- **'Pot_int.dat'** – conține potențialul calculat în punctele interioare ale domeniului
- **'Flc_con.dat'** – conține fluxul calculat pe frontiera domeniului
- **'Puturi.dat'** - conține fluxul calculat în cazul puțurilor imperfecte, pe fiecare element al puțului imperfect
- **'Flux_dre.dat'** - conține valori calculate ale fluxului de-a lungul liniilor de drenaj
- **'Sol_sis.dat'** – conține soluțiile sistemului de ecuații
- **'Imperrez.dat'** – conține valori calculate ale fluxului precum și ale pierderilor de sarcină în cazul în care puțurile imperfecte prezintă mișcarea interioară cu pierderi de sarcină, succesiv pentru fiecare iterație.

Pentru exploatarea conținutului acestor fișiere s-a apelat la funcția OpenViz de tip TEditWindow. Conținutul acestei funcții este prezentat în cele ce urmează.

```
Function Aplicatia.OpenViz(FileName: FNameStr): PEditWindow;  
var  
    P: PView;  
    R: TRect;  
begin  
    DeskTop^.GetExtent(R);  
    P:=Application^.ValidView(New(PTextwindow, Init(R, Filename)));  
    DeskTop^.Insert(P);  
end;
```

Prin intermediul acestei funcții, corespunzător submeniului ales din cadrul meniului rezultate se realizează vizualizarea fișierului de date corespunzător submeniului selectat.

Conținutul fișierelor (rezultatele rulării MEFRO) pot fi prezentate simultan sub mai multe forme, de exemplu cărămidă sau cascadă. Folosind tastele definite cu acces direct, se poate activa următoarea fereastră, tasta F4, se poate închide fereastra curentă F3, sau se poate schimba numărul de linii afișate pe ecran F5. Aceste comenzi se află situate în linia de stare (Status line)

7.4 Meniul Listare date program folosit în cadrul programului MEFRO.

Acest meniu a fost creat pentru a putea oferi utilizatorului posibilitatea ca în urma unei aplicații să poată tipări la imprimantă rezultatele rulării aplicației și/sau a datelor de intrare folosite pentru rularea aplicației.

Alcătuirea meniului împreună cu submeniurile este prezentată în cele ce urmează:

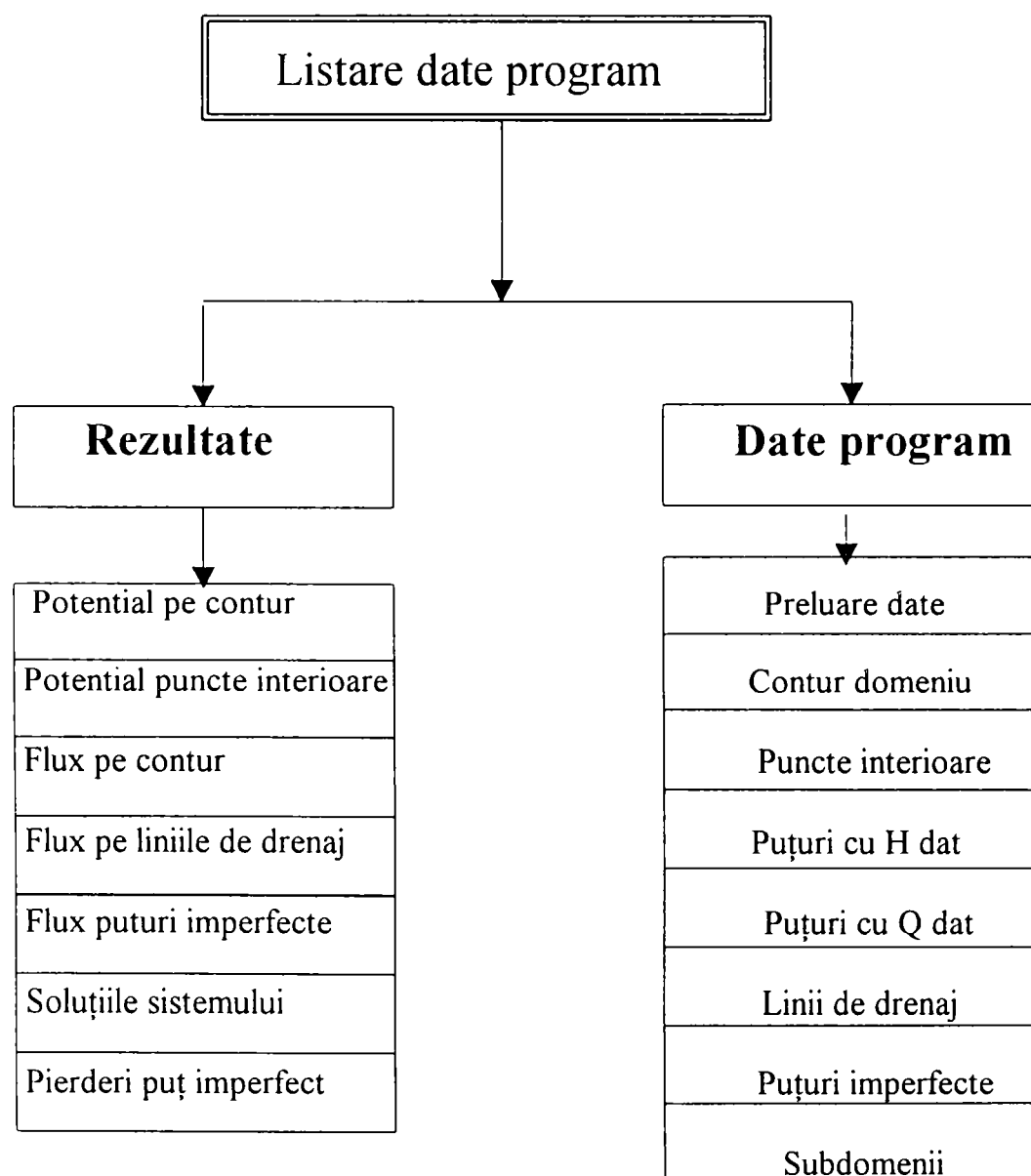


Fig. 7.14 Prezentarea meniului Listare date program din cadrul programului MEFRO

APLICAȚII ALE PROGRAMULUI MEFRO ÎN CADRUL SISTEMELOR COMPLEXE ALE CAPTĂRILOR SUBTERANE

În vederea testării programului elaborat s-au conceput și rulat o serie de exemple standard pentru care în mare parte a existat posibilitatea comparării cu rezultate exacte.

Ex.1 Calculul debitului unui puț izolat având o denivelare constantă.

În cadrul acestui exemplu s-a luat în considerare un puț situat într-un domeniu circular cu raza de influență de 10 m. raza puțului fiind 0,1m. (fig. 8.1). S-a considerat realizată o denivelare de 1m. Discretizarea domeniului este prezentată în tabelul 8.1

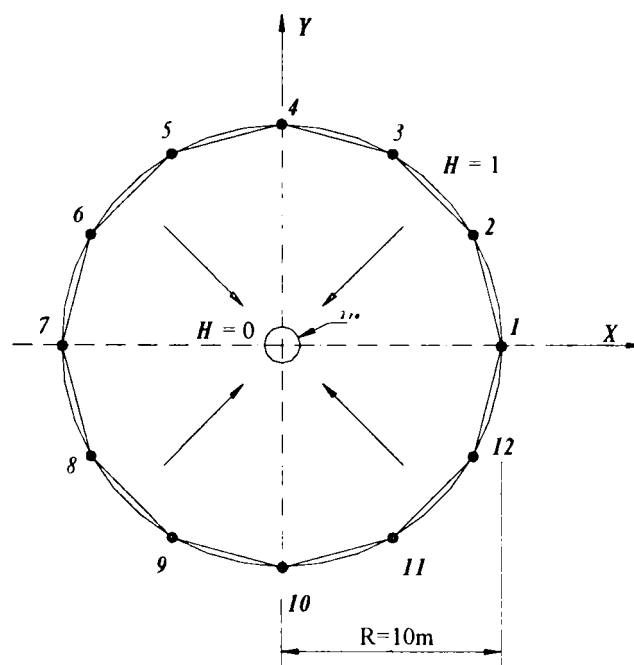


Fig.8.1 Discretizarea frontierei în cazul unui puț cu denivelare constantă

Valoarea debitului calculat analitic se obține cu ajutorul formulei cunoscute a puțurilor:

$$Q_A = \frac{2\pi kmS}{\ln \frac{R}{r_0}}$$

unde semnificația mărimilor care intervin este următoarea:

- Q_A debitul puțului calculat analitic;
- km transmisivitatea domeniului;
- R raza domeniului circular;
- r_0 raza puțului;
- S denivelarea realizată.

De asemenea au fost calculate valorile fluxului și a potențialului în anumite puncte din interiorul domeniului, atât numeric cât și analitic pentru a putea fi comparate în vederea stabilirii erorii cu care metoda de calcul numerică (MEFRO) furnizează valorile acestor mărimi. Aceste rezultate sunt prezentate în tabelele 8.2.

Tabelul 8.1

Nr. nod	Abscisă (m)	Ordonată (m)	Potențial contur (m)
1	10	0	1,00
2	8.7	5	1,00
3	5	8.7	1,00
4	0	10	1,00
5	-5	8.7	1,00
6	-8.7	5	1,00
7	-10	0	1,00
8	-8.7	-5	1,00
9	-5	-8.7	1,00
10	0	-10	1,00
11	5	-8.7	1,00
12	8.7	-5	1,00

Tabelul 8.2

Nr. element	H(m) MEFRO	Flux (q/l) MEFRO	H(m) analitic	Flux(q/l) analitic
1	1,00	-0,0217	1,00	-0.0217
2	1,00	-0,0218	1,00	-0.0217
3	1,00	-0,0217	1,00	-0.0217
4	1,00	-0,0217	1,00	-0.0217
5	1,00	-0,0218	1,00	-0.0217
6	1,00	-0,0217	1,00	-0.0217
7	1,00	-0,0217	1,00	-0.0217
8	1,00	-0,0218	1,00	-0.0217
9	1,00	-0,0217	1,00	-0.0217
10	1,00	-0,0217	1,00	-0.0217
11	1,00	-0,0218	1,00	-0.0217
12	1,00	-0,0218	1,00	-0.0217

Observatie:

Valoarea fluxului total (debitul puțului) calculat analitic este: $Q = - 1,364$

Valoarea fluxului (debitului) calculat cu MEFRO : $Q = -1,373$

Eroarea de calcul a debitului (global)este : $\varepsilon_{Q\%} = \left| \frac{Q_{MEFRO} - Q_{Analitic}}{Q_{Analitic}} \right| = 0,66\%$

Ex.2 Calculul denivelării într-un puț izolat cunoscând debitul constant extras

În acest caz s-a urmărit compararea denivelării calculate folosind metoda elementelor de frontieră respectiv programul MEFRO cu soluția analitică. În cadrul acestui caz s-a luat în considerare un puț cu raza de influență de 100 m, raza puțului fiind considerată 0,1m (fig. 7.1). S-a considerat extragerea unui debit cu valoarea de 0,909. Calculând analitic denivelarea corespunzătoare acestui debit rezultă o valoare de 1,000 m.

Schița discretizării este prezentată în figura 8.2 iar discretizarea domeniului împreună cu condițiile de margine sunt prezentate în tabelul 8.3.

În tabelul 8.4. sunt prezentate valorile potențialului și a fluxului pe conturul domeniului calculate cu MEFRO, comparativ cu valorile calculate analitic.

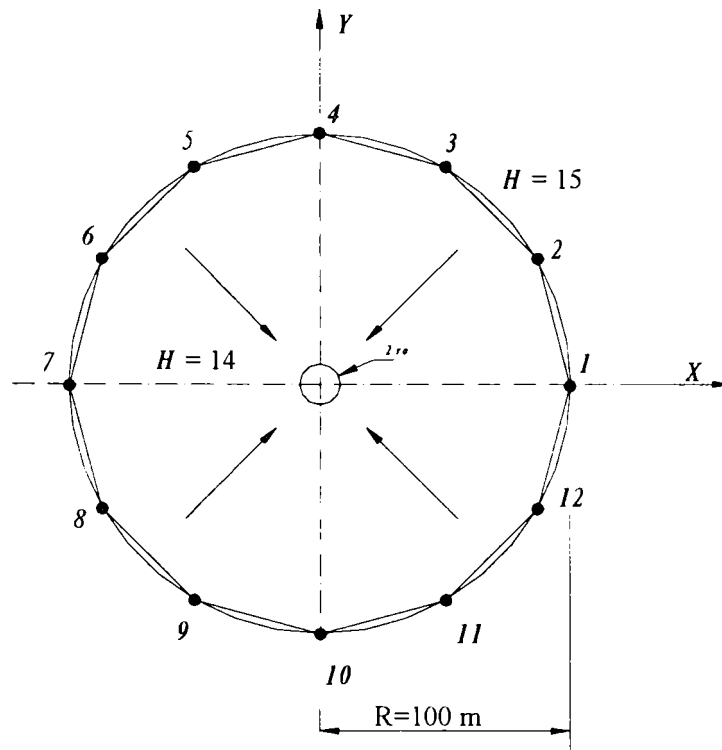


Fig 8.2 Discretizarea frontierei în cazul unui puț cu debit constant.

Tabelul 8.3

Nr. nod	Abcisa (m)	Ordonată (m)	Potential contur (m)
1	100,0	0,00	15,00
2	87,00	50,00	15,00
3	50,00	87,00	15,00
4	0,000	100,0	15,00
5	-50,0	87,00	15,00
6	-87,0	50,00	15,00
7	-100	0,000	15,00
8	-87,0	-50,0	15,00
9	-50,0	-87,0	15,00
10	0,00	-10,0	15,00
11	50,0	-87,0	15,00
12	87,0	-50,0	15,00

Tabelul 8.4

Nr. element	H(m) MEFRO	Flux (q/l) MEFRO	H(m) analitic	Flux(q/l) Analitic
1	15,00	-0.00142	15,00	-0.00144
2	15,00	-0.00143	15,00	-0.00144
3	15,00	-0.00142	15,00	-0.00144
4	15,00	-0.00142	15,00	-0.00144
5	15,00	-0.00143	15,00	-0.00144
6	15,00	-0.00142	15,00	-0.00144
7	15,00	-0.00142	15,00	-0.00144
8	15,00	-0.00143	15,00	-0.00144
9	15,00	-0.00142	15,00	-0.00144
10	15,00	-0.00142	15,00	-0.00144
11	15,00	-0.00143	15,00	-0.00144
12	15,00	-0.00142	15,00	-0.00144

Valoarea înălțimii piezometrice calculată în puț este:

$$H_{put}^{MEFRO} = 13,954 \text{ m}$$

Valoarea înălțimii piezometrice în puț calculată analitic este:

$$H_{put}^{MEFRO} = 14,000 \text{ m}$$

Eroarea de calcul a înălțimii piezometrice în puț este:

$$\varepsilon_{H\%} = \left| \frac{H_{MEFRO} - H_{Analitic}}{H_{Analitic}} \right| = 0,32\%$$

Ex.3 Cazul unei linii de drenaj de lungime finită

În acest caz, pentru stabilirea erorii de calcul a programului MEFRO față de soluția analitică s-a luat în considerare o linie de drenaj cu lungimea de 50 m, situată într-un domeniu având frontiera o elipsă cu raza mare $R=100$. Potențialul pe conturul exterior a fost considerat $H_{ext} = 15$ m, iar cel de pe linia de drenaj $H_{dren} = 10$ m.

Schița discretizării frontierei și a liniei de dren este prezentată în figura 8.3

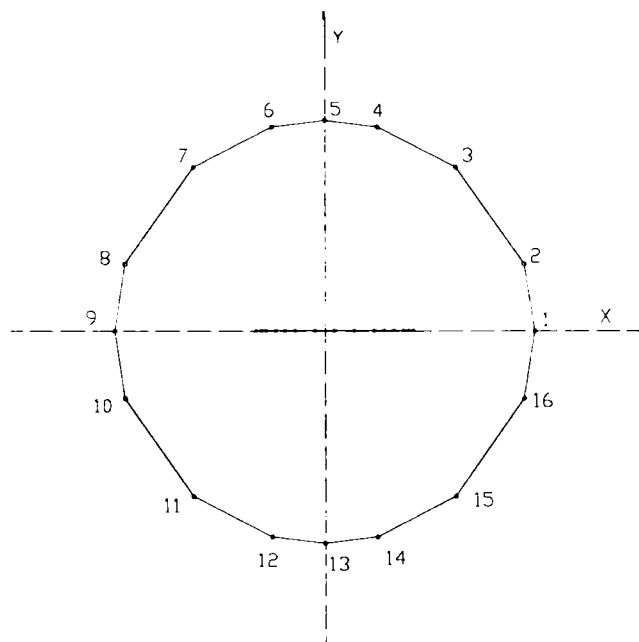


Fig. 8.3 Discretizarea frontierei și a liniei de dren în cazul unui dren de lungime finită

Tabel 8.5

Nod.crt linie dren	Abscisă [m]	Ordonată [m]
1	-25.00	0.00
2	-23.45	0.00
3	-21.88	0.00
4	-18.75	0.00
5	-15.70	0.00
6	-12.50	0.00
7	-6.25	0.00
8	0.00	0.00
9	6.25	0.00
10	12.50	0.00
11	15.70	0.00
12	18.75	0.00
13	21.88	0.00
14	23.45	0.00
15	25.00	0.00

Tabel 8.6

Nr. element dren	Potential elem. dren	$\frac{q}{km}$	$\frac{q \cdot l_e}{km}$
1	10.00	1.0435	1.6174
2	10.00	0.4596	0.7216
3	10.00	0.3395	1.0627
4	10.00	0.2666	0.8132
5	10.00	0.2353	0.7531
6	10.00	0.2083	1.3021
7	10.00	0.1934	1.2089
8	10.00	0.1934	1.2089
9	10.00	0.2083	1.3021
10	10.00	0.2353	0.7531
11	10.00	0.2666	0.8132
12	10.00	0.3395	1.0627
13	10.00	0.4596	0.7216
14	10.00	1.0435	1.6174

l_e - lungimea elementului de dren

Valoarea fluxului total al liniei de dren calculată cu MEFRO este:

$$\frac{Q_{dren}^{MEFRO}}{km} = 14,958$$

Valoarea fluxului liniei de dren calculată analitic [21] este:

$$\frac{Q_{dren}^{Analitic}}{km} = \frac{2\pi(H_c - H_{dren})}{\ln\left(\frac{R}{l_d/2} + \sqrt{\frac{R^2}{l_d^2/4} + 1}\right)} = 14,997 \text{ m}$$

Eroarea de calcul a fluxului total (debitului) liniei de dren este:

$$\varepsilon_{Q\%} = \left| \frac{Q_{MEFRO} - Q_{Analitic}}{Q_{Analitic}} \right| = 0,26\%$$

Ex.4 Cazul puțurilor imperfecte

Pentru evaluarea erorii metodei elementelor de frontieră cu programul MEFRO în cazul puțurilor imperfecte s-au luat în considerare relațiile analitice obținute de Muskat și Huisman.

Relația de calcul obținută de Muskat are forma:

$$\frac{Q}{k_f m} = \frac{2\pi(H_R - H_0)}{\ln \frac{R}{r_0} + \left(\frac{m}{l} - 1\right) \ln \frac{4m}{r_0} - \frac{m}{2l} f\left(\frac{l}{m}\right)} \quad (8.1)$$

unde valorile funcției f sunt exprimate în tabelul 8.7

Tabelul 8.7

l/m	0.05	0.08	0.1	0.2	0.3	0.4	0.5	0.6	0.7	0.8	0.9	1.0
$f(l/m)$	8	7	6.5	5.2	4.2	3.6	3	2.4	1.9	1.4	0.8	0

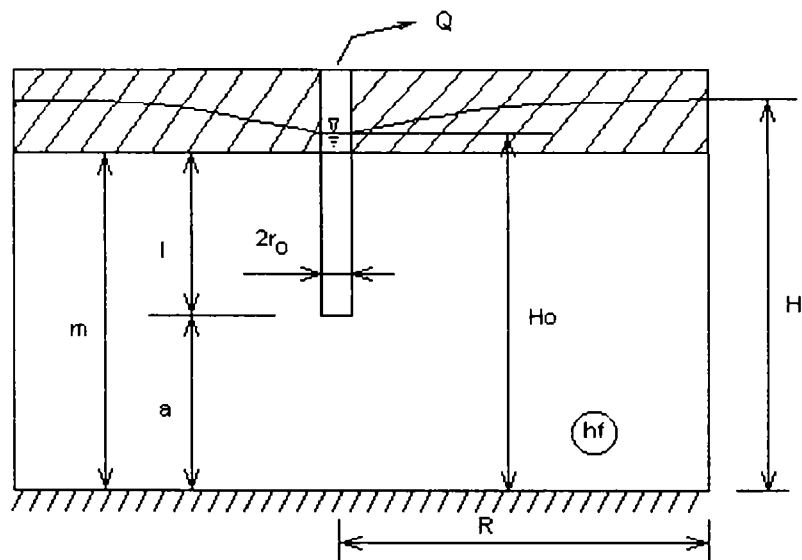


Fig. 8.4 Schița unui puț imperfect

O altă formulă pentru calculul debitului puțului imperfect este cea a lui Huisman :

$$\frac{Q}{k_f m} = \frac{2\pi(H_R - H_0)}{\ln \frac{R}{r_0} + \left(\frac{m}{l} - 1\right) \ln \left(\alpha \frac{l}{r_0}\right)} \quad (8.2)$$

unde valorile coeficientului α sunt prezentate în tabelul 8.8 funcție de următorii parametri:

$$e = \frac{1}{2} \left(1 - \frac{l}{m}\right) \quad \text{și} \quad p = \frac{l}{m}$$

	0.05	0.10	0.15	0.20	0.25	0.30	0.35	0.40	0.45
0.1	0.54	0.55	0.55	0.56	0.57	0.59	0.61	0.67	1.09
0.2	0.44	0.45	0.46	0.47	0.49	0.52	0.59	0.89	
0.3	0.37	0.38	0.39	0.41	0.43	0.50	0.74		
0.4	0.31	0.32	0.34	0.36	0.42	0.62			
0.5	0.36	0.27	0.29	0.34	0.51				
0.6	0.21	0.23	0.27	0.41					
0.7	0.17	0.20	0.32						
0.8	0.13	0.22							
0.9	0.12								

Analizând formulele de calcul a debitului prezentate mai sus se observă că ele au o structură similară. Termenul suplimentar înmulțit cu $(m/l - 1)$ sau m/l reprezintă efectul imperfecțiunii puțului care poate fi interpretat ca o pierdere de sarcină suplimentară datorită imperfecțiunii. Dezavantajul major al acestor formule este faptul că ele folosesc coeficienți din tabele și au o valabilitate limitată pentru puțul singular în mișcare axial simetrică. De asemenea aceste formule nu permit determinarea distribuției de debit de-a lungul puțului.

Tabelele 8.9 și 8.10 prezintă rezultatele comparative obținute cu formulele de mai sus menționate.

Valori ale debitului calculate cu formula lui Muskat

Tabelul 8.9

	R=100m, $r_0=0.125m$			R=100m, $r_0=0.25m$			R=100m, $r_0=0.5m$		
R/ r_0	800			400			200		
l/m	12/20	8/20	6/20	12/20	8/20	6/20	12/20	8/20	6/20
f(l/m)	2.4	3.6	4.2	2.4	3.6	4.2	2.4	3.6	4.2
Q/(KT)	1.397	1.058	0.851	1.603	1.238	1.009	1.880	1.494	1.239

Valori ale debitului calculate cu formula lui Huisman

Tabelul 8.10

	R=100m, $r_0=0.125m$			R=100m, $r_0=0.25m$			R=100m, $r_0=0.5m$		
R/ r_0	800			400			200		
E	0.2	0.3	0.35	0.2	0.3	0.35	0.2	0.3	0.35
P	0.6	0.4	0.3	0.6	0.4	0.3	0.6	0.4	0.3
α	0.41	0.62	0.74	0.41	0.62	0.74	0.41	0.62	0.74
Q/KT	1.375	1.029	0.836	1.575	1.199	0.989	1.841	1.437	1.209

l _{element} (m)	R=100m, r _o =0.125m R/r _o = 800			R=100m, r _o =0.25m R/r _o = 400			R=100m, r _o =0.5m R/r _o = 200		
	2.00	1.33	1.00	2.00	1.33	1.00	2.00	1.33	1.00
q ₁ /KT	0.278	0.217	0.182	0.334	0.275	0.240	0.426	0.383	0.356
q ₂ /KT	0.222	0.173	0.140	0.262	0.193	0.161	0.290	0.221	0.171
q ₃ /KT	0.222	0.165	0.133	0.252	0.190	0.155	0.288	0.222	0.185
q ₄ /KT	0.216	0.160	0.130	0.246	0.183	0.145	0.280	0.213	0.174
q ₅ /KT	0.214	0.158	0.127	0.242	0.180	0.146	0.276	0.207	0.171
q ₆ /KT	0.214	0.157	0.126	0.240	0.178	0.145	0.274	0.206	0.170
ΣQ _i /KT	1.366	1.030	0.838	1.576	1.199	0.992	1.834	1.452	1.227

Se poate observa faptul că valorile calculate cu MEFRO (M.E.A.) sunt foarte apropiate de valorile calculate cu relația lui Huisman [8.2]. De asemenea în cele mai multe din cazuri când $4 < l_{elem}/r_0 < 16$ valorile calculate ale debitului sunt foarte apropiate cu cele obținute aplicând relația de calcul a lui Huisman (8.2). sau chiar identice. Totuși diferențele obținute aplicând MEFRO (MEA) pentru calculul debitului puțurilor imperfecte raportate la relația de calcul a lui Huisman nu le depășesc pe cele obținute prin aplicarea relației lui Muskat (8.1).

O imagine de ansamblu asupra rezultatelor obținute este prezentată în tabelul 8.12.

Tabelul 8.12

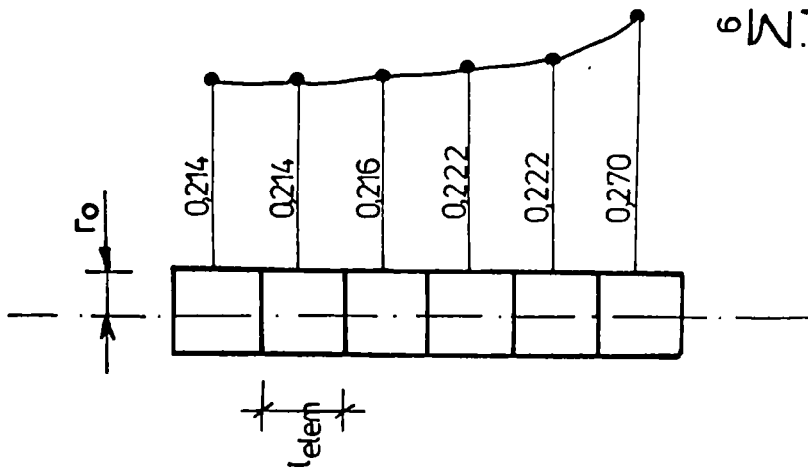
Valorile calculate ale debitului									
L/m	R=100m , ro=0,125m , R/ro=800			R=100m , ro=0,25m , R/ro=800			R=100m , ro=0,5m , R/ro=800		
	12/20	8/20	6/20	12/20	8/20	6/20	12/20	8/20	6/20
Muskat	1.397	1.058	0.851	1.603	1.238	1.009	1.880	1.494	1.239
Huisman	1.375	1.029	0.836	1.575	1.199	0.989	1.841	1.437	1.209
MEFRO	1.366	1.030	0.838	1.576	1.199	0.992	1.834	1.452	1.227

Luând în considerare exemplul de calcul referitor la erorile introduse de puțurile imperfecte folosind programul de simulare numerică MODFLOW, prezentat în cadrul capitolului IV, se observă acuratețea incontestabilă oferită de MEFRO (MEA). Pentru o mai bună relevanță s-a rulat folosind programul MEFRO un exemplu de calcul care are aceleași condiții cu cele de la exemplul folosit în cazul aplicării MODFLOW. Rezultatele comparative sunt prezentate în tabelul 8.13.

$$R_{ext} = 100 \text{ m} \quad , \quad r_o = 0,125 \text{ m} \quad , \quad m = 20 \text{ m} \quad , \quad H_R = 24 \text{ m} \quad , \quad H_{put} = 22 \text{ m}$$

$$l_{elem} = 200 \text{ m}$$

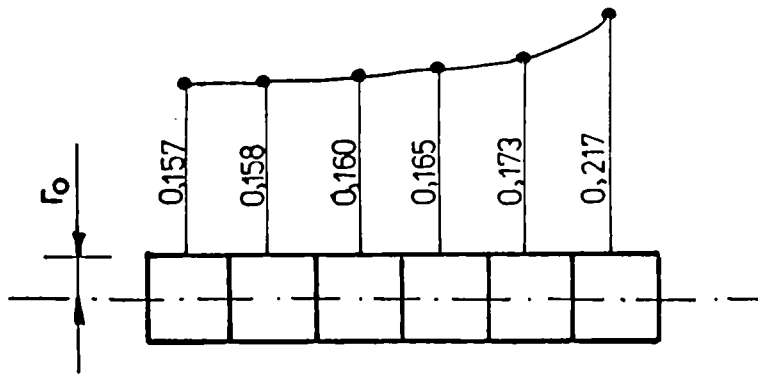
$$l_{put} = 12 \text{ m}$$



$$\sum_{i=1}^6 \frac{q_i}{KT} = 1,366$$

$$l_{elem} = 1,33 \text{ m}$$

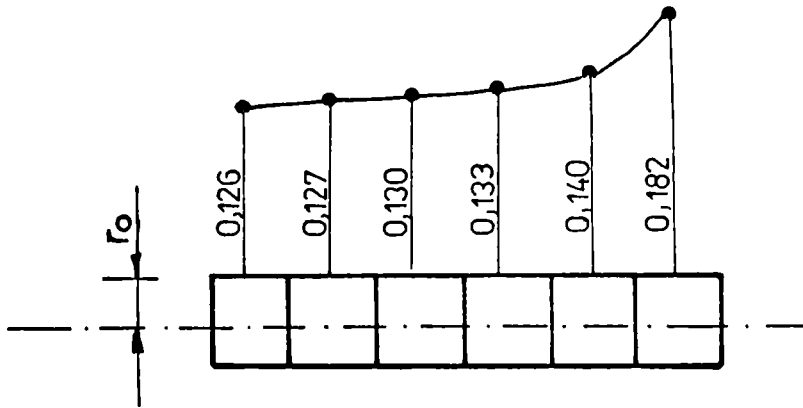
$$l_{put} = 8 \text{ m}$$



$$\sum_{i=1}^6 \frac{q_i}{KT} = 1,030$$

$$l_{elem} = 100 \text{ m}$$

$$l_{put} = 6 \text{ m}$$



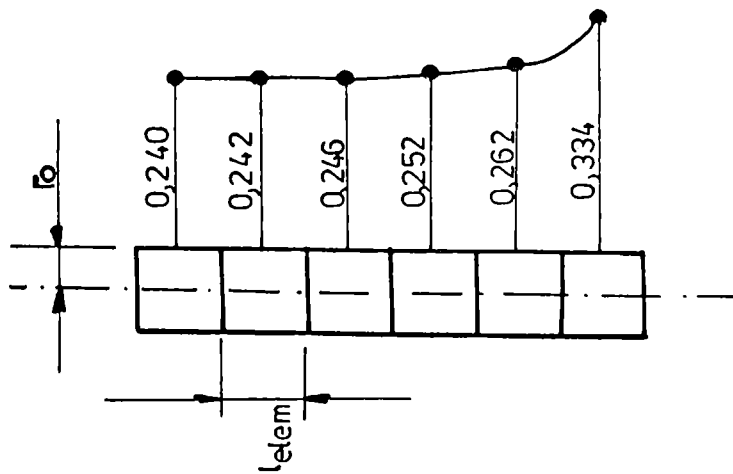
$$\sum_{i=1}^6 \frac{q_i}{KT} = 0,838$$

Fig. 8.5

$$R_{ext} = 100 \text{ m}, \quad r_o = 0.25 \text{ m}, \quad m = 20 \text{ m}, \quad H_R = 24 \text{ m}, \quad H_{put} = 22 \text{ m}$$

$$l_{elem} = 2,00 \text{ m}$$

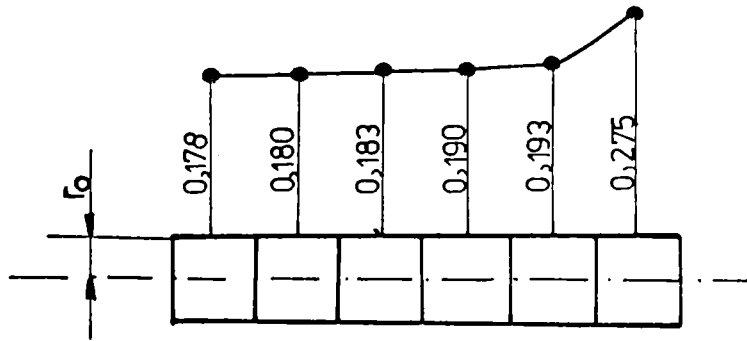
$$l_{put} = 12,00 \text{ m}$$



$$\sum_{i=1}^6 \frac{q_i}{KT} = 1,576$$

$$l_{elem} = 1,33 \text{ m}$$

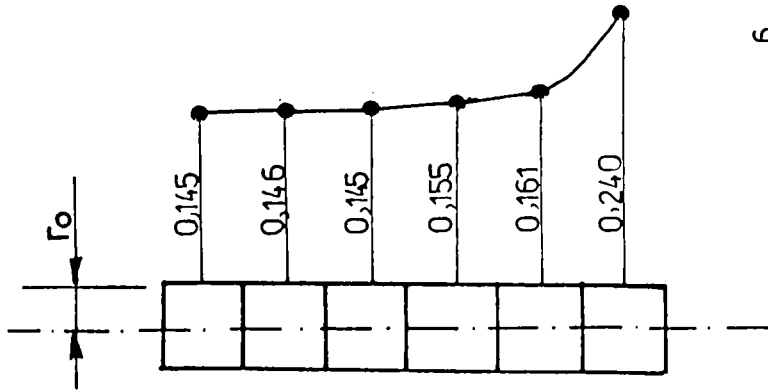
$$l_{put} = 8,00 \text{ m}$$



$$\sum_{i=1}^6 \frac{q_i}{KT} = 1,199$$

$$l_{elem} = 1,00 \text{ m}$$

$$l_{put} = 6,00 \text{ m}$$

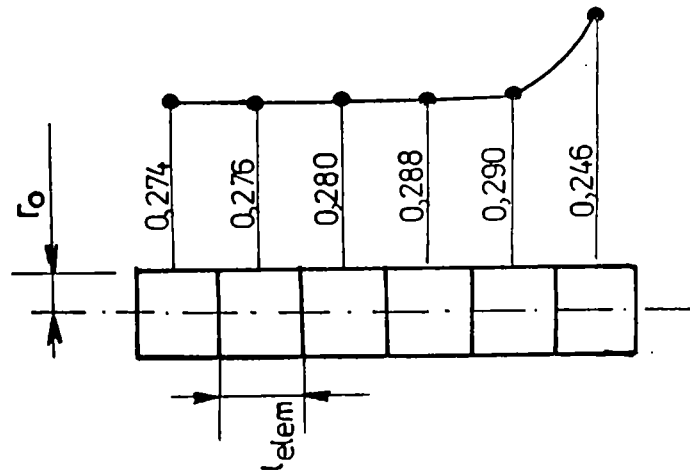


$$\sum_{i=1}^6 \frac{q_i}{KT} = 0,992$$

Fig. 8.6

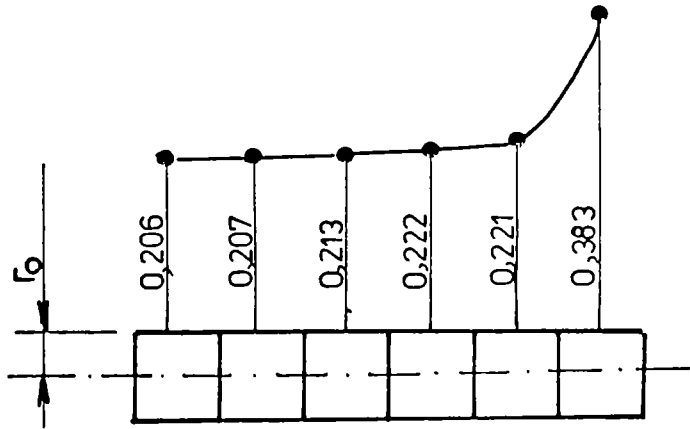
$R_{ext} = 100 \text{ m}$, $r_0 = 0,5 \text{ m}$, $m = 20 \text{ m}$, $H_R = 24 \text{ m}$, $H_{put} = 22 \text{ m}$

$l_{elem} = 2,00 \text{ m}$
 $l_{put} = 12,00 \text{ m}$



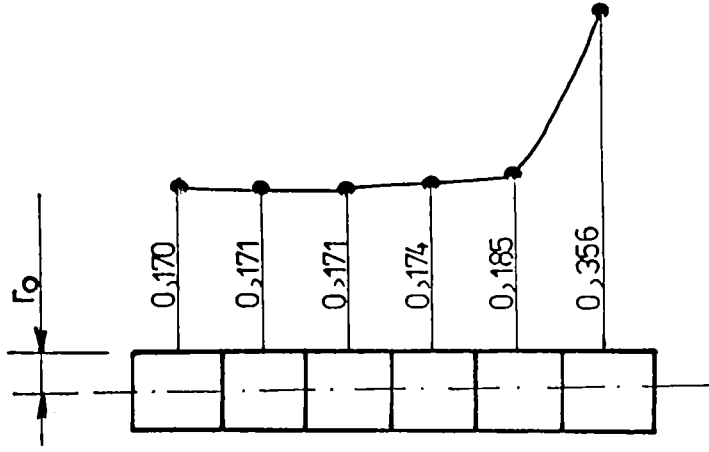
$$\sum_{i=1}^6 \frac{q_i}{KT} = 1834$$

$l_{elem} = 1,33 \text{ m}$
 $l_{put} = 8,00 \text{ m}$



$$\sum_{i=1}^6 \frac{q_i}{KT} = 1452$$

$l_{elem} = 1,00 \text{ m}$
 $l_{put} = 6,00 \text{ m}$



$$\sum_{i=1}^6 \frac{q_i}{KT} = 1227$$

Fig. 8.7

Tabelul 8.13

MODFLOW					MEA / MEFRO					MUSKAT
H _{put} [m]	Nr. straturi	Discretizare plan	Q [m ³ /zi]	ε _Q [%]	l _{elem} [m]	Nr. elem	ql _{elem} / km	Q [m ³ /zi]	ε _Q [%]	Q [m ³ /zi]
4	5	10x10	1176.3	145	4	1	0.900	432.34	9.70	479.1
		5x5	812.9	69.6						
		2x2	528.6	10.3						
		1x1	406.9	15.0						
	10	10x10	1192.2	148	2	1	0.548	447.71	6.55	
		5x5	836.4	74.5		2	0.384			
		2x2	552.7	15.36						
		1x1	431.5	9.93						
	15	10x10	1195.7	149	1.3	1	0.432	455.402	4.94	
		5x5	841.5	75.6		2	0.254			
		2x2	560.6	17.0		3	0.260			
		1x1	429.9	10.2						
8	5	10x10	1499.3	109	2	1	0.786	679.740	5.28	
		5x5	1117.2	55.6		2	0.628			
		2x2	799.1	11.3						
		1x1	647.9	9.72						
	10	10x10	1510.7	110	4	1	0.484	693.67	3.34	
		5x5	1134.5	58.0		2	0.328			
		2x2	817.8	13.9		3	0.320			
		1x1	665.8	7.23		4	0.312			
	15	10x10	1513.2	110	6	1	0.384	699.919	2.47	
		5x5	1138.2	58.5		2	0.221			
		2x2	823.9	14.8		3	0.223			
		1x1	668.7	6.82		4	0.213			
12	5	10x10	1723.4	90.7	4	1	0.713	880.54	2.54	
		5x5	1342.3	48.5		2	0.568			
		2x2	1011.8	11.9		3	0.552			
		1x1	845.9	6.37						
	10	10x10	1731.6	91.65	2	1	0.438	891.60	1.31	
		5x5	1355.2	49.98		2	0.298			
		2x2	1026.6	13.62		3	0.290			
		1x1	857.3	5.11		4	0.280			
	15	10x10	1733.5	91.86	1	5	0.276	900.24	0.30	
		5x5	1358.1	50.31		6	0.274			
		2x2	1031.6	14.17		7	0.306			
		1x1	862.4	4.54		8	0.147			
				9		0.145				
				10		0.142				
				11		0.148				
				12		0.148				

Analizând datele din tabelul 8.13 se desprind următoarele concluzii:

Referitor la aplicarea programului de calcul MODFLOW pentru puțuri imperfecte

- erorile relative de calcul scad pe măsură ce gradul de penetrare a puțului crește, ceea ce ne conduce la concluzia că cu cât ne apropiem de situația unui puț perfect erorile relative se reduc, ele rămânând însă semnificative;
- pentru a se putea obține erori de calcul de sub 10% se constată că este nevoie de o discretizare de cel puțin $1 \times 1 m$ chiar și în această situație pentru un raport $m / H_{put} \geq 5$ se constată erori care depășesc această valoare;
- pentru obținerea unei erori de calcul de sub 5% este necesar ca raportul $m / H_{put} \leq 2$ împreună cu o discretizare de cel puțin $1 \times 1 \times 15 m$;
- folosirea diferitelor grade de discretizare în plan vertical nu influențează semnificativ eroarea relativă de calcul;

Referitor la aplicarea programului MEFRO:

- comparativ cu orice situație folosită în cadrul programului MODFLOW erorile relative de calcul a debitului sunt mai mici de 10%;
- și în cazul reprezentării puțului imperfect printr-un singur element eroarea relativă de calcul a debitului este de sub 10%;
- și în acest caz erorile de calcul scad pe măsură ce gradul de penetrare a puțului crește;
- la o reducere a raportului m / H_{put} de la valoarea $m / H_{put} = 5$ la valoarea $m / H_{put} = 1.66$ păstrând același grad de discretizare al puțului imperfect eroarea relativă de calcul a debitului se reduce cu aproape 50%;
- față de MODFLOW programul MEFRO calculează și distribuția de debit pe elementele puțului imperfect oferind astfel o imagine mult mai clară a fluxului distribuit de-a lungul puțului imperfect.

Concluziile menționate mai sus conduc la prin aplicare MEFRO/MEA pentru calculul puțurilor imperfecte se obțin rezultate net superioare comparativ cu rezultatele obținute de către programe care au deja o largă folosire pe plan mondial (MODFLOW). Volumul necesar al datelor de intrare este substanțial redus în cazul MEFRO/MEA ceea ce conduce și la un timp redus de rezolvare a acestui gen de probleme prin reducerea timpului necesar pregătirii datelor de intrare.

Ex.5 Cazul modelării aportului din precipitații

Pentru testarea programului MEFRO în cazul modelării aportului din precipitații s-a luat în studiu un domeniu simplu de formă pătrată. S-a considerat cazul când aportul din precipitații este distribuit pe toată suprafața domeniului și se infiltrează în totalitate în stratul acvifer sub presiune.

Pentru testarea modelului s-a apelat la calculul înălțimii piezometrice în interiorul domeniului folosind soluția exactă cunoscută [22]:

$$h(x) = H_0 + \frac{\varepsilon L^2}{8km} \left(1 - 4 \frac{x^2}{L^2} \right)$$

Schița discretizării frontierei domeniului și a subdomeniului, împreună cu condițiile de margine este prezentată în fig 8.8.

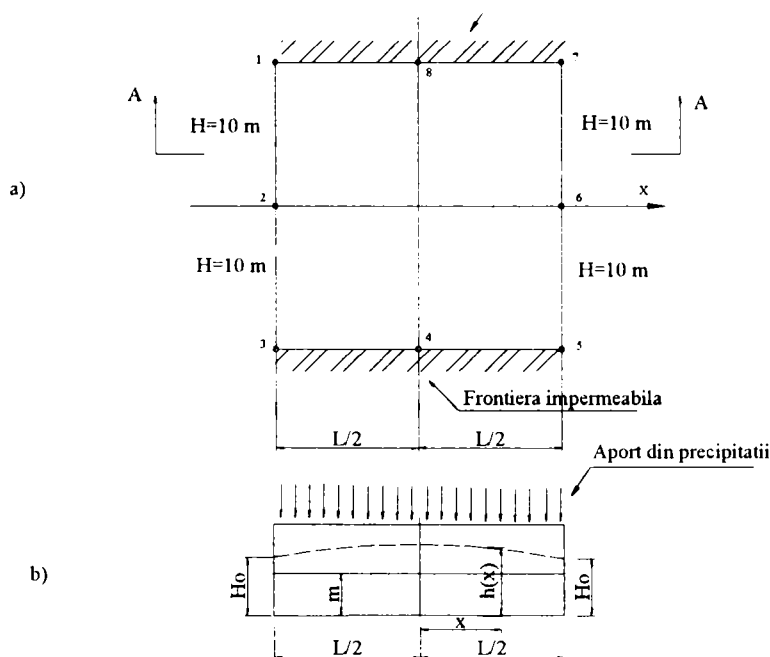


Fig.8.8 Schița exemplului pentru:

- vedere în plan, discretizare, condiții la limită;
- secțiune longitudinală

Exemplul numeric considerat este un pătrat cu latura de 100 m. S-a considerat un aport de precipitații de 300 mm/an. Transmisivitatea s-a considerat ca fiind $km = 10^{-3}$. Elementele 1, 2; 5, 6 de frontieră sunt considerate ca fiind elemente de frontieră cu potențial cunoscut $H_0 = 10m$, iar elementele 3, 4, 7, 8 sunt considerate cu flux nul (impermeabile), conform figurii 8.8a. Datele pentru discretizarea domeniului sunt prezentate în tabelul 8.14. Rezultatele comparative obținute în urma rulării MEFRO sunt prezentate în tabelul 8.15.

Tabelul 8.14

Nr. punct	Abscisă [m]	Ordonată [m]	Potențial [m]
1	-50,00	50,00	10,00
2	-50,00	0,000	10,00
3	-50,00	-50,00	0,000
4	0,000	-50,00	0,000
5	50,00	-50,00	10,00
6	50,00	0,000	10,00
7	50,00	50,00	0,000
8	0,000	50,00	0,000

Tabelul 8.15

Nr. punct interior	Abscisă [m]	Ordonată [m]	Potențial calculat analitic [m]	Potențial calculat MEFRO [m]
1	-50,00	0,000	10,0000	9,9994
2	-25,00	0,000	10,0093	10,0094
3	0,000	0,000	10,0125	10,0126
4	25,00	0,000	10,0093	10,0094
5	50,00	0,000	10,0000	9,9994

După cum se poate observa din tabelul 8.15 precizia de calcul a programului MEFRO este de ordinul milimetrilor deci sub 1%, ceea ce îi confirmă corectitudinea și acuratețea.

În general se pot lua în considerare în cadrul programului subdomenii mai mici incluse în domeniul mișcării, așa după cum s-a putut observa la prezentarea generală a programului.

Ex.6 Cazul puțurilor imperfecte înnisipate, cu luarea în considerare a pierderilor de sarcină interioare.

Pentru verificarea aplicabilității programului MEFRO în cazul puțurilor imperfecte când se consideră efectul mișcării interioare, cu pierderi de sarcină, s-a considerat un puț de infiltrație imperfect, cu raza de 0,5m, un coeficient de filtrație pentru nisipul din interiorul puțului $k_0 = 0.01m/s$ iar pentru domeniul exterior (acvifer) $k_f = 3.927 \cdot 10^{-5}$. Raza de influență s-a considerat $R = 100m$. Puțul de infiltrație folosit de exemplu pentru îmbogățirea artificială a acviferului are drept condiții de margine $H_p = 22m$. în puț, iar potențialul pe conturul domeniului $H_{ext} = 20m$. Discretizarea frontierei domeniului are 12 elemente (fig.8.9).

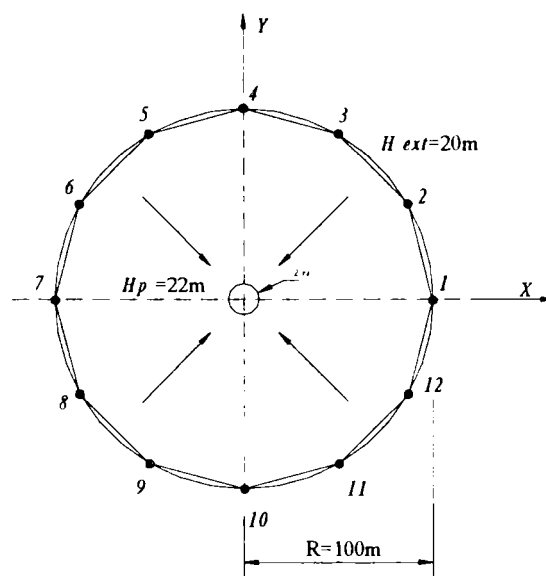


Fig. 8.9 Discretizarea frontierei domeniului pt. puț imperfect înnisipat

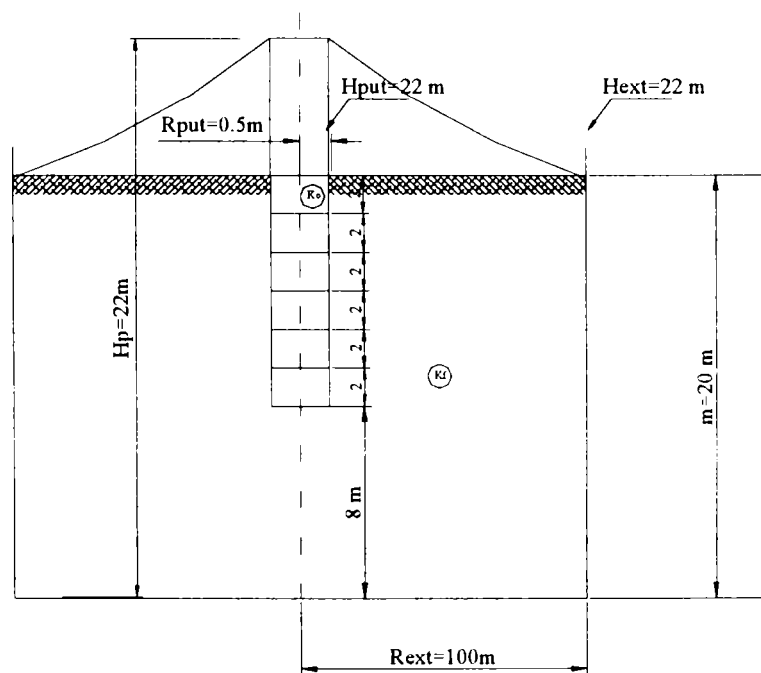


Fig. 8.10 Discretizarea puțului imperfect înnisipat în plan vertical

Discretizarea puțului imperfect s-a realizat în plan vertical cu 6 elemente de lungime $l_e = 2m$ fiecare. Grosimea stratului acvifer a fost considerată $m = 20m$, parametrul imperfecțiunii având valoarea de 8m (fig.8.10).

Așa după cum s-a precizat la prezentarea generală în cadrul capitolului V luarea în considerare a pierderilor de sarcină în coloana de nisip din interior implică iterații.

Rularea programului a necesitat un număr de 5 iterații până la îndeplinirea condiției:

$$\frac{|H_i^{elem} - H_{i+1}^{elem}|}{H_i^{elem}} < 0.01m$$

adică până când diferența dintre valorile înălțimii piezometrice pe un element între două iterații succesive este de sub 1%.

Semnificația denumirilor utilizate în fișierul de rezultate este următoarea:

H_put_precedent – valoarea potențialului în puț pe element la iterația precedentă;

H_put_calculat – valoarea înălțimii piezometrice calculate pe element după iterația actuală;

Delta h i - reprezintă pierderea de sarcină de-a lungul elementului „ i ” corespunzătoare iterației;

Fluxul i - este fluxul exfiltrat pe element corespunzător iterației.

În figura 8.11 se poate observa influența pe care o poate avea luarea în considerare a pierderilor de sarcină din interiorul puțului.

Rezultatele rulării sunt prezentate în cele ce urmează:

Iteratia nr. 1

Fluxul total pe putul imperfect 1 = -1.8586

H_put_precedent = 22.0000

H_put_calc = 21.8279

Delta h 6 = 0.3443

Fluxul 6 = -0.1373

H_put_precedent = 22.0000

H_put_calc = 21.5112

Delta h 5 = 0.2891

Fluxul 5 = -0.1382

H_put_precedent = 22.0000

H_put_calc = 21.2499

Delta h 4 = 0.2334

Fluxul 4 = -0.1403

H_put_precedent = 22.0000

H_put_calc = 21.0449

Delta h 3 = 0.1764

Fluxul 3 = -0.1447

H_put_precedent = 22.0000
H_put_calc = 20.8979
Delta h 2 = 0.1177
Fluxul 2 = -0.1493

H_put_precedent = 22.0000
H_put_calc = 20.8171
Delta h 1 = 0.0439
Fluxul 1 = -0.2195

Iteratia nr. 2

Fluxul total pe putul imperfect 1 = -1.0998

H_put_precedent = 21.8279
H_put_calc = 21.9086
Delta h 6 = 0.1827
Fluxul 6 = -0.1862

H_put_precedent = 21.5112
H_put_calc = 21.7562
Delta h 5 = 0.1222
Fluxul 5 = -0.1165

H_put_precedent = 21.2499
H_put_calc = 21.6540
Delta h 4 = 0.0821
Fluxul 4 = -0.0838

H_put_precedent = 21.0449
H_put_calc = 21.5863
Delta h 3 = 0.0533
Fluxul 3 = -0.0604

H_put_precedent = 20.8979
H_put_calc = 21.5436
Delta h 2 = 0.0322
Fluxul 2 = -0.0450

H_put_precedent = 20.8171
H_put_calc = 21.5217
Delta h 1 = 0.0116
Fluxul 1 = -0.0579

Iteratia nr. 3

Fluxul total pe putul imperfect 1 = -1.5309
H_put_precedent = 21.9086
H_put_calc = 21.8627
Delta h 6 = 0.2746
Fluxul 6 = -0.1578

H_put_precedent = 21.7562
H_put_calc = 21.6161
Delta h 5 = 0.2185
Fluxul 5 = -0.1228

H_put_precedent = 21.6540
H_put_calc = 21.4212
Delta h 4 = 0.1715
Fluxul 4 = -0.1124

H_put_precedent = 21.5863
H_put_calc = 21.2718
Delta h 3 = 0.1273
Fluxul 3 = -0.1083

H_put_precedent = 21.5436
H_put_calc = 21.1660
Delta h 2 = 0.0842
Fluxul 2 = -0.1075

H_put_precedent = 21.5217
H_put_calc = 21.1082
Delta h 1 = 0.0313
Fluxul 1 = -0.1567

Iteratia nr. 4

Fluxul total pe putul imperfect 1 = -1.2799
H_put_precedent = 21.8627
H_put_calc = 21.8894
Delta h 6 = 0.2211
Fluxul 6 = -0.1744

H_put_precedent = 21.6161
H_put_calc = 21.6977
Delta h 5 = 0.1623
Fluxul 5 = -0.1195

H_put_precedent = 21.4212
H_put_calc = 21.5570
Delta h 4 = 0.1192
Fluxul 4 = -0.0962

H_put_precedent = 21.2718
H_put_calc = 21.4555
Delta h 3 = 0.0838
Fluxul 3 = -0.0805

H_put_precedent = 21.1660
H_put_calc = 21.3868
Delta h 2 = 0.0536
Fluxul 2 = -0.0709

H_put_precedent = 21.1082
H_put_calc = 21.3501
Delta h 1 = 0.0197
Fluxul 1 = -0.0985

Iteratia nr. 5

Fluxul total pe putul imperfect 1 = -1.4265

H_put_precedent = 21.8894
H_put_calc = 21.8738
Delta h 6 = 0.2524
Fluxul 6 = -0.1647

H_put_precedent = 21.6977
H_put_calc = 21.6501
Delta h 5 = 0.1951
Fluxul 5 = -0.1214

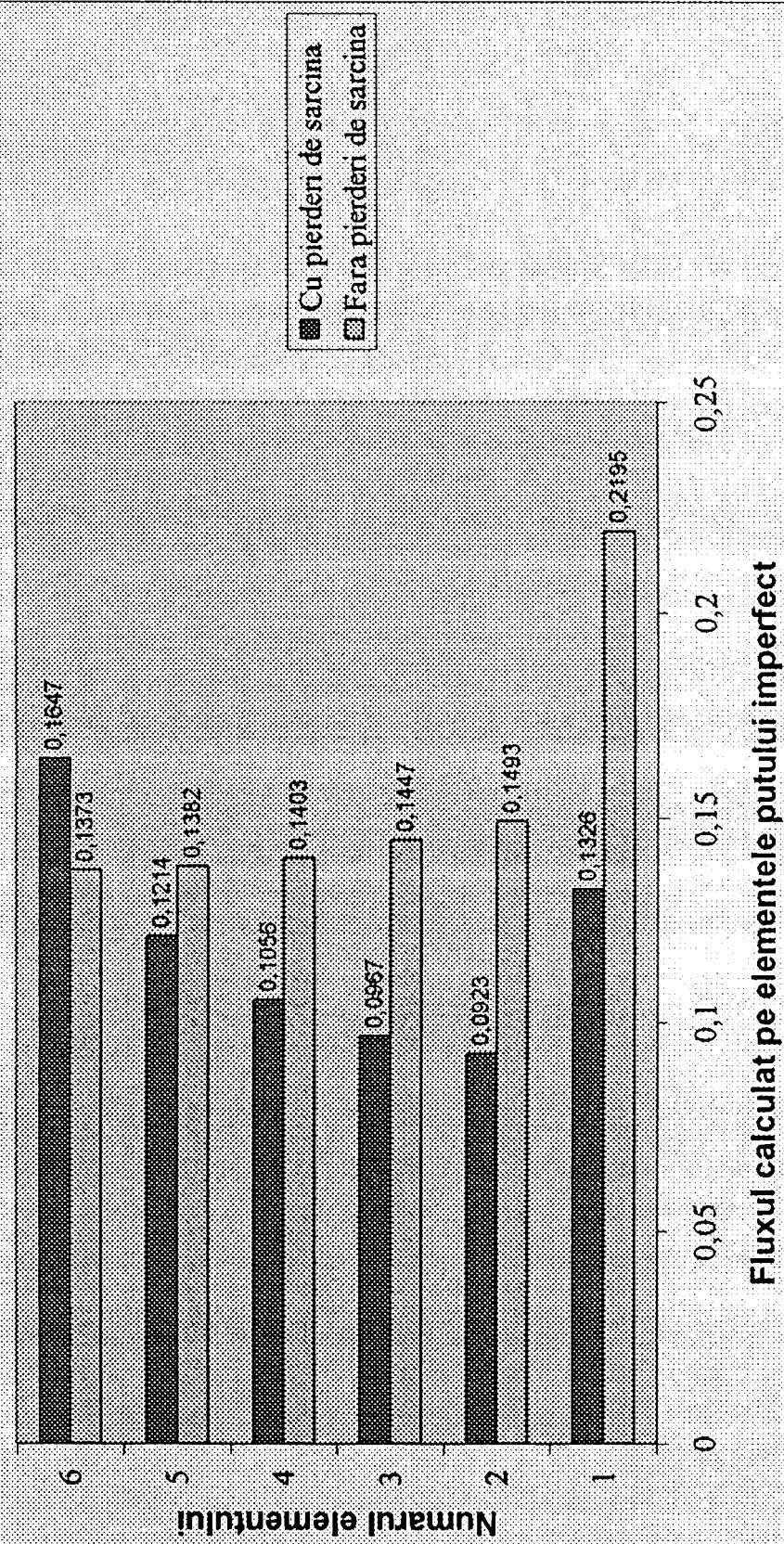
H_put_precedent = 21.5570
H_put_calc = 21.4776
Delta h 4 = 0.1497
Fluxul 4 = -0.1056

H_put_precedent = 21.4555
H_put_calc = 21.3481
Delta h 3 = 0.1093
Fluxul 3 = -0.0967

H_put_precedent = 21.3868
H_put_calc = 21.2577
Delta h 2 = 0.0715
Fluxul 2 = -0.0923

H_put_precedent = 21.3501
H_put_calc = 21.2087
Delta h 1 = 0.0265
Fluxul 1 = -0.1326

Fig.8.11 Distribuția de flux pe elementele putului imperfect



CONCLUZII

Una din resursele importante pentru alimentarea cu apă potabilă o constituie apa subterană. Față de alte surse de apă cele subterane se evidențiază mai ales prin calitatea deosebită pe care o au față de sursele de suprafață.

Concomitent cu intensificarea exploatării acestor surse de apă subterană s-au dezvoltat și o serie de modele matematice și numerice pentru optimizarea exploatării acestora.

Metodele pentru calculul exploatarea și gospodărirea apelor subterane au evoluat foarte mult în ultimul timp prin introducerea și folosirea pe scară largă a modelelor numerice de calcul. Aceste modele numerice au cunoscut o dezvoltare deosebită odată cu evoluția tehnicii de calcul.

În prezent, pe plan mondial există o serie de programe de calcul care în principal au la bază metoda diferențelor finite a volumelor finite și a elementelor finite. În ultimul timp a început să se aplice și metoda elementelor de frontieră și cea a elementelor analitice însă fără să existe încă un program specific ca și în cazul celorlalte metode.

Din concluziile și comentariile efectuate în cadrul capitolului IV se poate observa că programele elaborate pe baza metodelor numerice standard (MEDIF, MEVFIN, MEFIN) prezintă dificultăți în ceea ce privește reprezentarea mișcării reale în vecinătatea elementelor de captare/infiltrare cum sunt puțurile, drenurile de lungime finită respectiv puțurile imperfecte. În aceste zone locale, metodele numerice standard pot conduce la erori semnificative și care nu pot fi riguros controlate.

Analiza erorilor pe care le comportă metodele numerice în reprezentarea mișcării a fost efectuată prin folosirea unor variante de calcul cu diferite grade de discretizare a domeniului. Valorile obținute prin rularea modelelor numerice au fost comparate cu soluțiile analitice. Astfel s-au putut desprinde concluzii importante în ceea ce privește discretizarea domeniului și erorile pe care aceste metode numerice le comportă.

Astfel, pentru metodele standard (MEDIF, MEVFIN, MEFIN) îndesirea rețelelor de discretizare reduce erorile care însă rămân semnificative și relativ mari chiar și pentru rețele dense de discretizare. În general mărirea gradului de discretizare conduce implicit și la creșterea numărului de elemente ceea ce conduce în cele din urmă la mărirea volumului de date și la mărirea dimensiunii sistemului de ecuații necesar rezolvării problemei în cauză. În general structura programelor pe

care rulează aceste metode standard are un volum limitat de date de intrare ceea ce impune o limită superioară a discretizării domeniului.

Superioritatea metodei elementelor de frontieră poate fi ușor observată prin precizia rezultatelor pe care aceasta le oferă față de metodele standard. După cum se poate observa erorile pe care această metodă le comportă se situează de regulă sub 1% sau în jurul a 1%. Metoda elementelor de frontieră își demonstrează superioritatea nu numai prin precizia rezultatelor ci și prin tipul rezultatelor oferite. Astfel, folosind metoda elementelor de frontieră pentru drenuri, puțuri imperfecte se poate obține distribuția fluxului (distribuția de debit) pe elementele constituente ale acestor obiecte.

Pentru aplicarea metodei elementelor de frontieră în cadrul sistemelor complexe ale captărilor subterane s-a impus realizarea unui program de calcul complex (programul MEFRO) în cadrul căruia să poată fi introduse obiectele unui sistem complex de exploatare a apelor subterane. În acest sens pentru realizarea practică a programului s-a apelat la limbajul de programare Borland Pascal 7.0, limbaj de programare care dispune de mecanismele suport în ceea ce privește programarea structurată și programarea orientării spre obiecte.

Folosirea programării orientate spre obiecte reprezintă un pas fundamental în elaborarea programului MEFRO. Prin folosirea adecvată a acestei tehnici de programare s-a putut realiza efectiv o implementare a tuturor obiectelor prezentate în capitolul V al tezei într-un singur program cadru foarte eficient.

O particularitate deosebit de importantă în elaborarea programului MEFRO a fost modul de concepere al meniurilor și construcția de Unit-uri astfel încât fiecare Unit să îndeplinească o funcție precisă în cadrul programului general MEFRO. Realizarea meniurilor nu ar fi fost posibilă fără folosirea obiectelor Turbo Vision, care conțin funcții și proceduri specifice realizării meniurilor programului MEFRO. Modul de folosire al obiectului TObject care reprezintă un obiect de bază în ierarhia Turbo Vision a fost esențial în realizarea meniurilor programului MEFRO și mai ales în cadrul meniului de editare al datelor. Această importanță majoră derivă din faptul că toate obiectele standard Turbo Vision derivă din TObject mai puțin obiectele TPoint și TRect.

Un alt scop pentru care s-a optat pentru programarea orientată spre obiecte a fost utilizarea obiectelor ca și entități complete, nici un obiect neputând fi direct accesibil utilizatorului. Toate operațiile asupra câmpurilor sale efectuându-se doar prin intermediul metodelor. Metodele din cadrul obiectelor alcătuind astfel un set cât mai complet de operații relative la obiect.

Un alt aspect important în elaborarea programului MEFRO îl reprezintă folosirea structurilor dinamice de date. Fără folosirea unui limbaj de programare adecvat care să posede mecanismele de alocare dinamică a memoriei acest lucru nu ar fi putut fi posibil. Avantajele certe pe care structurile dinamice de date le oferă constau în faptul că oferă programatorului realizarea de programe în care zona de memorie a calculatorului să fie ocupată numai de anumite date necesare etapei de calcul în care se află programul la un moment dat. Astfel prin ingeniozitatea

programatorului se pot crea programe în care zona de memorie (Heap) să fie vehiculată de un flux de date optim. Acest lucru l-am realizat practic în carul programului MEFRO cu ajutorul obiectelor, constructorilor și destructorilor.

Programarea structurată a permis crearea unor entități funcționale bine conturate și ierarhizate conform problemei. În cadrul acestor unități structurarea se manifestă atât la nivelul instrucțiunilor cât și la nivelul datelor.

Modul de rezolvare a sistemului de ecuații a reprezentat de asemenea o preocupare majoră, aceasta pentru a evita o limitare strictă a volumului datelor de intrare. Soluția finală adoptată constă în asamblarea matricei sistemului de ecuații și stocarea ei pe hardisk-ul sistemului de calcul ceea ce practic crează posibilități enorme în ceea ce privește numărul ecuațiilor pe care sistemul poate să le conțină. Această soluție elimină complicațiile legate de ocuparea memoriei calculatorului cu elementele matricei compacte a sistemului de ecuații.

Aplicațiile programului MEFRO în cadrul sistemelor complexe ale captărilor subterane prezentate în cadrul capitolului VIII sunt rulările unor exemple standard pentru care a existat posibilitatea comparării rezultatelor rulării cu rezultatele exacte obținute analitic.

Exemplele prezentate confirmă pe deplin aplicabilitatea programului, domeniul de aplicabilitate fiind mult mai larg decât cel prezentat în cadrul testărilor.

CUPRINS

I	Introducere	1
1.1	Considerații generale asupra metodelor de modelare, obiective	1
II	Prezentarea sintetică a ecuațiilor fundamentale ale mișcării prin acvifere și a formulării matematice a problemelor la limită	5
2.1	Ecuațiile mișcării prin medii poroase	5
2.2	Formularea diferențială a problemelor de filtrație	6
2.2.1	Condiții la limită, formularea diferențială a problemelor de filtrație	9
2.3	Formularea variațională	10
2.4	Formularea cu ajutorul ecuațiilor integrale	11
III	Prezentarea sintetică a metodelor numerice folosite în hidraulica subterană	14
3.1	Metoda diferențelor finite	14
3.2	Metoda elementelor finite	18
3.3	Metoda elementelor de frontieră	20
IV	Analiza erorilor metodelor numerice în reprezentarea singularităților specifice captărilor subterane	22
4.1	Metoda diferențelor finite	22
4.1.1	Evaluarea erorilor metodei diferențelor finite pentru puțuri perfecte, drenuri de lungime finită și puțuri parțial penetrate	23
4.1.2	Concluzii și comentarii cu privire la erorile introduse de metoda diferențelor finite	31
4.2	Metoda elementelor finite	32
4.2.1	Evaluarea erorilor folosind metoda elementelor finite pentru puțuri și drenuri de lungime finită	32
4.2.2	Concluzii cu privire la erorile introduse de metoda elementelor finite	36
4.3	Evaluarea erorilor metodei elementelor de frontieră pentru puțuri	37
4.3.1	Concluzii cu privire la erorile introduse de metoda elementelor de frontieră	39
4.4	Concluzii finale privind analiza erorilor metodelor numerice în vecinătatea captărilor subterane	40
V	Modelarea mișcării în acvifere generate de sisteme complexe de captare aplicând MEFRO	41
5.1	Descrierea schemei generale luate în studiu	43
5.2	Reprezentarea integrală indirectă a soluției	43
5.3	Reprezentarea puțurilor imperfecte în MEFRO	44
5.4	Alcătuirea sistemului de ecuații pentru reprezentările generale	47
VI	Principii de bază ale programării folosite la elaborarea programului MEFRO	53
6.1	Limbaje de programare. Generalități	53
6.2	Programarea structurată. Metoda programării structurate. Structuri de date	55
6.2.1	Structuri de date tip listă liniară	55

6.2.2	Tipuri de referință (pointer). Alocarea dinamică a memoriei	56
6.2.3	Structuri de date folosite pentru conturul domeniului în cadrul programului MEFRO	57
6.2.4	Caracterul de listă dublu înlănțuită	58
6.2.5	Programarea orientată spre obiecte	59
6.2.6	Definirea obiectelor în cadrul programului MEFRO	60
VII	Elaborarea programului MEFRO pentru rezolvarea sistemelor de captări subterane	63
7.1	Realizarea meniului de introducere și editare a datelor folosit în cadrul programului MEFRO	63
7.1.1	Meniul Editare date program	63
7.1.2	Submeniul; Introducere date noi, editarea conturului	65
7.1.3	Submeniul; Puțuri cu potențial cunoscut	72
7.1.4	Submeniul; Puțuri cu flux cunoscut	78
7.1.5	Submeniul; Linii de drenaj	83
7.1.6	Submeniul; Puncte interioare	90
7.1.7	Submeniul; Puțuri imperfecte	96
7.1.8	Submeniul; Subdomenii	105
7.1.9	Submeniul folosit pentru salvarea și încărcarea datelor	108
7.2	Meniul Rulare program folosit în cadrul programului MEFRO	109
7.2.1	Particularități specifice folosite în cadrul meniului Rulare program	112
7.2.2	Procedura numerică de rezolvare a sistemului de ecuații	113
7.3	Meniul Rezultate folosit în cadrul programului MEFRO	117
7.4	Meniul Listare date program folosit în cadrul programului MEFRO	118
VIII	Aplicații ale programului MEFRO în cadrul sistemelor complexe ale captărilor subterane	119
IX	Concluzii	142

BIBLIOGRAFIE

- 1 Abbott, M.B. Computational Hydraulics, Pitman
- 2 Albu M. Mecanica apelor subterane, Editura Tehnică, 1981
- 3 Banerjee, P.K. Boundary Element Method in the Engineering Science. Mc. Butterfield, R. GRAW-Hill Book Company, London, New York (1981)
- 4 Bartha, I. Curs de Hidraulică, Rotaprint, U.T. Iași, 1993
- 5 Bartha, I. Hidraulică, Ed. Tehnică, Chișinău, 1989
- 6 Javgureanu V. Bates, C.J. A Computational Technique for the Efficient Handling of Large Matrices, „Int. J. Num. Methods eng.”, No. 7, 1973
- 7 Bathe, K.J. Finite Element Procedures in Engineering Analysis, Prentice Hall, New Jersey, 1982.
- 8 Bathe, K.J. Numerical Methods in Finite Element Analysis, Prentice Hall, New Jersey, 1976.
- 9 Wilson, F.L. Brebbia, C.A. Boundary Elements, Introductory Course Mc. GRAW-Hill Book Company. New York (1989)
- 10 Brebbia, C.A. Boundary Element Techniques, Springer, Berlin, New York, 1984
- 11 Telles, J.C.F. Wrobel, L.C. Charbeneau, R. Modelling Groundwater Flow Fields Containing Point Singularities – Water Resources Research, June 1979
- 12 Street, R. L. Chung, T.J. Finite Element Analysis in fluid Dynamics. New York: Mc GRAW-Hill, Inc, 1978
- 13 Cioc, D. Hidraulică, Ed. Did. și Ped. București, 1983
- 14 Collatz, L. The Numerical Treatment of Differential Equations, Springer Verlag, Berlin, 1966
- 15 Connor J.J. Brebbia C.A. Finite Element Techniques for fluid flow – Butterworths London-Boston.
- 16 Corici, C. Mânz, D. Simulescu, A. Șerban M. Limbajul PASCAL, Editura Libris, Cluj 1991
- 17 Crețu, V. Structuri de date, I. P. Timișoara, 1987
- 18 Cristea, V. Kalisz, E. Athanasiu, I. Negreanu, L. Borland Pascal 7.0, pentru Windows, Editura Teora, București 1995.
- 19 Cristea, V. Kalisz, E. Athanasiu, L. Pănoiu, A. Turbo Pascal 6.0, Editura Teora, București 1992.
- 20 Dankert, J. Numerische Methoden der Mechanik, VEB Fachbuch-Verlag, Leipzig, 1977

- 21 David, I. Grundwasserfassungsanlagen anlagen mit Filterrohren. Technische Berichte. Institut für Hidraulik und Hidrologie der TH Darmstadt, 1977, nr. 19
- 22 David, I. La methode des elements de frontiere indirecte dans la solution numerique de problemes d'infiltration dans les mileux poreux, Buletinul Științific și Tehnic al Institutului Politehnic "Traian Vuia", Timișoara, 1988, Tom 33(47).
- 23 David, I. Hidraulica, vol I+II, Universitatea „Politehnica” Timișoara, 1991
- 24 David, I. Considerații asupra reprezentării puțurilor și drenurilor de lungime finită în modelele numerice cu elemente finite. Simpozionul internațional “Protecția mediului, Ameliorațiile funciare și folosirea energiei neconvenționale în agricultură” 21-22 mai 1992, Timișoara
- 25 David, I. Grundwasserhydraulik, Studium Technik, Viweg, Germany, 1998
- 26 David, I. Eleș, G. Realizarea unui pachet de programe “MEFIN” cu o structura interactiva pentru micro sisteme PC/AT in domeniul hidraulicii subterane. Simpozionul international “Protectia mediului – Amelioratiile funciare si folosirea energiei neconventionale in agricultura - . 21-22 mai 1992
- 27 David, I. Eleș, G. Studii cu privire la erorile introduse de către metoda elementelor finite în cazul singularităților. Sesiunea de comunicări științifice dezvoltare durabilă și problemele mediului în spațiul funciar, 15-16 mai, 1996, București
- 28 David, I. Eleș, G. Hydraulic Computational Approach of Partially Penetrated Wells, Buletinul Științific și Tehnic al Universității „POLITEHNICA” din Timișoara, Seria Hidrotehnica, Tom 43(57), Fasc 2, 1998
- 29 David, I. P. Gaude Relative error estimation for simulations of groundwater flow in the vicinity of partially penetrating wells using the Finite Volume Method, Buletinul Științific al Universității „POLITEHNICA” din Timișoara, Seria Hidrotehnica, Tom 43(57), 2000
- 30 David, I. Gerdes, H. Incorporation of local three-dimensional flow in the plane BEM to model complex groundwater supply-system. Proceedings of the Boundary Element XVII. Computational Mechanics Publications Southampton – Boston, 1995
- 31 David, I. Gerdes, H. Coupling Analytical, Boundary and Finite Element Methods to develop a model for groundwater flow with singularities generated by groundwater supply and recharge systems, Computational Mechanics in Water Resources XII – vol 1, Southampton, UK and Boston USA, 1998.
- 32 David, I. Șumălan, I. Metode numerice în hidrotehnică, Ed. Mirton, 1998
- 33 David, I. Wehry, A. Man T.E. Probleme actuale în tehnica drenajului, Editura Facla, Timișoara 1982.
- 34 Drobot. R. Bazele gospodăririi apelor I.C. București, 1983
- 35 Drobot. R. Evaluarea resurselor de apă subterană din traseele râului Moldova în zona de deșurare a pârâului Ozana. Rev. Hidrotehnica, București, vol 31, nr.4, 1986
- 36 Dodescu, Gh. Toma, M. Metode de calcul numeric, Ed. Didactică și Pedagogică, București 1976.

- 37 Dorn, W.S. Metode numerice cu programare în FORTRAN, Editura Tehnică, București 1982.
- 38 Hâncu S. și colaboratorii Hidraulică aplicată, (partea III), Ed. Tehnică, 1985
- 39 Huisman, L. Artificial Groundwater Recharge. Pitman Advanced Publishing Program. Boston, London, Melbourne, 1982
- 40 Kinzelbach, W. Groundwater Modelling. An introduction with Sample Programs in BASIC. Amsterdam-Oxford-NewYork-Tokio: Elsevier 1986
- 41 Kinzelbach, W. Aquifer Simulation Modell, A.S.M., Kassel Stuttgart, 1993
- 42 Kinzelbach, W. Aquifer Simulation Modell „ASM” – Dokumentation, Gesamthochschule Kassel-Universität, Kassel 1989
- 43 Klenke, M. Numerische Modelltechnik in der Grundwasserhydrologie. Institut für Wasserwirtschaft, Hydrologie und Landwirtschaftlichen Wasserbau, uni Hannover, Mitteilungen, Heft 59, 1986
- 44 Lanczos, C. Solution of systems of linear equation by minimized iterations, „J. Pres. Nat. Bur Standards”, 49 1952.
- 45 Ligett, I. The Boundary Integral Equation Method for Porous Media Flow. Liu, Ph. George Allen & UNWIN, London 1983.
- 46 Marinescu, Gh. Probleme de analiză numerică rezolvate cu calculatorul, Ed. Rizzoli, I. Popescu, I. Ștefan, C. Academiei R.S.R., București, 1984.
- 47 Mișu, C. Metode numerice în algebra liniară, Ed. Tehnică, București, 1977
- 48 Moraru, F. Programarea microcalculatoarelor în sisteme de operare, Editura Științifică și Enciclopedică, 1989
- 49 Muskat M. The Flow of Homogenous Fluids through Porous Media, 1937
- 50 Pascariu, I. Elemente finite. Concepte și aplicații, Ed. Militară, București, 1985
- 51 Pietraru, V. Calculul infiltrațiilor, Ed. Ceres, București, 1973
- 52 Pietraru, V. Calculul infiltrațiilor, Ed. Ceres, București, 1977
- 53 Pinder, F.G. Finite Element Simulation in Surface and Subsurface Hydrology, Gray, W. Academic Press, New York, London, 1977
- 54 Schmith G. Simulation von Grundwasserströmungen und Stofftransport- Matematiche Modellierung Ruhr-Universität, Bochum, 1987
- 55 Segui W.J. Computer programs for the solution of System of linear Algebraic- Equations, „Int. J. Num. Methods Eng.”, No 7, 1973
- 56 Stematiu, D. Calculul structurilor hidrotehnice prin metoda elementelor finite, Editura Tehnică, 1988
- 57 Vatnaskil Consulting Engineering AQUA- User’s guide, 1989, Iceland
- 58 Vraciu, G. Metode numerice cu aplicații în tehnica de calcul, Editura Scrisul românesc, Craiova 1982.
- 59 Waterloo Hidrologic Inc. Visual MODFLOW User’s Manual, 1999
- 60 Wirth, N. Algorithms and data structures, New Jersey, USA, 1986
- 61 Zienkiewicz, O.C. The Finite Element Method Vol I and II Mc. GRAW- Hill Book Company, New York, 1989